
LA \mathbb{Z}_l -COHOMOLOGIE DU MODÈLE DE DELIGNE-CARAYOL EST SANS TORSION

par

Boyer Pascal

Résumé. — Cet article est la version entière de [8] où on étudie le complexe des cycles proches de certaines variétés de Shimura unitaires. Le but est de prouver que les faisceaux de cohomologie de ce complexe sont sans torsion et d'en déduire, via le théorème de comparaison de Berkovich [5], que la \mathbb{Z}_l -cohomologie du modèle de Deligne Carayol est sans torsion.

Abstract (The \mathbb{Z}_l -cohomology of Deligne-Carayol's model is torsion free)

This article is the continuation of [8] where we study the vanishing cycles of some unitary Shimura variety. The aim is to prove that the cohomology sheaf of this complexe is free so that, thanks to the main theorem of [5], we can deduce that the \mathbb{Z}_l -cohomology of the model of Deligne-Carayol is free.

Table des matières

Introduction.....	1
1. Représentations de $GL_n(K)$	2
1.1. Inductions paraboliques et foncteurs de Jacquet.....	3
1.2. Modèles de Whittaker.....	4
1.3. à coefficients dans $\overline{\mathbb{Q}}_l$	4
1.4. à coefficients dans $\overline{\mathbb{F}}_l$	6
1.5. Réduction modulo l d'une représentation de Steinberg généralisée.....	7
1.6. Réduction modulo l des représentations de $D_{K,d}^\times$ et W_K	8
2. Réseaux stables d'une représentation de Steinberg généralisée.....	9
2.1. Généralités sur les réseaux.....	9
2.2. Réseaux d'induction.....	10
2.3. Sous-complexes d'inductions.....	11
3. Espaces de Lubin-Tate.....	12
3.1. Géométrie.....	12
3.2. Cohomologie à coefficients dans $\overline{\mathbb{Q}}_l$ d'après [8].....	12
3.3. Cohomologie entière et modulaire : énoncé des résultats.....	13
4. Sur quelques variétés de Shimura simples.....	14
4.1. Notations.....	14
4.2. Faisceaux pervers dits d'Harris-Taylor.....	15
4.3. Résultats globaux de [8].....	17
5. Faisceaux pervers entiers et théories de torsion.....	17
5.1. Théories de torsion.....	17

Classification mathématique par sujets (2000). — 14G22, 14G35, 11G09, 11G35, 11R39, 14L05, 11G45, 11Fxx.

Mots clefs. — Variétés de Shimura, modules formels, correspondances de Langlands, correspondances de Jacquet-Langlands, faisceaux pervers, cycles évanescents, filtration de monodromie, conjecture de monodromie-poids.

5.2. Recollement.....	20
5.3. Réduction modulaire.....	22
5.4. t -structures perverses.....	22
5.5. Cas d'un schéma de Hecke.....	26
6. Filtrations de stratification d'un faisceau pervers sans torsion.....	26
6.1. Cas d'une situation de recollement.....	26
6.2. Recollement d'une t -structure perverse.....	28
6.3. Filtrations de stratification.....	30
6.4. Application aux faisceaux pervers de Harris-Taylor.....	32
6.5. Application au faisceau pervers des cycles proches.....	33
7. Torsion des fibres des faisceaux de cohomologie.....	35
7.1. des p -faisceaux pervers d'Harris-Taylor.....	35
7.2. du faisceau pervers des cycles proches.....	37
7.3. des $p+$ faisceaux pervers d'Harris-Taylor.....	39
Références.....	43

Introduction

Dans [13] la correspondance de Langlands locale est prouvée par voie globale via l'étude de la cohomologie d'une certaine classe de variétés de Shimura unitaires X qualifiée de « simple » dans [13]. Notant F le corps reflex de la donnée de Shimura associée à X , on obtient un schéma de Hecke, au sens de [8], défini au-dessus de $\text{Spec } \mathcal{O}_v$, où \mathcal{O}_v est l'anneau des entiers du complété de F en une place v bien choisie, cf. le §3.3. On obtient alors d'après [14], un faisceau pervers Ψ de Hecke dit des cycles proches sur la fibre spéciale géométrique $X_{\bar{s}}$ de X en v . Notant d la dimension de X , sa fibre spéciale X_s admet une stratification de Newton

$$X_s = X_s^{\geq 1} \supset X_s^{\geq 2} \cdots \supset X_s^{\geq d}$$

où $X_s^{=h} := X_s^{\geq h} - X_s^{\geq h+1}$ est de pure dimension $d - h$. La strate $X_s^{=h}$ admet des revêtements d'Igusa de seconde espèce, construits dans [13], qui fournissent des systèmes locaux dits d'Harris-Taylor.

Dans [8] nous avons explicité la filtration de monodromie du faisceau pervers des cycles proches Ψ en termes d'extensions intermédiaires de ces systèmes locaux d'Harris-Taylor. On observe alors que cette filtration coïncide avec la filtration par les poids. Le but de cet article est de prouver que les fibres des faisceaux de cohomologie du complexe Ψ sont sans torsion ce qui d'après le théorème de comparaison de Berkovich montrera que la cohomologie entière des espaces de Lubin-Tate est sans torsion, cf. le §3.

La filtration de monodromie-poids n'étant pas entière, on considère des filtrations de Ψ associées à la stratification de Newton. Ces filtrations fournissent des réseaux stables des systèmes locaux d'Harris-Taylor ainsi que certaines extensions intermédiaires « coincées » entre les complexes d'intersection relativement aux t -structures p et $p+$, cf. le §6. La « position » de ces faisceaux pervers ainsi que la classe d'équivalence de ces réseaux stables, dépendent de la filtration considérée, cf. la remarque qui suit la proposition 7.2.3. On étudie plus particulièrement deux de ces constructions, la première dite en amont par les images admet pour gradués les p -complexes d'intersection et la deuxième dite par les noyaux a pour gradués les $p+$ -complexes d'intersection.

On est ainsi dans un premier temps ramené à étudier les faisceaux de cohomologie de ces p -complexes d'intersection. En caractéristique nulle dans [8], on avait étudié la suite spectrale des faisceaux de cohomologie associée à la filtration par les poids de l'extension par zéro d'un système local d'Harris-Taylor. Il découle de cette description, cf. §6.4, qu'il ne peut y avoir qu'une seule façon de les filtrer ; en particulier toutes nos filtrations de stratification doivent coïncider ce qui nous permet de montrer, §7.1, que les gradués sont les p -complexes d'intersection dont les faisceaux de cohomologie sont sans torsion.

On revient ensuite, §6.5 à l'étude des faisceaux de cohomologie de Ψ via la suite spectrale associée à la filtration de stratification en amont par les images ; cette filtration « découpe » notre

faisceau pervers en faisceaux pervers P_i qui se comporte comme l'extension par zéro d'un système local d'Harris-Taylor de sorte que leurs faisceaux de cohomologie sont sans torsion, cf. 7.2. L'étude analogue en caractéristique nulle montre enfin qu'il n'y a pas de flèches dans la suite spectrale associée à la filtration dont les gradués sont les P_i ce qui permet de conclure.

Enfin §7.3 on étudie les faisceaux de cohomologie des $p+$ -complexes d'intersection des systèmes locaux d'Harris-Taylor attachés à une $\overline{\mathbb{Q}}_l$ -représentation cuspidale π_v de $GL_g(F_v)$; si la réduction modulo l de π_v est supercuspidale les versions p et $p+$ des complexes d'intersection coïncident et dans le cas contraire on explicite la l -torsion des faisceaux de cohomologie. Pour comprendre explicitement la torsion, il suffirait de comprendre les réductions modulo l^n de ces représentations.

Décrivons succinctement le contenu des différents paragraphes. Pour K une extension finie de \mathbb{Q}_p , on commence §1.1 par rappeler les notations et les propriétés de la théorie des $\overline{\mathbb{Q}}_l$ (resp. $\overline{\mathbb{F}}_l$) représentations de $GL_n(K)$ où l est un nombre premier distinct de p ; la référence usuelle est [21] (resp. [19]). On résume ensuite §1.5 les résultats de [7] sur la réduction modulo l d'une représentation de Steinberg généralisée et §1.6 sur celle des représentations du groupe de Weil W_K de K et du groupe des inversibles $D_{K,d}^\times$ de l'algèbre à division centrale sur K d'invariant $1/d$.

Au §2 on rappelle quelques unes des constructions de [7] sur les réseaux d'inductions des représentations de Steinberg généralisée et on explicite la cohomologie d'un complexe de $GL_d(K)$ -modules qui intervient dans la cohomologie des $p+$ -complexes d'intersection des systèmes locaux d'Harris-Taylor. On introduit ensuite les objets locaux, §3, à savoir les espaces dits de Lubin-Tate, et les objets globaux, §6.4, qui sont certaines classes de variétés de Shimura unitaires introduites par Kottwitz et étudiées dans [13].

Au §5, on rappelle en suivant [16] les théories de torsion sur le coeur d'une catégorie triangulée $\overline{\mathbb{Z}}_l$ -linéaire et on explicite, proposition 5.1.7, la construction du saturé d'un sous-objet d'un objet libre. La situation qui nous intéresse est celle du recollement de t -structures perverses, §5.4, pour des S -schémas où S est le spectre soit d'un corps, soit d'un anneau de valuation discrète A soit celui du normalisé \overline{A} de A dans une clôture algébrique du corps des fractions de A . On utilise cette dernière situation pour le complexe des cycles proches via la proposition 5.4.9.

On applique §6 les considérations précédentes pour filtrer un faisceau pervers P sans torsion sur un schéma muni d'une stratification. Pour une stratification donnée, on peut ainsi définir plusieurs de ces filtrations dites « de stratification »; dans ce papier on n'utilisera que celles qualifiées de en aval ou en amont par les images ou par les noyaux. Chacune de ces filtrations de stratification, proposition 6.3.1, « découpe » un réseau stable des systèmes locaux associés à $P \otimes_{\overline{\mathbb{Z}}_l} \overline{\mathbb{Q}}_l$ ainsi qu'un faisceau pervers « coincé » entre les versions p et $p+$ des complexes d'intersection de ces systèmes locaux; quand on change de filtration on modifie non seulement les réseaux stables mais aussi la position du faisceau pervers. On exhibe, lemme 6.2.3, deux situations où il est possible à priori de fixer la position de ces faisceaux pervers; on exploitera ce résultat dans l'étude, §7.1, de l'extension par zéro d'un système local d'Harris-Taylor et dans celle, §7.2, du faisceau pervers des cycles proches.

Ce papier est la version entière de [8] et sera suivi par la version entière de [9] où l'on étudiera la $\overline{\mathbb{Z}}_l$ -cohomologie des systèmes locaux d'Harris-Taylor ainsi que celle de la variété de Shimura. Le point de départ de ce nouveau papier est donné par l'étude, §7.3, des faisceaux de cohomologie des $p+$ -complexes d'intersection des systèmes locaux d'Harris-Taylor.

1. Représentations de $GL_n(K)$

Dans la suite K désigne un corps local non archimédien dont le corps résiduel est de cardinal q une puissance de p . Dans ce paragraphe, on rappelle des notations et quelques résultats sur les représentations admissibles de $GL_n(K)$ à coefficients dans $\overline{\mathbb{Q}}_l$ puis $\overline{\mathbb{F}}_l$ où l un nombre premier distinct de p . On fixe une racine carrée $q^{\frac{1}{2}}$ de q dans $\overline{\mathbb{Q}}_l$ ce qui par réduction modulo l en fournit une sur $\overline{\mathbb{F}}_l$.

Les partitions $\bar{\lambda}$ de n seront systématiquement décroissantes

$$\bar{\lambda} = (\lambda_1 \geq \lambda_2 \geq \cdots \geq \lambda_r > 0), \quad \sum_{i=1}^r \lambda_i = n;$$

les λ_i sont appelés les blocs de $\bar{\lambda}$ et on notera $|\bar{\lambda}| = r$ le nombre de blocs. La somme de deux partitions $\bar{\lambda}$ de n et $\bar{\lambda}'$ de n' est la partition de $n + n'$ dont l'ensemble des blocs est la réunion de ceux de $\bar{\lambda}$ et $\bar{\lambda}'$.

1.1. Inductions paraboliques et foncteurs de Jacquet. — Suivant [8], pour $k \in \frac{1}{2}\mathbb{Z}$, nous noterons $\pi\{k\}$ la représentation tordue de π de sorte que l'action d'un élément $g \in GL_n(K)$ est donnée par $\pi(g)\nu(g)^k$ avec $\nu : g \in GL_n(K) \mapsto q^{-\text{val}(\det g)}$.

1.1.1. Définition. — Pour une suite (r_1, r_2, \dots, r_k) telle que $\sum_{i=1}^k r_i = d$, on note P_{r_1, r_2, \dots, r_k} le sous-groupe parabolique standard de GL_d associé au sous-groupe de Levi $GL_{r_1} \times GL_{r_2} \times \cdots \times GL_{r_k}$ et on note N_{r_1, \dots, r_k} son radical unipotent.

Remarque : on mettra en exposant op pour désigner les paraboliques opposés aux standards ci-avant.

1.1.2. Définitions. — — Soit $P = MN$ un parabolique de GL_n de Lévi M et de radical unipotent N . On note $\delta_P : P(K) \rightarrow R^\times$ l'application définie par

$$\delta_P(h) = |\det(\text{ad}(h)|_{\text{Lie}N})|^{-1}.$$

— Pour (π_1, V_1) et (π_2, V_2) des R -représentations de respectivement $GL_{n_1}(K)$ et $GL_{n_2}(K)$, et P un parabolique de $GL_{n_1+n_2}$ de Lévi $M = GL_{n_1} \times GL_{n_2}$ et de radical unipotent N ,

$$\pi_1 \times_P \pi_2$$

désigne l'induite parabolique normalisée de $P(K)$ à $GL_{n_1+n_2}(K)$ de $\pi_1 \otimes \pi_2$ c'est à dire l'espace des fonctions $f : GL_{n_1+n_2}(K) \rightarrow V_1 \otimes V_2$ telles que

$$f(nmg) = \delta_P^{-1/2}(m)(\pi_1 \otimes \pi_2)(m)(f(g)), \quad \forall n \in N, \forall m \in M, \forall g \in GL_{n_1+n_2}(K).$$

Remarque : en particulier si P est standard alors $\pi_1 \times_P \pi_2$ est l'induite « classique » de $\pi_1\{n_2/2\} \otimes \pi_2\{-n_1/2\}$.

— Foncteurs de Jacquet : pour π une R -représentation admissible de $GL_n(K)$, l'espace des vecteurs $N(K)$ -coinvariants est stable sous l'action de $M(K) \simeq P(K)/N(K)$. On notera $J_P(\pi)$ cette représentation tordue par $\delta_P^{-1/2}$.

1.1.3. Notations. — Dans le cas où P est le parabolique standard (resp. opposé au standard), on notera simplement \times (resp. \times_{op}) au lieu de \times_P (resp. $\times_{P^{op}}$).

Formules d'adjonction : J_P est un foncteur exact adjoint à gauche (resp. à droite) de \times_P (resp. de $\times_{P^{op}} \otimes \delta_P^{-1}$), c'est la réciprocity de Frobenius (resp. la deuxième formule d'adjonction, cf. [10] dans le cas où $R = \overline{\mathbb{F}}_l$) :

$$\text{Hom}(J_P(\pi), \pi_1 \otimes \pi_2) \simeq \text{Hom}(\pi, \pi_1 \times_P \pi_2),$$

$$(\text{resp. } \text{Hom}(\pi_1 \times_{P^{op}} \pi_2, \pi) \simeq \text{Hom}(\pi_1 \otimes \pi_2, \delta_{P^{op}} J_P(\pi))).$$

1.1.4. Définition. — Une représentation ϱ de $GL_n(K)$ est dite *cuspidale* si pour tout parabolique propre P , $J_P(\pi)$ est nulle. Elle sera dite *supercuspidale* si elle n'est pas un sous-quotient d'une induite parabolique propre.

Étant donné un parabolique P de GL_n , son sous-groupe de Levi $M \simeq GL_{\lambda_1} \times \cdots \times GL_{\lambda_r}$ fournit une partition $\underline{\lambda}_P = (\lambda_1 \geq \cdots \geq \lambda_r > 0)$ de n . De la définition de cuspidalité, il résulte qu'étant donnée une représentation irréductible π , si P et P' sont deux paraboliqes tels que $J_P(\pi)$ et $J_{P'}(\pi)$ sont cuspidales, alors les partitions $\overline{\lambda}_P$ et $\overline{\lambda}_{P'}$ sont les mêmes, cf. [7] 1.6.2.

1.1.5. Définition. — Pour π une représentation irréductible, la partition $\overline{\lambda}_\pi$ de π associée à un parabolique P tel que $J_P(\pi)$ est cuspidale, sera désignée par *le niveau cuspidal* de π ; la relation d'ordre considérée sur ces partitions $\overline{\lambda}_P = (\lambda_1 \geq \cdots \geq \lambda_r > 0)$ de n , sera la relation d'ordre totale induite par l'ordre lexicographique sur $(\lambda_1, \lambda_2, \dots, \lambda_r, 0, \dots)$.

Remarque : le niveau cuspidal d'un produit tensoriel $\rho_1 \otimes \cdots \otimes \rho_r$ est celui de la somme $\overline{\lambda}_{\rho_1} + \cdots + \overline{\lambda}_{\rho_r}$ des niveaux cuspidaux $\overline{\lambda}_{\rho_i}$ des ρ_i .

1.2. Modèles de Whittaker. — Soient $\psi : \mathcal{O}_K \rightarrow R^\times$ un caractère et $\overline{\lambda} = (\lambda_1 \geq \cdots \geq \lambda_r > 0)$ une partition de n ; on définit alors un caractère $\psi_{\overline{\lambda}}$ sur le radical unipotent U du Borel standard de $GL_n(K)$, par la formule

$$\psi_{\overline{\lambda}}(u) := \psi\left(\sum_i u_{i, i+1}\right)$$

où la somme porte sur les indices $1 \leq i < n$ tels que $i \neq \lambda_1, \lambda_1 + \lambda_2, \dots$.

1.2.1. Proposition-Définition. — [17] III.1.8 Soit π une R -représentation irréductible de $GL_n(K)$; il existe alors une unique partition $\overline{\lambda}_\pi$ maximale pour l'ordre de Bruhat, telle que le nombre fini

$$m(\pi, \overline{\lambda}) := \dim_R \text{Hom}_{RU}(\pi|_U, \psi_{\overline{\lambda}})$$

est non nul. On désigne cette partition comme *le niveau de Whittaker* de π .

Remarque : ainsi lorsque l'on considère des niveaux de Whittaker, la relation d'ordre sera celle de Bruhat alors que pour les niveaux cuspidaux ce sera celle de 1.1.5.

1.2.2. Définition. — Une représentation irréductible π telle que $\overline{\lambda}_\pi = (n)$, est dite **non dégénérée**.

Remarque : pour π irréductible et non dégénérée, on a $m(\pi, (n)) = 1$; c'est l'unicité du modèle de Whittaker.

1.2.3. Définition. — Soit π une représentation de longueur finie. Pour $k \geq 1$, la dérivée d'ordre k , $\pi^{(k)}$ de π est la restriction parabolique de $GL_n(K)$ à $GL_{n-k}(K) \times GL_k(K)$ suivie par l'application sur les $GL_{n-k}(K)$ -représentations, donnée par le nombre de modèles de Whittaker non dégénérés de sa $GL_k(K)$ -partie.

1.3. à coefficients dans $\overline{\mathbb{Q}}_l$. — Commençons tout d'abord par quelques rappels sur le centre de Bernstein. Soit $I_{\overline{\mathbb{Q}}_l} = \{(M, \pi)\} / \sim$ où :

- M est un sous-groupe de Levi de $GL_n(K)$;
- π est une représentation irréductible supercuspidale de M ;
- la relation d'équivalence \sim est la relation d'équivalence inertielle, i.e. $(M, \pi) \sim (M', \pi')$ si et seulement s'il existe $g \in GL_d(K)$ et un caractère χ non ramifié de M tels que $M' = M^g$ et $\pi' \simeq (\chi\pi)^g$.

Pour tout $\mathfrak{s} = (M, \pi) \in I_{\overline{\mathbb{Q}}_l}$, soit $\mathfrak{B}_{\overline{\mathbb{Q}}_l, \mathfrak{s}}$ la sous-catégorie pleine de $\overline{\mathbb{Q}}_l[GL_d(K)] - \text{mod}_\infty$ formée des objets dont tous les sous-quotients irréductibles contiennent $(M, \pi\chi)$ dans leur support cuspidal

pour un certain caractère non ramifié χ de M . La catégorie $\mathfrak{B}_{\overline{\mathbb{Q}}_l, s}$ est alors un facteur direct indécomposable, appelé bloc de Bernstein et on a une décomposition orthogonale

$$\overline{\mathbb{Q}}_l[GL_d(K)] - \text{mod}_\infty \simeq \bigoplus_{s \in I} \mathfrak{B}_{\overline{\mathbb{Q}}_l, s}$$

qui fournit une décomposition orthogonale de la catégorie dérivée associée

$$\mathbb{D}_{t_f}^b(\overline{\mathbb{Q}}_l[GL_d(K)]_\infty) = \bigoplus_{s \in I} \mathbb{D}_{t_f}^b(\mathfrak{B}_s).$$

Remarque : lorsque M est le tore maximal, pour π un caractère non ramifié, le bloc associé s'appelle alors le bloc unipotent. Plus généralement pour $M = GL_g^s$ avec $d = sg$ et $\Pi = \pi \otimes \cdots \otimes \pi$ pour π une représentation irréductible cuspidale de $GL_g(K)$, le bloc correspondant à (M, Π) s'appelle le bloc π -unipotent. Parmi les représentations π -unipotente sont les représentations elliptiques, celles dont le support cuspidal est un segment de Zelevinski, dont nous allons introduire quelques notations.

1.3.1. Définition. — Soient g un diviseur de $d = sg$ et π une représentation cuspidale irréductible de $GL_g(K)$. L'induite parabolique

$$\pi\left\{\frac{1-s}{2}\right\} \times \pi\left\{\frac{3-s}{2}\right\} \times \cdots \times \pi\left\{\frac{s-1}{2}\right\}$$

possède

- un unique quotient irréductible noté $\text{St}_s(\pi)$; c'est une représentation de Steinberg généralisée.
- une unique sous-représentation irréductible notée $\text{Speh}_s(\pi)$; c'est une représentation de Speh généralisée.

Remarque : pour π irréductible cuspidale, on aurait aussi pu définir $\text{St}_s(\pi)$ comme l'unique sous-quotient irréductible non dégénéré de l'induite $\pi\left\{\frac{1-s}{2}\right\} \times \cdots \times \pi\left\{\frac{s-1}{2}\right\}$.

En ce qui concerne les foncteurs de Jacquet, on rappelle que d'après [21], on a

$$\begin{aligned} J_{P_{tg, (s-t)g}}(\text{St}_s(\pi)) &= \text{St}_t(\pi\left\{\frac{s-t}{2}\right\}) \otimes \text{St}_{s-t}(\pi\left\{-\frac{t}{2}\right\}); \\ J_{P_{tg, (s-t)g}}(\text{Speh}_s(\pi)) &= \text{Speh}_t(\pi\left\{-\frac{s-t}{2}\right\}) \otimes \text{Speh}_{s-t}(\pi\left\{\frac{t}{2}\right\}); \\ J_{P_{tg, (s-t)g}}^{op}(\text{St}_s(\pi)) &= \text{St}_t(\pi\left\{-\frac{s-t}{2}\right\}) \otimes \text{St}_{s-t}(\pi\left\{\frac{t}{2}\right\}); \\ J_{P_{tg, (s-t)g}}^{op}(\text{Speh}_s(\pi)) &= \text{Speh}_t(\pi\left\{\frac{s-t}{2}\right\}) \otimes \text{Speh}_{s-t}(\pi\left\{-\frac{t}{2}\right\}). \end{aligned}$$

1.3.2. Définition. — D'après [21] 2.10, l'induite parabolique

$$\text{St}_{s-t}(\pi\left\{-\frac{t}{2}\right\}) \times \text{Speh}_t(\pi\left\{\frac{s-t}{2}\right\})$$

admet une unique sous-représentation irréductible que l'on note $LT_\pi(s, t)$ qui s'avère être aussi l'unique sous-représentation irréductible des induites suivantes.

$$\begin{aligned} &\text{Speh}_{t+1}(\pi\left\{\frac{s-t-1}{2}\right\}) \times \text{St}_{s-t-1}(\pi\left\{-\frac{t+1}{2}\right\}), \\ &\text{Speh}_t(\pi\left\{\frac{s-t}{2}\right\}) \times_{op} \text{St}_{s-t}(\pi\left\{-\frac{t}{2}\right\}), \\ &\text{St}_{s-t-1}(\pi\left\{-\frac{t+1}{2}\right\}) \times_{op} \text{Speh}_{t+1}(\pi\left\{\frac{s-t-1}{2}\right\}) \end{aligned}$$

Remarque : les représentations de la forme $LT_\pi(s, t)$ sont dites elliptiques de Lubin-Tate car d'après [8] ce sont exactement celles qui apparaissent dans la cohomologie des tours de Lubin-Tate.

Remarque : alternativement, on pourrait aussi d'après [21], caractériser $LT_\pi(s, t)$ comme l'unique quotient irréductible des induites paraboliques :

$$\begin{aligned} &\text{St}_{s-t-1}(\pi\left\{-\frac{t+1}{2}\right\}) \times \text{Speh}_{t+1}(\pi\left\{\frac{s-t-1}{2}\right\}), \quad \text{Speh}_t(\pi\left\{\frac{s-t}{2}\right\}) \times \text{St}_{s-t}(\pi\left\{-\frac{t}{2}\right\}), \\ &\text{Speh}_{t+1}(\pi\left\{\frac{s-t-1}{2}\right\}) \times_{op} \text{St}_{s-t-1}(\pi\left\{-\frac{t+1}{2}\right\}), \quad \text{St}_{s-t}(\pi\left\{-\frac{t}{2}\right\}) \times_{op} \text{Speh}_t(\pi\left\{\frac{s-t}{2}\right\}). \end{aligned}$$

Remarque : d'après [21] §2, toutes les induites précédentes sont de longueur 2.

Afin d'éviter d'avoir à écrire systématiquement toutes ces torsions, on introduit les notations suivantes.

1.3.3. Notations. — Un entier $g \geq 1$ étant fixé, pour π_1 et π_2 des représentations de respectivement $GL_{t_1g}(K)$ et $GL_{t_2g}(K)$, on notera

$$\begin{aligned} \pi_1 \overrightarrow{\times} \pi_2 &= \pi_1 \left\{ -\frac{t_2}{2} \right\} \times \pi_2 \left\{ \frac{t_1}{2} \right\} \\ \pi_1 \overleftarrow{\times} \pi_2 &= \pi_1 \left\{ \frac{t_2}{2} \right\} \times \pi_2 \left\{ -\frac{t_1}{2} \right\} \\ \pi_1 \overrightarrow{\times}_{op} \pi_2 &= \pi_1 \left\{ -\frac{t_2}{2} \right\} \times_{op} \pi_2 \left\{ \frac{t_1}{2} \right\} \\ \pi_1 \overleftarrow{\times}_{op} \pi_2 &= \pi_1 \left\{ \frac{t_2}{2} \right\} \times_{op} \pi_2 \left\{ -\frac{t_1}{2} \right\} \end{aligned}$$

Remarque : avec ces notations, $LT_\pi(s, t)$ est, par exemple, l'unique sous-représentation irréductible de $St_{s-t}(\pi) \overrightarrow{\times} \text{Speh}_t(\pi)$ et de $\text{Speh}_t(\pi) \overleftarrow{\times} St_{s-t}(\pi)$.

1.4. à coefficients dans $\overline{\mathbb{F}}_l$. — Étant donnée une puissance q de p , on note $e_l(q)$ l'ordre de l'image de q dans $\overline{\mathbb{F}}_l^\times$. On dit que l est *banal* pour $GL_n(K)$ si $e_l(q) > n$.

1.4.1. Définition. — Étant donné un multi-ensemble $\underline{s} = \{\pi_1^{n_1}, \dots, \pi_r^{n_r}\}$ de représentation cuspidales, on note d'après [19] V.7, $St(\underline{s})$ l'unique représentation non dégénérée de l'induite

$$\pi(\underline{s}) := \overbrace{\pi_1 \times \dots \times \pi_1}^{n_1} \times \dots \times \overbrace{\pi_r \times \dots \times \pi_r}^{n_r}.$$

Remarque : d'après [19] V.7, toutes les représentations non dégénérées sont de cette forme.

1.4.2. Notation. — Pour ρ une représentation irréductible cuspidale et $s \geq 1$, on note $\underline{s}(\rho) := \{\rho, \rho\{1\}, \dots, \rho\{s-1\}\}$. Avec les notations de [19] V.4, on notera $St_s(\rho)$ pour $St(\underline{s}(\rho))$.

1.4.3. Définition. — La droite associée à ϱ est l'ensemble $\{\varrho\{i\} / i \in \mathbb{Z}\}$ de cardinal fini $\epsilon(\varrho)$ un diviseur de $e_l(q)$, cf. [19] p.51. On pose comme dans loc. cit.

$$m(\varrho) = \begin{cases} \epsilon(\varrho), & \text{si } \epsilon(\varrho) > 1; \\ l, & \text{sinon.} \end{cases}$$

1.4.4. Proposition. — [19] V.4 Soit ϱ une représentation irréductible cuspidale. La représentation non dégénérée $St_s(\varrho)$ est cuspidale si et seulement si $s = 1$ ou $m(\varrho)l^k$ pour $k \geq 0$.

Remarque : toute représentation irréductible cuspidale est de la forme $St_s(\varrho)$ pour ϱ irréductible supercuspidale et $s = 1$ ou de la forme $m(\varrho)l^k$ avec $k \geq 0$.

1.4.5. Notation. — Soit ϱ une représentation irréductible cuspidale de $GL_g(K)$; on note alors $\varrho_{-1} = \varrho$ et pour tout $i \geq 0$, $\varrho_i = St_{m(\varrho)^i}(\varrho)$.

1.4.6. Définitions. — Soit ϱ une $\overline{\mathbb{F}}_l$ -représentation irréductible cuspidale de $GL_g(K)$:

- un segment de Zelevinski associé à ϱ et de longueur $r \geq 1$ est l'ensemble de représentations cuspidales

$$(\varrho, r) = \{\varrho, \varrho\{1\}, \dots, \varrho\{r-1\}\}.$$

- Un **paramètre de Zelevinski** est un multi-ensemble $\underline{a} = (\varrho_i, r_i)_{1 \leq i \leq t}$ de segments de Zelevinski; le support \underline{s} de \underline{a} est le multi-ensemble réunion des (ϱ_i, r_i) pour $1 \leq i \leq t$.
- Un paramètre de Zelevinski de la forme $(\varrho_i, r)_{1 \leq i \leq t}$ où $\{\varrho_1, \dots, \varrho_t\}$ est un segment $(\varrho, m(\varrho)l^u)$ pour $u \geq 0$, est appelé **un cycle**.
- Un paramètre de Zelevinski qui ne contient pas de cycle est dit **restreint**.
- Un paramètre de Zelevinski dont le support cuspidal est supercuspidal, est dit **supercuspidal**.

1.4.7. Proposition. — ([19] V.9 et [11] §2.2.3) Étant donné un paramètre de Zelevinski \underline{a} , on définit une représentation irréductible $\langle \underline{a} \rangle$ telle que :

- si $\underline{a} = (\varrho, r)$ est un segment de Zelevinski, alors $\langle \varrho, r \rangle$ est défini par récurrence en demandant que sa dérivée maximale soit $\langle \varrho, r \rangle^{(g)} = \langle \varrho, r-1 \rangle$;

– si $\underline{a} = (\varrho_i, r_i)_{1 \leq i \leq t}$ alors $\langle \underline{a} \rangle$ est l'unique sous-quotient irréductible de

$$\pi(\underline{a}) := \langle (\varrho_1, r_1) \rangle \times \cdots \times \langle (\varrho_t, r_t) \rangle$$

dont le niveau de Whittaker est le même que celui de $\pi(\underline{a})$.

Remarque : on a $\langle \underline{a} \rangle = \langle \underline{a}_{sc} \rangle = \langle \underline{a}_{rst} \rangle$ et le support supercuspidal (resp. cuspidal) de $\langle \underline{a} \rangle$ est le support de \underline{a}_{sc} (resp. de \underline{a}_{rst}).

1.4.8. Théorème. — (cf. [19] V.11-12) L'application $\underline{a} \mapsto \langle \underline{a} \rangle$ induit une bijection entre les paramètres de Zelevinski restreints (resp. supercuspidaux) et les représentations irréductibles de $GL(K)$.

Comme dans le cas de caractéristique nulle, soit (M, ρ) une paire de Levi supercuspidale, i.e. ρ est une représentation irréductible supercuspidale du Levi M de $GL_d(K)$; on note encore $I_{\overline{\mathbb{F}}_l}$ l'ensemble des classes d'équivalence de ces paires modulo la relation d'équivalence inertielle et on considère pour $\mathfrak{s} \in I_{\overline{\mathbb{F}}_l}$, la sous-catégorie $\mathfrak{B}_{\overline{\mathbb{F}}_l, \mathfrak{s}}$ pleine de $\overline{\mathbb{F}}_l[GL_d(K)] - \text{mod}_\infty$ dont les sous-quotients irréductibles sont des sous-quotients d'une induite parabolique $\text{ind}_P^G \rho'$ où P est de Levi M et $\rho' \sim \rho$.

1.4.9. Proposition. — (cf. [19] §IV.6) Pour toute paire de Levi supercuspidale $\mathfrak{s} \in I$, la catégorie $\mathfrak{B}_{\overline{\mathbb{F}}_l, \mathfrak{s}}$ est un bloc de $\overline{\mathbb{F}}_l[GL_d(K)] - \text{mod}_\infty$ et on a une décomposition orthogonale

$$\overline{\mathbb{F}}_l[GL_d(K)] - \text{mod}_\infty \simeq \bigoplus_{\mathfrak{s} \in I} \mathfrak{B}_{\overline{\mathbb{F}}_l, \mathfrak{s}}.$$

Remarque : comme dans le cas de caractéristique nulle, le bloc associé à la représentation triviale du tore maximal de $GL_d(K)$ est appelé le bloc unipotent. Dans le cas où $M = GL_g(K)^s$ avec $\rho = \varrho \otimes \cdots \otimes \varrho$ où ϱ est une représentation supercuspidale irréductible de $GL_g(K)$, le bloc correspondant est dit ϱ -unipotent.

1.5. Réduction modulo l d'une représentation de Steinberg généralisée. — On fixe une $\overline{\mathbb{Q}}_l$ -représentation irréductible cuspidale entière π de $Gl_g(K)$ dont on note ϱ la réduction modulo l . On renvoie le lecteur à 1.4.3 pour les définitions de $\epsilon(\varrho)$ et $m(\varrho)$ et à 1.4.5 pour les notations de ϱ_i pour tout $i \geq -1$.

On rappelle qu'une représentation ρ est dite ϱ -unipotente si ρ appartient au bloc ϱ -unipotent, i.e. ρ est un sous-quotient irréductible de $\varrho\{i_1\} \times \cdots \times \varrho\{i_r\}$ où les i_k sont des éléments de \mathbb{Z} quelconques.

Remarque : le niveau cuspidal $\overline{\lambda} = (\lambda_1 \geq \cdots \geq \lambda_{|\overline{\lambda}|})$ d'une représentation ϱ -unipotente est tel que pour tout $i = 1, \dots, |\overline{\lambda}|$,

$$\lambda_i = \begin{cases} m(\varrho)l^{k_i}g \text{ avec } k_i \geq 0 \\ g \end{cases}$$

1.5.1. Définitions. — – Le ϱ -niveau d'une représentation irréductible ϱ -unipotente est la suite $(m_{-1}, m_0, m_1, \dots)$ telle que son niveau cuspidal $\overline{\lambda} = (\lambda_1 \geq \cdots)$ vérifie que pour tout $i \geq 0$, m_i (resp. m_{-1}) désigne le nombre d'indices j tel que $\lambda_j = gm(\varrho)l^i$ (resp. $\lambda_j = g$).

– Une représentation ϱ -unipotente de ϱ -niveau $(m_{-1}, 0, \dots)$ sera dite ϱ -superunipotente.

– On note $p_{\varrho-su}$ la projection du groupe de Grothendieck des représentations ϱ -unipotentes vers celui des représentations ϱ -superunipotentes.

Remarque : la relation d'ordre 1.1.5 est alors l'ordre lexicographique sur les suites à valeurs dans \mathbb{N} .

1.5.2. Définitions. — Soit $s \geq 1$ un entier et ϱ une représentation irréductible cuspidale de $GL_g(K)$:

- $\mathcal{I}_\varrho(s)$ désigne l'ensemble des suites (m_{-1}, m_0, \dots) à valeurs dans \mathbb{N} telles que $s = m_{-1} + m(\varrho) \sum_{k=0}^{+\infty} m_k l^k$; on note $\lg_\varrho(s)$ le cardinal de $\mathcal{I}_\varrho(s)$;
- pour tout $s \geq 1$, \underline{s}^- est l'élément $(m_i)_{i \geq -1}$ de $\mathcal{I}_\varrho(s)$ tel que $m_{-1} = s$ et $m_i = 0$ pour tout $i \geq 0$;
- pour tout $s \geq 1$, \underline{s}_ϱ^+ désigne l'unique suite $(m_{-1}, m_0, \dots) \in \mathcal{I}_\varrho(s)$ telle que $m_{-1} < m(\varrho)$ et pour tout $k \geq 0$, $m_k < l$;

1.5.3. Définition. — Pour $\underline{i} = (i_{-1}, i_0, \dots) \in \mathcal{I}_\varrho(s)$, on définit

$$\text{St}_{\underline{i}}(\varrho) := \text{St}_{\underline{i}_{-1}}(\varrho_{-1}) \times \text{St}_{\underline{i}_0}(\varrho_0) \times \dots \times \text{St}_{\underline{i}_u}(\varrho_u)$$

où $i_k = 0$ pour tout $k > u$ et où les ϱ_i sont définis en 1.4.5.

Remarque : avec ces notations, d'après [19] V.7 $\text{St}_{\underline{s}_\varrho^+}(\varrho)$ est l'unique sous-quotient irréductible non dégénéré de $r_l(\text{St}_s(\pi))$.

1.5.4. Théorème. — Dans le groupe de Grothendieck des $\overline{\mathbb{F}}_l$ -représentations de $GL_{sg}(K)$, on a l'égalité suivante :

$$r_l(\text{St}_s(\pi)) = \sum_{\underline{i} \in \mathcal{I}_\varrho(s)} \text{St}_{\underline{i}}(\varrho).$$

Par ailleurs pour tout $\underline{i} \in \mathcal{I}_\varrho(s)$ et pour tout parabolique P , $J_P(\text{St}_{\underline{i}}(\varrho))$ est égal à la somme des constituants irréductibles de ϱ -niveau \underline{i} de $r_l(J_P(\text{St}_s(\pi)))$.

1.5.5. Notation. — Pour tout $\underline{i} \in \mathcal{I}_\varrho(s)$, on note $V_\varrho(s, < \underline{i})$ (resp. $V_\varrho(s, \geq \underline{i})$) la somme dans le groupe de Grothendieck des représentations de $GL_{sg}(K)$ des constituants irréductibles de $r_l(\text{St}_t(\pi))$ de ϱ -niveau $< \underline{i}$ (resp. $\geq \underline{i}$).

Pour l'énoncé suivant, notons pour tout $k \geq 0$, $t(k) := tm(\varrho_{-1})l^k$ soit $s = t_k(k) + \delta$ avec $0 \leq \delta < m(\varrho_{-1})l^k$ la division euclidienne de s par $m(\varrho_{-1})l^k$. On considère une représentation irréductible cuspidale π_k (resp. π_{-1}) de $GL_{g(k)}(K)$ (resp. $GL_g(K)$) dont la réduction modulo l est ϱ_k (resp. ϱ_{-1}).

1.5.6. Corollaire. — Avec les notations ci-dessus, dans le groupe de grothendieck des représentations de $GL_{sg}(K)$, on a l'égalité

$$\sum_{t=1}^{t_u} r_l(\text{St}_{\pi_k}(t)) \times V_{\varrho_{-1}}((t_k - t)m(\varrho_{-1})l^k + \delta, < \underline{\delta}_k) = V_{\varrho_{-1}}(s, \geq \underline{\delta}_k).$$

1.6. Réduction modulo l des représentations de $D_{K,d}^\times$ et W_K . —

1.6.1. Proposition. — (cf. [18] 1.20 et [20] 1.6) Soit σ une $\overline{\mathbb{Q}}_l$ -représentation irréductible de dimension d de W_K qui est l -entière. Sa réduction modulo l est, dans le groupe de Grothendieck correspondant, de la forme

$$\varsigma\left(\frac{1-e}{2}\right) \oplus \varsigma(1) \oplus \dots \oplus \varsigma\left(\frac{e-1}{2}\right)$$

où ς est une $\overline{\mathbb{F}}_l$ -représentation irréductible de dimension $m(\sigma)$ avec $e = 1$ ou $e = e_l(q^{m(\sigma)})l^y$ pour un entier $y \geq 0$ et $m(\sigma)e = d$.

Remarque : cette description est compatible à la correspondance de Langlands locale ; précisément soit π la représentation irréductible cuspidale de $GL_d(K)$ telle que $\sigma = L_d(\pi)$ alors la réduction modulo l de π est une représentation cuspidale de la forme $\text{St}_{m(\sigma)}(\varpi)$ où ϖ est une $\overline{\mathbb{F}}_l$ -représentation irréductible supercuspidale de $GL_e(K)$ telle que ς est l'image de ϖ par la correspondance de Langlands modulaire définie par M.-F. Vignéras.

En ce qui concerne les représentations entières de $D_{K,d}^\times$, la situation est similaire et décrite par la proposition suivante.

1.6.2. Proposition. — ([11] proposition 2.3.3) Soit ρ une $\overline{\mathbb{Q}}_l$ -représentation irréductible l -entière de $D_{K,d}^\times$ dont l'image par la correspondance de Jacquet-Langlands locale est une représentation irréductible cuspidale π de $GL_d(K)$. L'image de la réduction modulo l de ρ dans le groupe de Grothendieck correspondant est égale à

$$\varrho\nu^{-(m-1)/2} + \varrho\nu^{-(m-3)/2} + \dots + \varrho\nu^{(m-1)/2}$$

où la réduction modulo l de π est de la forme $\text{St}_m(\varpi)$.

2. Réseaux stables d'une représentation de Steinberg généralisée

Après quelques banalités sur les réseaux, on reprend d'après [7], les constructions de certains réseaux d'induction d'une représentation de Steinberg généralisée.

2.1. Généralités sur les réseaux. — Dans ce paragraphe on désigne par :

- \mathcal{O} un anneau intègre de corps des fractions K ;
- (π, V) une K -représentation de dimension finie d'un groupe G possédant un réseau stable Γ .

Dans le cas où $(\pi, V) = \bigoplus_i (\pi_i, V_i)$ n'est pas irréductible, on se propose de donner quelques constructions de réseaux stables Γ_i des (π_i, V_i) ainsi que des relations entre Γ et $\bigoplus_i \Gamma_i$.

2.1.1. Lemme. — Si l'image $[(\pi, V)]$ de (π, V) dans le groupe de Grothendieck est un multiple n de l'image d'une représentation irréductible (ϖ, W) , alors il existe une décomposition $V = \bigoplus_{i=1}^n V_i$ telle que :

- $(\pi|_{V_i}, V_i) \simeq (\varpi, W)$ pour $1 \leq i \leq n$;
- pour $\Gamma_i := \Gamma \cap V_i$, on a $\Gamma = \bigoplus_{i=1}^n \Gamma_i$.

Remarque : en général pour $(\pi, V) = (\pi_1, V_1) \oplus (\pi_2, V_2)$, avec (π_1, V_1) et (π_2, V_2) non isomorphe, le réseau $\Gamma_1 \oplus \Gamma_2$ est un sous-réseau strict de Γ .

Démonstration. — Pour $\Gamma = \bigoplus_{i=1}^r \mathcal{O}e_i$, posons $\Gamma_i := \Gamma \cap K[G]e_i$; comme π est ϖ -isotypique, on en déduit que $\Gamma_i \otimes_{\mathcal{O}} K$ est l'espace d'une représentation irréductible de G isomorphe à ϖ de sorte que $\Gamma_i \cap \Gamma_j$ est soit réduit à zéro soit égal à Γ_i et donc Γ est bien la somme directe de certains des Γ_i , d'où le résultat. \square

Dans le cas où G est le produit direct $G_1 \times G_2$ de deux groupes, on rappelle que si (π, V) est irréductible alors elle est de la forme $(\pi, V) = (\pi_1, V_1) \otimes (\pi_2, V_2)$ où π_i est une représentation irréductible de G_i pour $i = 1, 2$. Par contre le réseau stable Γ de V n'est pas à priori de la forme $\Gamma_1 \otimes \Gamma_2$ où Γ_i serait un réseau stable de V_i pour $i = 1, 2$. Cependant moyennant une hypothèse supplémentaire le résultat est vrai.

2.1.2. Lemme. — Avec les notations ci-avant, on suppose en outre que pour tout sous-espace W de V qui est G_1 -irréductible, $\Gamma_W = \Gamma \cap W$ est isomorphe à un réseau fixe Γ_1 . Alors il existe un réseau stable Γ_2 de V_2 tel que $\Gamma \simeq \Gamma_1 \otimes \Gamma_2$.

Démonstration. — Soit $\bigoplus_{i=1}^t (\pi_i, W_i)$ une décomposition en irréductibles de la G_1 -représentation sur V induite par π . D'après le lemme précédent, il est possible de la choisir de telle sorte que $\Gamma = \bigoplus_{i=1}^t \Gamma_{W_i}$. Comme par hypothèse tous les Γ_{W_i} sont isomorphes à Γ_{W_1} , on a donc $\Gamma \simeq \Gamma_{W_1} \otimes \Gamma_2$ où Γ_2 est un réseau G_2 -stable de (π_2, V_2) . En effet étant donnée une base $(e_i)_{i=1, \dots, t}$ de Γ_2 , la flèche défini par $(\gamma, e_i) \mapsto (0, \dots, 0, \gamma, 0, \dots, 0)$ induit un isomorphisme sur Γ telle que l'action de $g_2 \in G_2$ sur Γ est telle que $g_2(\gamma \otimes e_i) = \gamma \otimes \sum_{j=1}^t a_{i,j} e_j$ où $a_{i,j} \in \mathcal{O}$ est donnée d'après le lemme de Schur par $p_j \circ g_2(e_i) = a_{i,j} e_j$ où p_j désigne la projection sur Γ_j parallèlement à $\bigoplus_{k \neq j} \Gamma_k$.

□

Remarque : dans la suite nous utiliserons les points élémentaires ci-dessus dans le cadre des représentations admissibles étant sous entendu que l'on raisonne à niveau fini où les représentations sont alors de dimension finie.

2.1.3. Remarque. — Soit Λ un \mathcal{O} -module muni d'une filtration $\Lambda_0 \subset \dots \subset \Lambda_r = \Lambda$ tel que soit :

- (i) les gradués $\Lambda_{i+1}/\Lambda_i \otimes_{\mathcal{O}} K$ sont nuls pour tout $1 \leq i+1 < r$ et non nul pour $i = r-1$.
- (ii) la torsion de Λ_1/Λ_0 est non nulle.
- (iii) Λ_1/Λ_0 est libre et il existe $1 < k \leq r$ tel que la partie de torsion de Λ_k/Λ_{k-1} est non nulle.

Alors dans la situation

- (i) la partie libre de Λ est isomorphe à celle de Λ_r/Λ_{r-1} .
- (ii) la torsion de Λ est non nulle.
- (iii) la torsion de Λ peut être nulle.

2.2. Réseaux d'induction. — Comme précédemment π désigne une représentation irréductible entière cuspidale de $GL_g(K)$ fixée dont on note ϱ sa réduction modulo l . On a vu que ϱ était irréductible de sorte qu'à isomorphismes près, π possède un unique réseau stable, cf. par exemple [3] proposition 3.3.2 et la remarque qui suit.

2.2.1. Définition. — (cf. [7]) Étant donné un réseau de $\text{St}_t(\pi)$, la surjection (resp. l'injection)

$$\text{St}_t(\pi) \times \pi\{t\} \twoheadrightarrow \text{St}_{t+1}(\pi), \quad \text{resp. } \text{St}_{t+1}(\pi) \hookrightarrow \text{St}_t(\pi\{1\}) \times \pi$$

induit un réseau de $\text{St}_{t+1}(\pi)$ de sorte que par récurrence on dispose d'un réseau $RI_{\overline{\mathbb{Z}}_l, -}(\pi, t)$ (resp. $RI_{\overline{\mathbb{Z}}_l, +}(\pi, t)$) que l'on qualifie de *réseau d'induction*. On note alors

$$RI_{\overline{\mathbb{F}}_l, -}(\pi, t) := RI_{\overline{\mathbb{Z}}_l, -}(\pi, t) \otimes_{\overline{\mathbb{Z}}_l} \overline{\mathbb{F}}_l, \quad \text{resp. } RI_{\overline{\mathbb{F}}_l, +}(\pi, t) := RI_{\overline{\mathbb{Z}}_l, +}(\pi, t) \otimes_{\overline{\mathbb{Z}}_l} \overline{\mathbb{F}}_l.$$

2.2.2. Proposition. — Pour tout $0 \leq k \leq \text{lg}_{\varrho}(s)$, il existe une sous-représentation $V_{\varrho, \pm}(s; k)$ de longueur k de $RI_{\overline{\mathbb{F}}_l, \pm}(\overleftarrow{[s-1]}\pi)$

$$(0) = V_{\varrho, \pm}(s; 0) \subsetneq V_{\varrho, \pm}(s; 1) \subsetneq \dots \subsetneq V_{\varrho, \pm}(s; \text{lg}_{\varrho}(s)) = RI_{\overline{\mathbb{F}}_l, \pm}(\pi, s),$$

définie de sorte que l'image de $V_{\varrho, -}(s; k)$ (resp. $V_{\varrho, +}(s; k)$) dans le groupe de Grothendieck est telle que tous ses constituants irréductibles sont de ϱ -niveau strictement plus grand (resp. plus petit) que n'importe quel constituant irréductible de $W_{\varrho, -}(s; k) := V_{\varrho, -}(s; \text{lg}_{\varrho}(s))/V_{\varrho, -}(s; k)$ ((resp. $W_{\varrho, +}(s; k) := V_{\varrho, +}(s; \text{lg}_{\varrho}(s))/V_{\varrho, +}(s; k)$)).

2.2.3. Notation. — Une représentation irréductible ϱ étant fixée ainsi qu'un entier s , pour $k \geq 0$ tel que $m(\varrho)l^k \leq s$, on note :

- $\underline{\delta}_k = (0, \dots, 0, 1, 0, \dots) \in \mathcal{I}_{\varrho}(s)$ et
- pour tout t tel que $m(\varrho)l^k t \leq s$, $V_{\varrho, \pm}(s, \geq t \cdot \underline{\delta}_k)$ le sous-espace $V_{\varrho, \pm}(s, i)$ défini ci-dessus tel que tous les constituants irréductibles de $V_{\varrho, -}(s, i)$ (resp. $V_{\varrho, +}(s, i)$) sont de ϱ -niveau plus grand (resp. plus petit) ou égal à $t \cdot \underline{\delta}_k$.

2.2.4. Définition. — Plus généralement pour tout $a, b \geq 0$, on définit

$$RI_{\overline{\mathbb{Z}}_l, +-}(\pi, a, b)$$

comme le réseau induit par la surjection

$$RI_{\overline{\mathbb{Z}}_l, +}(\pi, a) \times RI_{\overline{\mathbb{Z}}_l, -}(\pi\{a\}, b) \twoheadrightarrow \text{St}_{a+b}(\pi).$$

En ce qui concerne les représentations elliptiques de Lubin-Tate $LT_{\pi}(s, t) = \overleftarrow{[s-t-1, \overrightarrow{t}]_{\pi}}$, on en définit de même des réseaux stables par induction parabolique :

2.2.5. Définitions. — (cf. [7]) Les réseaux de $LT_\pi(s, t)$ construits par les injections et surjections

$$RI_{\mathbb{Z}_l, \pm}(\pi, s - t - 1) \times \text{Speh}_{t+1}(\pi\{s - t - 1\}) \rightarrow LT_\pi(s, t) \hookrightarrow RI_{\mathbb{Z}_l, \pm}(\pi, s - t) \times \text{Speh}_t(\pi\{t\}),$$

sont isomorphes, on les note $RI_{\mathbb{Z}_l, \pm}(\pi, s, t)$.

2.3. Sous-complexes d'inductions. — Soit π une $\overline{\mathbb{Q}}_l$ -représentation irréductible cuspidale entière de $GL_g(K)$ dont on note ϱ la réduction modulo l . D'après 1.4.3, on note $m := m(\varrho)$ et pour tout $i \geq -1$, ρ_i désigne la $\overline{\mathbb{F}}_l$ -représentation irréductible cuspidale définie de 1.4.5. Pour tout $s \geq 1$, on note $K_\pi(s)^\bullet$ le complexe

$$K_\pi(s)^i = \begin{cases} 0 & \text{si } i \geq 0 \text{ ou } i < -s \\ RI_{\mathbb{Z}_l}(\pi, s + i) \overrightarrow{\times} [-i - 1]_\pi & \text{pour } -s \leq i \leq 0 \end{cases}$$

et dont la cohomologie est nulle. On définit aussi

$$K_\varrho(s)^\bullet := K_\pi(s)^\bullet \otimes_{\mathbb{Z}_l} \overline{\mathbb{F}}_l$$

dont la cohomologie est nulle d'après le paragraphe précédent.

2.3.1. Définition. — Pour tout $k, t \geq 0$, tels que $m(\varrho)l^k t \leq s$, avec les notations de 2.2.3, on définit

- $K_\varrho(s, \geq t.\underline{\delta}_k)^\bullet$ le sous-complexe de $K_\varrho(s)$ défini, pour $-s \leq i \leq 0$ par

$$K_\varrho(s, \geq t.\underline{\delta}_k)^i = V_\varrho(s, \geq t.\underline{\delta}_k) \overrightarrow{\times} [-i - 1]_\pi;$$

- $K_\varrho(s, < t.\underline{\delta}_k)^\bullet$ le quotient de $K_\varrho(s)$ par $K_\varrho(s, \geq t.\underline{\delta}_k)$.

2.3.2. Proposition. — La cohomologie $h^i K_\varrho(s, < \underline{\delta}_k)$ du complexe $K_\varrho(s, < t.\underline{\delta}_k)$ est :

- nulle si $m(\varrho)l^k$ ne divise pas s ;
- pour $s = \delta m(\varrho)l^k$, elle est nulle si $i \neq -\delta$ et pour $i = -\delta$ isomorphe à $[\overrightarrow{\delta - 1}]_{\rho_k}$.

Démonstration. — On raisonne par récurrence sur s quelque soit ϱ ; l'initialisation étant triviale supposons donc le résultat acquis jusqu'au rang $s - 1$ et traitons le cas de s .

Soit u tel que $m(\varrho)l^u \leq s < m(\varrho)l^{u+1}$; pour tout $0 \leq k \leq u$, on note $t_k \geq 1$ tel que $t_k m(\varrho)l^k \leq s < (t_k + 1)m(\varrho)l^k$ et on considère la filtration suivante de $K_\varrho(s)$:

$$\begin{aligned} K_\varrho(s, > t_u \underline{\delta}_u)^\bullet &\subset K_\varrho(s, > (t_u - 1)\underline{\delta}_u)^\bullet \subset \cdots \subset K_\varrho(s, > \underline{\delta}_u)^\bullet \\ &\subset K_\varrho(s, > t_{u-1} \underline{\delta}_{u-1})^\bullet \subset \cdots \subset K_\varrho(s, > \underline{\delta}_{u-1})^\bullet \\ &\cdots \subset K_\varrho(s, > t_0 \underline{\delta}_0)^\bullet \subset \cdots \subset K_\varrho(s, > \underline{\delta}_0)^\bullet \subset K_\varrho(s) \end{aligned} \quad (2.3.2)$$

On a alors les propriétés suivantes :

- pour $1 \leq k \leq u$, $K_\varrho(s, > t_{k-1} \underline{\delta}_{k-1})^\bullet / K_\varrho(s, > \underline{\delta}_k)$ est le complexe

$$\text{St}_{t_{k-1}}(\rho_{k-1}) \overrightarrow{\times} K_\varrho(s - t_{k-1} m(\varrho)l^{k-1}, < \underline{\delta}_0),$$

dont la cohomologie est, d'après l'hypothèse de récurrence, nulle sauf si $s = t_{k-1} m(\varrho)l^{k-1}$ auquel cas h^0 est le seul h^i non nul, et alors isomorphe à $\text{St}_{t_{k-1}}(\rho_{k-1})$;

- pour $0 \leq k \leq u$ et $1 \leq t < t_k$, le complexe $K_\varrho(s, > t.\underline{\delta}_k)^\bullet / K_\varrho(s, > (t+1).\underline{\delta}_k)$ est le complexe

$$\text{St}_t(\rho_k) \overrightarrow{\times} K_\varrho(s - tm(\varrho)l^k, < \underline{\delta}_k),$$

dont la cohomologie est, d'après l'hypothèse de récurrence, nulle sauf si $s = tm(\varrho)l^k$ auquel cas h^{t-t_k} est le seul h^i non nul, et alors isomorphe à $\text{St}_t(\rho_k) \overrightarrow{\times} [\overleftarrow{t_k - t - 1}]_{\rho_k}$.

Considérons alors la suite spectrale de cohomologie $E_1^{i,j} = h^{i+j} gr_{-i} \Rightarrow E_\infty^{i+j}$, associée à la filtration 2.3.2; d'après les propriétés précédentes les $E_1^{i,j}$ sont connus par récurrence pour tout $i > 0$ et l'aboutissement E_∞^{i+h} est nul. Par ailleurs les flèches $d_r^{i,j}$ sont déterminées par le complexe $K_\varrho(s)^\bullet$ de sorte que les $E_1^{0,j}$ s'en déduisent.

Concrètement pour $0 \leq k \leq u$ tel que $s = m(\varrho)l^k t_k$, il existe $i_1 < i_2 < \dots < i_{t_k}$ tels que pour $1 \leq r \leq t_k$,

$$E_1^{i_r, -t_k - i_r + r} = \text{St}_{\underline{0}}(\rho_k) \overrightarrow{\times} [\overline{t_k - r - \hat{1}}]_{\rho_k}, \quad \underline{0} \in \mathcal{I}_{\rho_k}(r).$$

Par ailleurs comme les flèches $E_1^{i_r, -t_k - i_r + r} \rightarrow E_1^{i_{r+1}, -t_k - i_{r+1} + r + 1}$ sont induites par celles de $K_\varrho(s)^\bullet$, on en déduit, en utilisant l'hypothèse de récurrence, que $E_1^{0, -t_k}$ est isomorphe à $[\overline{t_k - \hat{1}}]_{\rho_k}$, d'où le résultat. \square

Remarque : on peut aussi donner la cohomologie d'autres sous-complexes que ceux considérés ici, mais seuls ceux-ci interviendront dans l'étude des faisceaux de cohomologie des systèmes locaux d'Harris-Taylor.

3. Espaces de Lubin-Tate

La lettre K désigne toujours une extension finie de \mathbb{Q}_p , dont on note \mathcal{O}_K l'anneau des entiers, \mathcal{P}_K l'idéal maximal, ϖ_K une uniformisante et $\kappa = \mathcal{O}_K/\mathcal{P}_K$ son corps résiduel de cardinal $q = p^f$. L'extension maximal non ramifiée de K sera notée K^{nr} de complété \hat{K}^{nr} , d'anneau des entiers respectifs $\mathcal{O}_{K^{nr}}$ et $\mathcal{O}_{\hat{K}^{nr}}$.

3.1. Géométrie. — Soit $d \geq 1$ et $\Sigma_{K,d}$ le \mathcal{O}_K -module de Barsotti-Tate formel sur $\bar{\kappa}$ de hauteur d , cf. [13] §II. On considère la catégorie \mathcal{C} des \mathcal{O}_K -algèbres locales, artiniennes, de corps résiduel $\bar{\kappa}$. Le foncteur qui à un objet R de \mathcal{C} associe l'ensemble des classes d'isomorphismes des déformations par quasi-isogénies sur R de $\Sigma_{K,d}$ munies d'une structure de niveau n est pro-représentable par un schéma formel $\widehat{\mathcal{M}}_{LT,d,n} = \prod_{h \in \mathbb{Z}} \widehat{\mathcal{M}}_{LT,d,n}^{(h)}$ où $\widehat{\mathcal{M}}_{LT,d,n}^{(h)}$ représente le même foncteur mais en considérant des déformations par des isogénies de hauteur h . Chacun des $\widehat{\mathcal{M}}_{LT,d,n}^{(h)}$ est non-canoniquement isomorphe au schéma formel $\widehat{\mathcal{M}}_{LT,d,n}^{(0)}$ noté $\text{Spf Def}_{d,n}$ dans [8].

Remarque : on notera sans chapeau les fibres génériques au sens de Raynaud-Berkovich de ces espaces; ce sont donc des \widehat{K}^{nr} -espaces analytiques au sens de [4]. On pose

$$\mathcal{M}_{LT,n}^{d/K} := \mathcal{M}_{LT,n} \hat{\otimes}_{\hat{K}^{nr}} \hat{K}.$$

3.2. Cohomologie à coefficients dans $\overline{\mathbb{Q}_l}$ d'après [8]. —

3.2.1. Définition. — Étant donné un anneau Λ , soit $\Psi_{K,\Lambda,d,n}^i$ le Λ -module de type fini associé, via la théorie des cycles évanescents de Berkovich, au morphisme structural $\widehat{\mathcal{M}}_{LT,d,n}^{(0)} \rightarrow \text{Spf } \hat{\mathcal{O}}_K^{nr}$.

Remarque : on a en fait $\Psi_{K,\Lambda,d,n}^i \simeq H_c^i(\mathcal{M}_{LT,n}^{d/K}, \Lambda)$.

3.2.2 — Ce module est muni d'une action de $GL_d(\mathcal{O}_K)$ qui se factorise par le morphisme surjectif naturel $GL_d(\mathcal{O}_K) \rightarrow GL_d(\mathcal{O}_K/\mathcal{P}_K^n)$ et on pose $\Psi_{K,\Lambda,d}^i = \varinjlim_n \Psi_{K,\Lambda,d,n}^i$ de sorte que comme $\mathfrak{K}_n := \text{Ker}(GL_d(\mathcal{O}_K) \rightarrow GL_d(\mathcal{O}_K/\mathcal{P}_K^n))$ est pro- p pour tout $n \geq 1$, on a pour tout $n \geq 1$,

$$\Psi_{K,\overline{\mathbb{Q}_l},d,n}^i = (\Psi_{K,\overline{\mathbb{Q}_l},d}^i)^{\mathfrak{K}_n}.$$

3.2.3. Notations. — On notera

- $D_{K,d}$ l'algèbre à division centrale sur K d'invariant $1/d$ et $\mathcal{D}_{K,d}$ son ordre maximal;
- $GDW_K(d)$ le groupe produit $GL_d(K) \times D_{K,d}^\times \times W_K$;

– $GDW_K(d)^0$ le noyau de l'application

$$(g, \delta, c) \mapsto \text{val}(\det(g^{-1})\text{rn}(\delta) \text{Art}_K^{-1}(c)) \in \mathbb{Z};$$

on adoptera une notation similaire pour $GW_K^0(d)$.

– $GDW_K(d)^1$ le noyau de l'application $GDW_K(d) \rightarrow \mathbb{Z} \rightarrow \mathbb{Z}/d\mathbb{Z}$.

Le groupe des automorphismes de $\Sigma_{K,d}$ s'identifie avec $D_{K,d}^\times$ lequel agit donc naturellement sur $\Psi_{K,\Lambda,d}$ tout comme le sous-groupe d'inertie I_K . On dispose ainsi d'une action « naturelle » de $GL_d(\mathcal{O}_K) \times \mathcal{D}_{K,d}^\times \times I_K$ sur $\Psi_{K,\Lambda,d}$ que l'on peut prolonger, cf. [6] par exemple, au groupe $GDW_K(d)^0$. Pour un caractère χ de K^\times d'image finie, soit $\Psi_{K,\overline{\mathbb{Q}}_l,d,\chi}$ le facteur direct de $\Psi_{K,\overline{\mathbb{Q}}_l,d,\chi}$ sur lequel le centre de $GL_d(\mathcal{O})$ agit via χ , l'action de $GDW_K(d)^0$ sur $\Psi_{K,\overline{\mathbb{Q}}_l,d,\chi}$ se prolonge alors à $GDW_K(d)^1$.

Remarque : la construction précédente pour les espaces $\widehat{\mathcal{M}}_{LT,d,n}$ fournit des $\overline{\mathbb{Q}}_l$ -espaces vectoriels $\mathcal{U}_{K,\overline{\mathbb{Q}}_l,d,n}^i \simeq (\mathcal{U}_{K,\overline{\mathbb{Q}}_l,d}^i)^{\mathfrak{R}_n}$ où

$$\mathcal{U}_{K,\overline{\mathbb{Q}}_l,d,\chi}^i \simeq \text{Ind}_{GDW_K(d)^1}^{GDW_K(d)} \Psi_{K,\overline{\mathbb{Q}}_l,d,\chi}^i$$

est une représentation de $GDW_K(d)$.

3.2.4. Notation. — Soit $\text{Cusp}_\chi(|d|)$ l'ensemble des classes d'équivalences des représentations irréductibles cuspidales de $GL_g(K)$ de caractère central χ où g décrit les diviseurs de d . Pour $\pi \in \text{Cusp}_\chi(|d|)$, on notera

$$\mathcal{U}_{K,\overline{\mathbb{Q}}_l,d,\pi}^i = \text{Hom}_{\overline{\mathbb{Q}}_l[D_{K,d}^\times]}(\pi[s]_D, \mathcal{U}_{K,\overline{\mathbb{Q}}_l,\chi}^i),$$

avec $\pi[s]_D := \text{JL}^{-1}(\text{St}_s(\pi)^\vee)$ où JL désigne la correspondance de Jacquet-Langlands.

Remarque : comme toute représentation irréductible τ de $D_{K,d}^\times$ de caractère central χ est de la forme $\pi[s]_D$ pour une certaine représentation irréductible cuspidale π de $GL_g(K)$ de caractère central χ , on en déduit que

$$\mathcal{U}_{K,\overline{\mathbb{Q}}_l,\chi}^i \simeq \bigoplus_{\pi \in \text{Cusp}_\chi(|d|)} \mathcal{U}_{K,\overline{\mathbb{Q}}_l,\pi}^i.$$

3.2.5. Théorème. — [8] Pour tout diviseur g de $d = sg$ et toute représentation irréductible cuspidale π de $GL_g(K)$, on a

$$\mathcal{U}_{K,\overline{\mathbb{Q}}_l,d,\pi}^{d-1-i} \simeq \begin{cases} \mathcal{L}(\pi)\left(-\frac{s(g+1)-2(i+1)}{2}\right) \otimes [\overleftarrow{s-1-i}, \overrightarrow{i}]_\pi & 0 \leq i < s \\ 0 & i < 0 \end{cases}$$

où \mathcal{L}^\vee désigne la correspondance de Langlands locale construite dans [13].

3.3. Cohomologie entière et modulaire : énoncé des résultats. — Avec les notations du §3, on se propose de prouver le théorème suivant.

3.3.1. Théorème. — Pour tout $0 \leq i < d$, $\mathcal{U}_{K,\overline{\mathbb{Z}}_l,d,\chi}^i$ est sans torsion et pour toute représentation π irréductible cuspidale de $GL_g(K)$ avec $d = sg$, de caractère central χ , pour tout $1 \leq t \leq s$, on a :

$$\mathcal{U}_{K,\overline{\mathbb{Z}}_l,d,\pi}^{d-t} \simeq \mathcal{L}_{\overline{\mathbb{Z}}_l}(\pi)\left(-\frac{s(g+1)-2t}{2}\right) \otimes RI_{\overline{\mathbb{Z}}_l,+}(\pi, s, t-1)$$

où

- $\mathcal{U}_{K,\overline{\mathbb{Z}}_l,d,\pi}^i := \mathcal{U}_{K,\overline{\mathbb{Q}}_l,d,\pi}^i \cap \mathcal{U}_{K,\overline{\mathbb{Z}}_l,d,\chi}^i$;
- $RI_{\overline{\mathbb{Z}}_l,+}(\pi, s, t-1)$ est défini en 2.2.5 ;
- $\mathcal{L}_{\overline{\mathbb{Z}}_l}(\pi)$ est un réseau stable de $\mathcal{L}(\pi)$.

Par réduction modulo l , on en déduit alors le corollaire suivant.

3.3.2. Corollaire. — Pour tout $0 \leq i < d$, $\mathcal{U}_{K, \overline{\mathbb{F}}_l, d, \chi}^i$ est isomorphe à $\mathcal{U}_{K, \overline{\mathbb{Z}}_l, d, \chi}^i \otimes_{\overline{\mathbb{Z}}_l} \overline{\mathbb{F}}_l$. Ainsi pour toute représentation π irréductible cuspidale de $GL_g(K)$ avec $d = sg$, de caractère central χ , pour tout $1 \leq t \leq s$, on a : $\mathcal{U}_{K, \overline{\mathbb{F}}_l, d, \pi}^{d-t}$ est isomorphe à la réduction modulo l de

$$\mathcal{L}_{\overline{\mathbb{Z}}_l}(\pi) \left(-\frac{s(g+1) - 2t}{2} \right) \otimes RI_{\overline{\mathbb{Z}}_l, +}(\pi, s, t - 1).$$

4. Sur quelques variétés de Shimura simples

Dans ce paragraphe on rappelle les résultats principaux de [8] sur les variétés de Shimura simples associées à des groupes unitaires telles qu'elles sont définies dans [13].

4.1. Notations. — Soit $F = F^+E$ un corps CM, E/\mathbb{Q} quadratique imaginaire pure, dont on fixe un plongement réel $\tau : F^+ \hookrightarrow \mathbb{R}$. Dans [13], les auteurs justifient l'existence d'un groupe unitaire G_τ vérifiant les points suivants :

- $G_\tau(\mathbb{R}) \simeq U(1, d-1) \times U(0, d)^{r-1}$;
- $G_\tau(\mathbb{Q}_p) \simeq (\mathbb{Q}_p^\times) \times \prod_{i=1}^r (B_{v_i}^{op})^\times$ où $v = v_1, v_2, \dots, v_r$ sont les places de F au dessus de la place u de E telle que $p = u^c u$ et où B est une algèbre à division centrale sur F de dimension d^2 vérifiant certaines propriétés, cf. [13], dont en particulier d'être soit décomposée soit une algèbre à division en toute place et décomposée à la place v . On notera en outre w une place de F telle que $G(F_w) \simeq D_{F_w, d}^\times$.

Pour tout sous-groupe compact U^p de $G_\tau(\mathbb{A}^{\infty, p})$ et $m = (m_1, \dots, m_r) \in \mathbb{Z}_{\geq 0}^r$, on pose

$$U^p(m) = U^p \times \mathbb{Z}_p^\times \times \prod_{i=1}^r \text{Ker}(\mathcal{O}_{B_{v_i}}^\times \longrightarrow (\mathcal{O}_{B_{v_i}}/v_i^{m_i})^\times)$$

4.1.1. Définition. — Pour $U^p \ll$ assez petit \gg ⁽¹⁾ on note $X_{U^p(m)}$ « la variété de Shimura associée à $G \gg$ construite dans [13].

Remarque : $X_{U^p(m)}$ est un schéma projectif sur $\text{Spec } \mathcal{O}_v$ tel que quand U varie, les $X_{U^p(m)}$ forment un système projectif dont les morphismes de transition sont finis et plats : quand $m_1 = m'_1$ ils sont en plus étales. Le système projectif $(X_{U^p(m)})_{U^p, m}$ est naturellement muni d'une action de $G_\tau(\mathbb{A}^\infty)$.

Notons \mathcal{I} l'ensemble des sous-groupes compacts ouverts « assez petits » de \mathbb{G} , de la forme $U^p(m)$ et donc muni d'une application $m_1 : \mathcal{I} \longrightarrow \mathbb{N}$.

4.1.2. Proposition. — Le système projectif $X_{\mathcal{I}} = (X_I)_{I \in \mathcal{I}}$ définit un schéma de Hecke au sens de [8], où les morphismes de restriction du niveau $r_{J, I} : X_J \rightarrow X_I$ sont finis et plats.

Remarque : si $m_1(J) = m_1(I)$ alors $r_{J, I}$ est étale.

Pour $I \in \mathcal{I}$, on note $X_{I, s}$ la fibre spéciale de X_I et $X_{I, \overline{s}} := X_{I, s} \times \text{Spec } \overline{\mathbb{F}}_p$ la fibre spéciale géométrique. Pour tout $0 \leq h \leq d-1$, on dispose d'une strate fermée (resp. ouverte) notée $X_{I, \overline{s}}^{[h]}$ (resp. $X_{I, \overline{s}}^{(h)}$) de pure dimension h ; le système projectif associé définit alors un schéma de Hecke $X_{\mathcal{I}, \overline{s}}^{[h]}$ (resp. $X_{\mathcal{I}, \overline{s}}^{(h)}$) pour $\mathbb{G} = G(\mathbb{A}^\infty)$, [13] III.4.4.

Remarque : dans le cas de bonne réduction, i.e. $m_1 = 0$, $X_{I, \overline{s}}^{\geq d-h}$ est lisse.

4.1.3. Proposition. — (cf. [15]) Pour tout $0 < h < d$, la strate $X_{I, \overline{s}}^{(h)}$ est affine.

1. tel qu'il existe une place x pour laquelle la projection de U^p sur $G(\mathbb{Q}_x)$ ne contienne aucun élément d'ordre fini autre que l'identité, cf. [13] bas de la page 90

4.1.4. Proposition. — (cf. [13] p.116) Pour tout $0 < h < d$, les strates $X_{I,\bar{s}}^{(h)}$ sont géométriquement induites sous l'action du parabolique $P_{d-h,d}(\mathcal{O}_v)$, au sens où il existe un sous-schéma fermé $X_{I,\bar{s},1}^{(h)}$ tel que :

$$X_{I,\bar{s}}^{(h)} \simeq X_{I,\bar{s},1}^{(h)} \times_{P_{d-h,d}(\mathcal{O}_v/v^{m_1})} GL_d(\mathcal{O}_v/v^{m_1}).$$

On notera $X_{I,\bar{s},1}^{[h]}$ l'adhérence de $X_{I,\bar{s},1}^{(h)}$ dans $X_{I,\bar{s}}^{[h]}$. Le système projectif $(X_{I,\bar{s},1}^{(h)})_{I \in \mathcal{I}}$ définit un schéma de Hecke $X_{\mathcal{I},\bar{s},1}^{(h)}$ pour $\mathbb{G} = G(\mathbb{A}^{\infty,v}) \times P_{d-h,d}(K)$ et $\mathcal{I}_h = \mathcal{I} \cap \mathbb{G}$, où \mathbb{G} agit à travers son quotient $G(\mathbb{A}^{\infty,v}) \times \mathbb{Z} \times GL_h(K)$ donné par l'application $\begin{pmatrix} g_v^c & * \\ 0 & g_v^{et} \end{pmatrix} \mapsto (v(\det g_v^c), g_v^{et})$. Par ailleurs l'action d'un élément $w_v \in W_v$ est donnée par l'action de $-\deg(w_v)$ où \deg est la composée du caractère non ramifié de W_v , qui envoie les Frobenius géométriques sur les uniformisantes, avec la valuation v de K .

4.1.5. Définition. — Soit H_0/\mathbb{Q} le groupe algébrique forme intérieure de G telle que $H_0(\mathbb{R})$ est compact et $H_0(\mathbb{A}^\infty) \simeq G(\mathbb{A}^{\infty,p}) \times D_{v,d}^\times \times \prod_{i=2}^r (B_{v_i}^{op})^\times$, où $D_{v,d}^\times$ est l'algèbre à division centrale sur F_v d'invariant $1/d$. On notera de même H_1/\mathbb{Q} la forme intérieure de G telle que $H_1(\mathbb{R})$ est compact et $H_1(\mathbb{A}^\infty) \simeq G(\mathbb{A}^{\infty,w}) \times GL_d(F_w)$.

4.2. Faisceaux pervers dits d'Harris-Taylor. — En ce qui concerne la notion de faisceau de Hecke, on renvoie le lecteur à [8]. À toute représentation irréductible admissible τ_v de $D_{v,h}^\times$, on associe un système local de Hecke $\mathcal{F}_{\tau_v, \mathcal{I}, 1}$ sur $X_{\mathcal{I},\bar{s},1}^{\leq h}$ pour le groupe

$$G(\mathbb{A}^{\infty,p}) \times \mathbb{Q}_p^\times \times (\mathbb{Z} \times GL_{d-h}(F_v))^+ \times \prod_{i=2}^r (B_{v_i}^{op})^\times \times D_{v,h}^\times / \mathcal{D}_{v,h}^\times$$

dont l'action, cf. [13] p.136, se factorise par $G^{(h)}(\mathbb{A}^\infty) / \mathcal{D}_{F_v,h}^\times$ avec

$$(g^{\infty,p}, g_{p,0}, c, g_v^{et}, g_{v_i}, \delta) \mapsto (g^{p,\infty}, g_{p,0} q^{v(\det \delta) - c}, \delta, g_v^{et}, g_{v_i}). \quad (4.2.1)$$

On note $\mathcal{F}_{\tau_v, \mathcal{I}, 1}$ le faisceau sur $X_{\mathcal{I},\bar{s}}^{\leq h}$ induit associé :

$$\mathcal{F}_{\tau_v, \mathcal{I}} := \mathcal{F}_{\tau_v, \mathcal{I}, 1} \times_{P_{h,d}(F_v)} GL_d(F_v).$$

Remarque : $\mathcal{F}_{\tau_v, \mathcal{I}}$ se présente sous la forme d'une somme directe de e_{τ_v} faisceaux de Hecke irréductibles $\mathcal{F}_{\tau_v, \mathcal{I}} = \bigoplus_{i=1}^{e_{\tau_v}} \mathfrak{F}_{\rho_{v,i}, \mathcal{I}}$ où $(\tau_v)|_{\mathcal{D}_{v,h}^\times} = \bigoplus_{i=1}^{e_{\tau_v}} \rho_{v,i}$ avec $\rho_{v,i}$ irréductible.

On considère les flèches suivantes de schémas de Hecke

$$i_{\mathcal{I}}^h : X_{\mathcal{I},\bar{s}}^{\geq h} \hookrightarrow X_{\mathcal{I},\bar{s}} = X_{\mathcal{I},\bar{s}}^{\geq 1}, \quad j_{\mathcal{I}}^{\geq h} : X_{\mathcal{I},\bar{s}}^{\leq h} \hookrightarrow X_{\mathcal{I},\bar{s}}^{\geq h}, \quad j_{\mathcal{I},1}^{\geq h} : X_{\mathcal{I},\bar{s},1}^{\leq h} \hookrightarrow X_{\mathcal{I},\bar{s},1}^{\geq h}$$

Dans la suite pour $1 \leq g \leq d$, s désignera la partie entière de d/g et t un entier strictement positif inférieur ou égal à s . Par ailleurs π_v désignera une représentation irréductible cuspidale de $GL_g(F_v)$.

4.2.2. Définitions. — — Soit $\mathcal{F}(\pi_v, t)_1$ (resp. $\mathcal{F}(\pi_v, t)$) le faisceau de Hecke sur $X_{\mathcal{I},\bar{s},1}^{\leq tg}$ (resp. $X_{\mathcal{I},\bar{s}}^{\leq tg}$) précédemment noté $\mathcal{F}_{\pi_v[t]_D, \mathcal{I}, 1}$ (resp. $\mathcal{F}_{\pi_v[t]_D, \mathcal{I}}$).
— Pour Π_t une représentation de $GL_{tg}(F_v)$, on note $HT(\pi_v, \Pi_t)$ le W_v -faisceau pervers de Hecke sur $X_{\mathcal{I},\bar{s}}^{\leq tg}$ pour $G(\mathbb{A}^\infty)$ défini par

$$H(\pi_v, \Pi_t) := \mathcal{F}(\pi_v, t)[d - tg] \otimes \Xi^{\frac{tg-d}{2}} \otimes \Pi_t,$$

où l'action se déduit par induction par celle de

$$(g^p, g_{p,0}, c, g_v^{et}, g_{v_i}, g_v^c, \sigma) \in$$

$$G(\mathbb{A}^{\infty,p}) \times \mathbb{Q}_p^\times \times (\mathbb{Z} \times GL_{d-tg}(F_v))^+ \times \prod_{i=2}^r (B_{v_i}^{op})^\times \times GL_{tg}(F_v) \times W_v$$

sur le faisceau non induit, via

- $(g^p, g_p, 0q^{-c+v(\det g_v^c)-\deg \sigma}, \gamma, g^{et}, g_{v_i}) \in G^{(tg)}(\mathbb{A}^\infty)/\mathcal{D}_{v,tg}^\times$ sur $\mathcal{F}(t, \pi_v)$ où $\gamma \in D_{v,tg}^\times/\mathcal{D}_{v,tg}^\times$ est tel que $v(\text{rn}\gamma) = v(\det g_v^c) - \deg \sigma$;
- g_v^c sur Π_t ,

et où comme précédemment le radical unipotent de $P_{tg,d}(F_v)$ agit trivialement.

Remarque : l'action de W_v sur ces faisceaux d'Harris-Taylor se factorise par l'application \deg ; dans [8] on a choisi de les considérer comme des \mathbb{Z} -faisceaux de Hecke de sorte que l'action de $c_v \in W_v$ est donnée par celle de $(q^{-\deg c_v}, \deg c_v) \in \mathbb{Q}_p^\times \times \mathbb{Z}$.

- On note $\mathcal{P}(t, \pi_v)$ le W_v -faisceaux pervers de Hecke sur $X_{\mathcal{I},\bar{s}}^{\geq 1}$ de support $X_{\mathcal{I},\bar{s}}^{\geq h}$ et de poids zéro défini par

$$i_{\mathcal{I},*}^{\geq tg} j_{\mathcal{I},!}^{\geq tg} HT(\pi_v, \text{St}_t(\pi_v)) \otimes \mathfrak{L}(\pi_v).$$

L'action de $G(\mathbb{A}^\infty) \times W_v$ sur $\mathcal{P}(t, \pi_v)$ se définit par induction en faisant agir

$$(g^p, g_p, 0, g_v^c, g_v^{et}, g_{v_i}, \sigma) \in G(\mathbb{A}^{\infty,p}) \times \mathbb{Q}_p^\times \times GL_{tg}(F_v) \times GL_{d-tg}(F_v) \times \prod_{i=2}^r (B_{v_i}^{op})^\times \times W_v$$

via l'action de :

- $(g^p, g_p, 0q^{-\deg \sigma}, \gamma, g_v^{et}, g_{v_i}) \in G^{(tg)}(\mathbb{A}^\infty)/\mathcal{D}_{v,tg}^\times$ sur $\mathcal{F}(t, \pi_v)$ où $\gamma \in D_{v,tg}^\times$ est tel que $v(\text{rn}\delta) = v(\det g_v^c) - \deg \sigma$;
- (g_v^c, σ) sur $\text{St}_t(\pi_v) \otimes \mathfrak{L}(\pi_v)$.

Remarque : on notera aussi que $\mathcal{P}(t, \pi_v)$ ne dépend, en tant que W_v -faisceau pervers de Hecke, que de la classe d'équivalence inertielle de π_v .

Pour tout $J \in \mathcal{I}$, les faisceaux pervers des cycles évanescents $R\Psi_{\eta_v, J}(\overline{\mathbb{Q}}_l)[d-1](\frac{d-1}{2})$ sur $X_{J,\bar{s}}$ définissent un W_v -faisceau pervers de Hecke, au sens de la définition 1.3.6 de [8], que l'on note $\Psi_{\overline{\mathbb{Q}}_l, \mathcal{I}}$. Via la notion de variété d'Igusa de seconde espèce, pour tout $0 \leq h < d$ et τ_v une $\overline{\mathbb{Q}}_l$ -représentation irréductible de $D_{v,h}^\times$, on définit un système local de Hecke $\mathcal{F}_{\overline{\mathbb{Q}}_l, \mathcal{I}}(\tau_v)$ au sens de [8], dit de Harris-Taylor, pour le groupe $G(\mathbb{A}^\infty) \times D_{v,d-h}^\times/\mathcal{D}_{v,d-h}^\times$, muni d'une action compatible de W_v . La version faisceutique du théorème de Serre-Tate s'exprime alors, cf. la proposition IV.2.2 de [13], sous la forme d'un isomorphisme $G(\mathbb{A}^\infty) \times W_v$ -équivariant :

$$\Psi_{\overline{\mathbb{Q}}_l, \mathcal{I}} \simeq \mathcal{F}_{\overline{\mathbb{Q}}_l, \mathcal{I}} \left(\Psi_{F_v, \overline{\mathbb{Q}}_l, d} \right). \quad (4.2.3)$$

Le faisceau pervers de Hecke $\Psi_{\overline{\mathbb{Q}}_l, \mathcal{I}}$ est muni d'une action du groupe de Weil W_v ; par définition de l'opérateur de monodromie N , l'application $\tilde{\gamma} : i \in I_v \mapsto \gamma(i) \exp(-t_l(i)N)$, définit une action localement constante de I_v sur $\Psi_{\overline{\mathbb{Q}}_l, \mathcal{I}}$ qui définit alors un morphisme de $\overline{\mathbb{Q}}_l$ -algèbres $\mathcal{H}_{\overline{\mathbb{Q}}_l}(I_v) \rightarrow \text{End}_{\text{FPHG}(\mathbb{X}_{\mathcal{I}})}(P)$ où $\mathcal{H}_{\overline{\mathbb{Q}}_l}(I_v)$ désigne l'algèbre des distributions localement constantes sur I_v .

4.2.4. Définition. — Pour π_v une représentation irréductible cuspidale de $GL_g(F_v)$, on notera $\Psi_{\overline{\mathbb{Q}}_l, \mathcal{I}, \pi_v}$ et on l'appellera la composante π_v -isotypique de P , la somme des facteurs découpés via $\tilde{\gamma}$ par les idempotents de $\mathcal{H}_{\overline{\mathbb{Q}}_l}(I_v)$ associés aux sous- I_v -représentations irréductibles de la restriction à I_v de la représentation $\mathcal{L}(\pi_v)$ de W_v associée à π_v^\vee par la correspondance de Langlands locale.

Soit $\Delta(\pi_v[t]_D)$ un ensemble de e_{π_v} d'éléments $\delta \in D_{v,tg}^\times$ tel que les $v(\text{rn}\delta)$ forment un système de représentants de $\mathbb{Z}/e_{\pi_v}\mathbb{Z}$; pour V un $\mathcal{D}_{v,tg}^\times$ -module, on notera

$$\text{Ind}_1^{\mathbb{Z}/e_{\pi_v}\mathbb{Z}} V = \bigoplus_{\delta \in \Delta(\pi_v[t]_D)} V^\delta$$

où l'action de $\delta_0 \in D_{v,tg}^\times$ sur $V^\delta := V$ est donnée par celle de $\delta \circ \delta_0 \circ \delta^{-1}$. Avec ces notations, l'isomorphisme $G(\mathbb{A}^\infty) \times D_{v,tg}^\times/\mathcal{D}_{v,tg}^\times$ -équivariant du bas de la page 138 de [13] combiné à l'isomorphisme 4.2.3

$$\left(\Psi_{\overline{\mathbb{Q}}_l, \mathcal{I}, \pi_v}^{e_{\pi_v}} \right)_{|X_{\mathcal{I},\bar{s}}^{(d-tg)}} \simeq \mathcal{F}_{\overline{\mathbb{Q}}_l}(t, \pi_v) \otimes \mathcal{U}_{F_v, l, tg}^{d-1+\bullet}(\pi_v[t]_D) \quad (4.2.5)$$

induit sur la fibre en tout point géométrique z de $X_{\mathcal{I},\bar{s}}^{(d-tg)}$, un isomorphisme $\mathcal{D}_{v,tg}^\times$ -équivariant

$$\mathrm{Ind}_1^{\mathbb{Z}/e_{\pi_v}\mathbb{Z}} z^* \Psi_{\overline{\mathbb{Q}}_l, \mathcal{I}, \pi_v} \simeq \mathrm{Ind}_1^{\mathbb{Z}/e_{\pi_v}\mathbb{Z}} z^* \mathcal{F}_{\overline{\mathbb{Q}}_l}(t, \pi_v) \otimes \mathcal{U}_{F_v, t, tg}^{d-1+\bullet}(\pi_v[t]_D). \quad (4.2.6)$$

4.3. Résultats globaux de [8]. — Fixons un entier $1 \leq g \leq d$ ainsi qu'une $\overline{\mathbb{Q}}_l$ -représentation irréductible cuspidale π_v de $GL_g(F_v)$; on note encore s_g la partie entière de d/g . On renvoie à [8] pour la définition du groupe de Grothendieck \mathfrak{G} des W_v -faisceaux pervers de Hecke.

4.3.1. Théorème. — *On a l'égalité suivante dans \mathfrak{G} :*

$$e_{\pi_v}[\Psi_{\overline{\mathbb{Q}}_l, \mathcal{I}, \pi_v}] = \sum_{k=1-s_g}^{s_g-1} \sum_{\substack{|k| < t \leq s_g \\ t \equiv k-1 \pmod{2}}} \mathcal{P}_{\overline{\mathbb{Q}}_l}(t, \pi_v)\left(-\frac{k}{2}\right).$$

En ce qui concerne les faisceaux de cohomologie des faisceaux pervers d'Harris-Taylor, on utilisera le résultat suivant.

4.3.2. Théorème. — *Pour tout $1 \leq t \leq s_g$, soit Π_t une représentation quelconque de $GL_{tg}(F_v)$. La restriction à $X_{\mathcal{I},\bar{s}}^{(d-h)}$ de $h^i j_{!*}^{\geq tg} HT_{\overline{\mathbb{Q}}_l}(\pi_v, \Pi_t)$ vérifie les points suivants ;*

- elle est nulle pour h ne s'écrivant pas sous la forme $(t+a)g$ avec $0 \leq a \leq s_g - t$;
- pour $h = (t+a)g$ avec $0 \leq a \leq s_g - t$, elle est nulle pour $i \neq tg - d + a(g-1)$ et sinon elle est isomorphe à $HT_{\overline{\mathbb{Q}}_l}(\pi_v, \Pi_t \overrightarrow{\times} [a-1]_{\pi_v}) \otimes \Xi^{\frac{a(g-1)}{2}}$,

où $\Xi : \mathbb{Z} \rightarrow \overline{\mathbb{Q}}_l^\times$ désigne le caractère défini par $\Xi(1) = \frac{1}{q}$

Remarque : en particulier pour $g > 1$, $h^i j_{!*}^{\geq tg} HT_{\overline{\mathbb{Q}}_l}(\pi_v, \Pi_t)$ est nul pour i ne s'écrivant pas sous la forme $tg - d + a(g-1)$ avec $0 \leq a \leq s_g - t$ et pour un tel $i = tg - d + a(g-1)$ il est isomorphe à $j_!^{\geq (t+a)g} \widetilde{HT}_{\overline{\mathbb{Q}}_l}(\pi_v, \Pi_t \overrightarrow{\times} [a-1]_{\pi_v}) \otimes \Xi^{\frac{a(g-1)}{2}}$. On utilisera en fait surtout la version groupe de Grothendieck donnée par la proposition suivante.

4.3.3. Proposition. — *(cf. [8] proposition 4.3.1 et corollaire 5.4.1) Pour tout $1 \leq t \leq s$, on a l'égalité dans \mathfrak{G} :*

$$i_{\mathcal{I},*}^{tg} j_{\mathcal{I},!}^{\geq tg} HT(\pi_v, \Pi_t) = i_{\mathcal{I},*}^{tg} j_{\mathcal{I},!}^{\geq tg} HT(\pi_v, \Pi_t) + \sum_{i=1}^{s-t} i_{\mathcal{I},*}^{(t+i)g} j_{\mathcal{I},!}^{\geq (t+i)g} HT(\pi_v, \Pi_t \overrightarrow{\times} [i-1]_{\pi_v})(i/2). \quad (4.3.4)$$

5. Faisceaux pervers entiers et théories de torsion

Dans ce paragraphe, \mathbb{K} désigne une extension finie de \mathbb{Q}_l , d'anneau des entiers \mathbb{O} et de corps résiduel $\mathbb{F} = \mathbb{O}/(\varpi)$; la lettre Λ désignera l'un de ces trois ensembles. On commence par rappeler, d'après [16], quelques résultats sur les faisceaux pervers à coefficients entiers, puis, étant donné un faisceau pervers entier, on construit des filtrations dites de stratification perverse. On applique enfin ces constructions aux $\overline{\mathbb{Z}}_l$ -faisceaux pervers d'Harris-Taylor et au faisceau pervers des cycles évanescents.

5.1. Théories de torsion. — Une théorie de torsion, cf.[16] 1.3.1, sur une catégorie abélienne \mathcal{A} est un couple $(\mathcal{T}, \mathcal{F})$ de sous-catégories pleines tel que :

- pour tout objet T dans \mathcal{T} et F dans \mathcal{F} , on a

$$\mathrm{Hom}_{\mathcal{A}}(T, F) = 0;$$

- pour tout objet A de \mathcal{A} , il existe des objets T et F de respectivement \mathcal{T} et \mathcal{F} , ainsi qu'une suite exacte courte

$$0 \rightarrow T \rightarrow A \rightarrow F \rightarrow 0.$$

Remarque : \mathcal{T} (resp. \mathcal{F}) est stable par quotients et extensions (resp. sous-objets et extensions). On dira de $(\mathcal{T}, \mathcal{F})$ est une théorie de torsion *héréditaire* (resp. *co-héréditaire*) si \mathcal{T} (resp. \mathcal{F}) est stable par sous-objets (resp. par quotients).

Dans une catégorie abélienne \mathcal{A} qui est \mathbb{O} -linéaire, un objet A de \mathcal{A} est dit de torsion (resp. libre, resp. divisible) si $\varpi^N 1_A$ est nul pour un certain entier N (resp. $\varpi \cdot 1_A$ est un monomorphisme, resp. un épimorphisme).

5.1.1. Proposition. — (cf. [16] 1.3.5) Soit \mathcal{A} une catégorie abélienne \mathbb{O} -linéaire ; on note \mathcal{T} (resp. \mathcal{F} , resp. \mathcal{Q}) la sous-catégorie pleine des objets de torsion (resp. libres, resp. divisibles) de \mathcal{A} . Si \mathcal{A} est noethérienne (resp. artinienne) alors $(\mathcal{T}, \mathcal{F})$ (resp. $(\mathcal{Q}, \mathcal{T})$) est une théorie de torsion héréditaire (resp. co-héréditaire) sur \mathcal{A} .

Remarque : ainsi dans une catégorie abélienne \mathbb{O} -linéaire noethérienne (resp. artinienne) tout objet A admet un plus grand sous-objet de torsion A_{tor} (resp. divisible A_{div}) de sorte que A/A_{tor} (resp. A/A_{div}) est sans torsion (resp. de torsion) et $\mathbb{K}A \simeq \mathbb{K}(A/A_{tor})$ (resp. $\mathbb{K}A \simeq \mathbb{K}A_{div}$).

5.1.2. Notations. — Soit \mathcal{D} une catégorie triangulée munie d'une t -structure $(\mathcal{D}^{\leq 0}, \mathcal{D}^{\geq 0})$ au sens de [2] définition 1.3.1 ; on notera :

- \mathcal{C} le coeur ;
- $\tau_{\leq n}$ et $\tau_{\geq n}$, les foncteurs de troncation ;
- $h^n := \tau_{\leq n} \tau_{\geq n} = \tau_{\geq n} \tau_{\leq n}$.

On rappelle qu'un foncteur triangulé $T : \mathcal{D}_1 \rightarrow \mathcal{D}_2$ est dit t -exact à droite (resp. à gauche), si $T(\mathcal{D}_1^{\leq 0}) \subset \mathcal{D}_2^{\leq 0}$ (resp. $T(\mathcal{D}_1^{\geq 0}) \subset \mathcal{D}_2^{\geq 0}$) et t -exact s'il est t -exact à droite et à gauche.

5.1.3. Notation. — Pour $T : \mathcal{D}_1 \rightarrow \mathcal{D}_2$ un foncteur triangulé, on note ${}^p T := h^0 \circ T \circ \epsilon_1$, où $\epsilon_1 : \mathcal{C}_1 \rightarrow \mathcal{D}_1$ est l'inclusion du coeur.

On rappelle que si (T^*, T_*) est une paire de foncteurs triangulés adjoints, alors T^* est t -exact à droite si et seulement si T_* est t -exact à gauche et alors $({}^p T^*, {}^p T_*)$ est une paire de foncteurs adjoints de \mathcal{C}_1 et \mathcal{C}_2 .

5.1.4. Corollaire. — (cf. [16] 1.3.6) Si \mathcal{C} est munie d'une théorie de torsion $(\mathcal{T}, \mathcal{F})$ alors

$$\begin{aligned} {}^+ \mathcal{D}^{\leq 0} &:= \{A \in \mathcal{D}^{\leq 1} : h^1(A) \in \mathcal{T}\} \\ {}^+ \mathcal{D}^{\geq 0} &:= \{A \in \mathcal{D}^{\geq 0} : h^0(A) \in \mathcal{F}\} \end{aligned}$$

définissent une nouvelle t -structure sur \mathcal{D} , qui est en outre munie d'une théorie de torsion $(\mathcal{F}, \mathcal{T}[-1])$.

Remarque : on retrouve la t -structure p à partir de $p+$ via les formules :

$$\begin{aligned} \mathcal{D}^{\leq 0} &:= \{A \in {}^+ \mathcal{D}^{\leq 0} : {}^+ h^0(A) \in \mathcal{F}\} \\ \mathcal{D}^{\geq 0} &:= \{A \in {}^+ \mathcal{D}^{\geq -1} : {}^+ h^{-1}(A) \in \mathcal{T}\} \end{aligned}$$

de sorte que ${}^{++} \mathcal{C} = \mathcal{C}[-1]$.

5.1.5. Notation. — Pour $T : \mathcal{D}_1 \rightarrow \mathcal{D}_2$ un foncteur triangulé, on notera ${}^{p+} T := {}^+ h^0 \circ T \circ \epsilon_1$.

Exemple : reprenons l'exemple d'une catégorie linéaire \mathbb{O} -linéaire et supposons \mathcal{C} noethérienne munie de la théorie de torsion $(\mathcal{T}, \mathcal{F})$ où \mathcal{T} (resp. \mathcal{F}) est la sous-catégorie pleine des objets de torsion (resp. libres) de \mathcal{C} . Pour $L \in \mathcal{F}$, $\varpi 1_L$ est un monomorphisme dans \mathcal{C} et on a la suite exacte courte dans \mathcal{C} :

$$0 \rightarrow L \xrightarrow{\varpi 1_L} L \rightarrow \text{Coker}_{\mathcal{C}} \varpi 1_L \rightarrow 0.$$

Comme \mathcal{C} est une sous-catégorie abélienne admissible de \mathcal{D} , cette suite exacte provient d'un triangle distingué dans \mathcal{D}

$$L \xrightarrow{\varpi 1_L} L \rightarrow \text{Coker}_{\mathcal{C}} \varpi 1_L \rightsquigarrow$$

qui après rotation

$$\mathrm{Coker}_{\mathcal{C}} \varpi_{1L}[-1] \rightarrow L \xrightarrow{\varpi_{1L}} L \rightsquigarrow$$

devient un triangle distingué dont les objets sont dans ${}^+\mathcal{C}$, ce qui donne une suite exacte courte dans ${}^+\mathcal{C}$

$$0 \rightarrow \mathrm{Coker}_{\mathcal{C}} \varpi_{1L}[-1] \rightarrow L \xrightarrow{\varpi_{1L}} L \rightarrow 0$$

de sorte que ϖ_{1L} est désormais un épimorphisme dans ${}^+\mathcal{C}$ de noyau

$$\mathrm{Ker}_{\mathcal{C}} \varpi_{1L} = \mathrm{Coker}_{\mathcal{C}} \varpi_{1L}[-1].$$

5.1.6. Corollaire. — Soit $A \in \mathcal{D}^{\leq 0} \cap {}^+\mathcal{D}^{\geq 0}$ alors $A \in \mathcal{C} \cap {}^+\mathcal{C}$.

Démonstration. — Cela découle directement des liens entre les deux t -structures considérées. \square

5.1.7. Proposition. — Soit $i : A \hookrightarrow X$ une inclusion dans \mathcal{C} avec A et X sans torsion dans \mathcal{C} ; il existe alors une unique factorisation $A \rightarrow B \rightarrow X$ de f dans \mathcal{C} telle que :

- B est sans torsion dans \mathcal{C} ;
- le conoyau de $B \rightarrow X$ dans \mathcal{C} soit sans torsion;
- le conoyau de $A \rightarrow B$ dans \mathcal{C} est de torsion.

On appellera B le saturé de i lequel est alors obtenu comme l'image de i dans ${}^+\mathcal{C}$.

Démonstration. — Vérifions tout d'abord que $B = \mathrm{Im}_{+C} i$ convient; comme B est le quotient dans ${}^+\mathcal{C}$ de A qui est divisible dans ${}^+\mathcal{C}$, on en déduit que B est sans torsion dans ${}^+\mathcal{C}$ et appartient donc aussi à \mathcal{C} . Ainsi comme i est injective dans \mathcal{C} on en déduit que A est un sous-objet de B dans \mathcal{C} .

Considérons la suite exacte courte de ${}^+\mathcal{C} : 0 \rightarrow X \rightarrow D \rightarrow 0$ où D en tant que quotient dans ${}^+\mathcal{C}$ d'un objet divisible, est sans torsion et donc un objet de \mathcal{C} . Le triangle distingué associé est alors constitué d'objets de \mathcal{C} et donc une suite exacte courte dans \mathcal{C} avec donc D sans torsion.

De même considérons la suite exacte courte $0 \rightarrow A \rightarrow B \rightarrow E \rightarrow 0$ dans \mathcal{C} où E est un objet de \mathcal{C} . On obtient alors un triangle distingué $E[1] \rightarrow A \rightarrow B \rightsquigarrow$ associé à la surjection dans ${}^+\mathcal{C} : A \rightarrow B$ de sorte que $D[1]$ est un objet de ${}^+\mathcal{C}$ et donc D est un objet de torsion de \mathcal{C} .

Considérons alors B' une autre factorisation vérifiant les conditions de l'énoncé; comme précédemment on a $A \hookrightarrow B'$ dans \mathcal{C} et donc une suite exacte courte $0 \rightarrow A \rightarrow B' \rightarrow E' \rightarrow 0$ avec par hypothèse E' de torsion de sorte que dans ${}^+\mathcal{C}$, $A \rightarrow B'$ est surjective. La propriété de l'octaèdre donne alors que le cône D' de $B' \rightarrow X$ est un objet de \mathcal{C} : en effet son h^{-1} s'injecte dans E' et aussi dans B il est donc libre et de torsion et donc nul. Ainsi donc $B \hookrightarrow X$ dans \mathcal{C} avec un conoyau sans torsion. Ainsi la suite exacte courte dans $\mathcal{C} : 0 \rightarrow B \rightarrow X \rightarrow D \rightarrow 0$ est aussi une suite exacte courte dans ${}^+\mathcal{C}$ et d'après la propriété universelle de l'image, on a $\mathrm{Im}_{+C} f \hookrightarrow B'$ dans ${}^+\mathcal{C}$; ainsi comme dans ${}^+\mathcal{C}$, $A \rightarrow B'$ est surjective, on a bien $B' = \mathrm{Im}_{+C} f$. \square

5.1.8. Corollaire. — Soit $f : A \rightarrow X$ une flèche entre objets sans torsion de \mathcal{C} alors $\mathrm{Im}_{\mathcal{C}} f$ est un sous-objet dans \mathcal{C} de $B = \mathrm{Im}_{+C} f$ avec :

- B un objet sans torsion de \mathcal{C} ;
- dans \mathcal{C} , $B \hookrightarrow X$ avec X/B sans torsion.

Démonstration. — On prend $i : A' = \mathrm{Im}_{\mathcal{C}} f \hookrightarrow X$ dont on prend le saturé; pour affirmer que ce saturé est $B = \mathrm{Im}_{+C} f$ il suffit de voir que :

- B est sans torsion dans \mathcal{C} ;
- $B \hookrightarrow X$ dans \mathcal{C} avec X/B sans torsion dans \mathcal{C} ;
- $A' \hookrightarrow B$ dans \mathcal{C} avec B/A' de torsion.

Le premier point découle simplement du fait que B est un quotient dans ${}^+\mathcal{C}$ de A' qui est un objet sans torsion de ${}^+\mathcal{C}$. La suite exacte courte dans ${}^+\mathcal{C} : 0 \rightarrow B \rightarrow X \rightarrow D \rightarrow 0$, comme X est divisible sans ${}^+\mathcal{C}$, montre que D est sans torsion dans ${}^+\mathcal{C}$ et appartient donc à \mathcal{C} de sorte que la

suite précédente est aussi une suite exacte courte de \mathcal{C} ce qui montre le deuxième point. D'après la propriété universelle de l'image, on en déduit que $A' \hookrightarrow B$ dans \mathcal{C} et comme la flèche $A \rightarrow A' \hookrightarrow B$ dans \mathcal{C} est surjective dans ${}^+\mathcal{C}$, on obtient B/A' de torsion dans \mathcal{C} , d'où le résultat. \square

5.2. Recollement. — On suppose données trois catégories triangulées \mathcal{D} , \mathcal{D}_U et \mathcal{D}_F ainsi que des foncteurs triangulés

$$i_* : \mathcal{D}_F \rightarrow \mathcal{D}, \quad j^* : \mathcal{D} \rightarrow \mathcal{D}_U$$

vérifiant les conditions de recollement de [2] §1.4.3

1. i_* possède un adjoint à gauche noté i^* et un adjoint à droite $i^!$;
2. j^* possède un adjoint à gauche $j_!$ et un adjoint à droite j_* ;
3. on a $j^*i_* = 0$ et donc par adjonction $i^*j_! = 0$ et $i^!j_* = 0$; en outre pour $A \in \mathcal{D}_F$ et $B \in \mathcal{D}_U$

$$\mathrm{Hom}(j_!B, i_*A) = 0 \text{ et } \mathrm{Hom}(i_*, j_*B) = 0;$$

4. pour tout $K \in \mathcal{D}$, il existe $d : i_*i^*K \rightarrow j_!j^*K[1]$ (resp. $d : j_*j^*K \rightarrow i_*i^!K[1]$), nécessairement unique, tel que le triangle

$$j_!j^*K \rightarrow K \rightarrow i_*i^*K \rightsquigarrow^d \quad (\text{resp. } i_*i^!K \rightarrow K \rightarrow j_*j^*K \rightsquigarrow^d)$$

soit distingué ;

5. les foncteurs i_* , $j_!$ et j_* sont pleinement fidèles : les morphismes d'adjonction

$$i^*i_* \rightarrow \mathrm{Id} \rightarrow i^!i_* \text{ et } j^*j_* \rightarrow \mathrm{Id} \rightarrow j^*j_!$$

sont des isomorphismes.

Remarque : on résume les propriétés précédentes en un diagramme

$$\begin{array}{ccc} \xleftarrow{i^!} & & \xleftarrow{j_*} \\ \mathcal{D}_F \xrightarrow{i_*} & \mathcal{D} & \xrightarrow{j^*} \mathcal{D}_U \\ \xleftarrow{i^*} & & \xleftarrow{j_!} \end{array}$$

que l'on qualifie de *situation de recollement*.

Remarque : en considérant les catégories opposées triangulées via $[-1]$, en échangeant les rôles de i^* et $i^!$ (resp. $j_!$ et j_*), la situation

$$\begin{array}{ccc} \xleftarrow{i^*} & & \xleftarrow{j^!} \\ \mathcal{D}_F^{op} \xrightarrow{i_*} & \mathcal{D}^{op} & \xrightarrow{j^*} \mathcal{D}_U^{op} \\ \xleftarrow{i^!} & & \xleftarrow{j_*} \end{array}$$

est encore de recollement. Elle est dite formellement duale de la précédente.

Étant donnée des t -structures $(\mathcal{D}_U^{\leq 0}, \mathcal{D}_U^{\geq 0})$ sur \mathcal{D}_U et $(\mathcal{D}_F^{\leq 0}, \mathcal{D}_F^{\geq 0})$ sur \mathcal{D}_F , on définit une t -structure sur \mathcal{D} par recollement :

$$\begin{aligned} \mathcal{D}^{\leq 0} &:= \{K \in \mathcal{D} : j^*K \in \mathcal{D}_U^{\leq 0} \text{ et } i^*K \in \mathcal{D}_F^{\leq 0}\} \\ \mathcal{D}^{\geq 0} &:= \{K \in \mathcal{D} : j^*K \in \mathcal{D}_U^{\geq 0} \text{ et } i^!K \in \mathcal{D}_F^{\geq 0}\}. \end{aligned}$$

Remarque : en recollant la t -structure de \mathcal{D}_F (resp. \mathcal{D}_U) avec la t -structure dégénérée $(\mathcal{D}_U, 0)$ de \mathcal{D}_U (resp. $(\mathcal{D}_F, 0)$ de \mathcal{D}_F), on obtient des foncteurs de troncation notés $\tau_{\leq n}^F$ (resp. $\tau_{\leq n}^U$) dont les foncteurs cohomologiques sont $i_*h_F^n i^*$ (resp. $j_*h_U^n j^*$). Dualement pour la t -structure dégénérée $(0, \mathcal{D}_U)$ (resp. $(0, \mathcal{D}_F)$), on obtient $\tau_{\geq n}^F$ (resp. $\tau_{\geq n}^U$) dont les foncteurs cohomologiques sont $i_*h_F^n i^!$ (resp. $j_!h_U^n j^*$). On a alors

$$\tau_{\leq n} = \tau_{\leq n}^F \tau_{\leq n}^U \text{ et } \tau_{\geq n} = \tau_{\geq n}^F \tau_{\geq n}^U.$$

5.2.1. Proposition. — Soient \mathcal{C}_F et \mathcal{C}_U munis de théorie de torsion $(\mathcal{T}_F, \mathcal{F}_F)$ et $(\mathcal{T}_U, \mathcal{F}_U)$, on définit une théorie de torsion sur \mathcal{C} par :

$$\begin{aligned}\mathcal{T} &:= \{P \in \mathcal{C} : {}^p i^* P \in \mathcal{T}_F \text{ et } j^* P \in \mathcal{T}_U\} \\ \mathcal{F} &:= \{P \in \mathcal{C} : {}^p i^! P \in \mathcal{F}_F \text{ et } j^* P \in \mathcal{F}_U\}\end{aligned}$$

5.2.2. Corollaire. — On a les propriétés suivantes :

$$\begin{aligned}{}^p i_*(\mathcal{T}_F) \subset \mathcal{T} \quad {}^p j_!(\mathcal{T}_U) \subset \mathcal{T} \quad {}^p j_{!*}(\mathcal{T}_U) \subset \mathcal{T} \\ {}^p i_*(\mathcal{F}_F) \subset \mathcal{F} \quad {}^p j_*(\mathcal{F}_U) \subset \mathcal{F} \quad {}^p j_{!*}(\mathcal{F}_U) \subset \mathcal{F}\end{aligned}$$

Démonstration. — Cela découle directement

- de la définition de $(\mathcal{T}, \mathcal{F})$;
- du fait, cf. [2] proposition 1.4.17 (i), que les composés

$${}^p j_* \circ {}^p i_*, \quad {}^p i^* \circ {}^p j_!, \quad {}^p i^! \circ {}^p j_*$$

sont nuls ;

- de la nullité de ${}^p i^* {}^p j_{!*}$ et ${}^p i^! {}^p j_{!*}$.

□

Remarque : pour ${}^+ \mathcal{C}$, on a en particulier que ${}^{p+} j_!(\mathcal{F}_U) \subset \mathcal{F}$.

En utilisant la construction du corollaire 5.1.4, on définit alors les foncteurs suivant :

$$\begin{aligned}{}^p j_! &= \tau_{\leq -2}^F j_* = \tau_{\geq 0}^F j_! \\ {}^{p+} j_! &= {}^+ \tau_{\leq -2}^F j_* = {}^+ \tau_{\geq 0}^F j_! \\ {}^p j_{!*} &= \tau_{\leq -1}^F j_* = \tau_{\geq 1}^F j_! \\ {}^{p+} j_{!*} &= {}^+ \tau_{\leq -1}^F j_* = {}^+ \tau_{\geq 1}^F j_! \\ {}^p j_* &= \tau_{\leq 0}^F j_* = \tau_{\geq 2}^F j_! \\ {}^{p+} j_* &= {}^+ \tau_{\leq 0}^F j_* = {}^+ \tau_{\geq 2}^F j_!\end{aligned}$$

dont le premier (resp. le dernier) est à image dans \mathcal{C} (resp. ${}^+ \mathcal{C}$) et les quatre autres dans $\mathcal{C} \cap {}^+ \mathcal{C}$.

On a alors les triangles distingués suivants :

$$\begin{aligned}{}^p j_! &\rightarrow {}^{p+} j_! \rightarrow {}^p i_* h_{tors}^{-1} i^* j_*[1] \rightsquigarrow \\ {}^{p+} j_! &\rightarrow {}^p j_{!*} \rightarrow {}^p i_* h_{libre}^{-1} i^* j_*[1] \rightsquigarrow \\ {}^p j_{!*} &\rightarrow {}^{p+} j_{!*} \rightarrow {}^p i_* h_{tors}^0 i^* j_* \rightsquigarrow \\ {}^{p+} j_{!*} &\rightarrow {}^p j_* \rightarrow {}^p i_* h_{libre}^0 i^* j_* \rightsquigarrow \\ {}^p j_* &\rightarrow {}^{p+} j_* \rightarrow {}^p i_* h_{tors}^1 i^* j_*[-1] \rightsquigarrow\end{aligned}$$

5.2.3. Corollaire. — On suppose que j_* (resp. $j_!$) est t -exact pour \mathcal{C} (resp. ${}^+ \mathcal{C}$) alors $j_*(\mathcal{F}_U) \subset \mathcal{F}$ dans ${}^+ \mathcal{C}$ (resp. $j_!(\mathcal{F}_U) \subset \mathcal{F}$ dans \mathcal{C}). En outre ${}^p j_{!*}(\mathcal{F}_U)$ (resp. ${}^{p+} j_{!*}(\mathcal{F}_U)$) est dans $\mathcal{C} \cap {}^+ \mathcal{C}$.

Démonstration. — Soit $L \in \mathcal{F}_U$ dans $\mathcal{C}_U \cap {}^+ \mathcal{C}_U$; comme ${}^p j_* = j_*$, $j_* L \in \mathcal{D}^{\leq 0} \cap {}^+ \mathcal{D}^{\geq 0}$ et le résultat découle du corollaire 5.1.6. Le cas de $j_!$ est dual : comme ${}^{p+} j_! = j_!$, $j_! L \in \mathcal{F}$ dans ${}^+ \mathcal{C}$ de sorte que $j_! L$ appartient à $\mathcal{D}^{\leq 0} \cap {}^+ \mathcal{D}^{\geq 0}$ d'où le résultat. En ce qui concerne les extensions intermédiaires, on utilise qu'un quotient d'un divisible (resp. un sous-objet d'un libre) est divisible (resp. libre) et la définition de ${}^p j_{!*}$ sa version $p+$. □

5.2.4. Proposition. — (cf. [16] 2.27, 2.28, 2.29) Dans une situation de recollement, le foncteur ${}^p j_{!*}$ vérifie les propriétés suivantes :

- il préserve les monomorphismes et les épimorphismes ;
- en ce qui concerne les socles et les top, pour $A \in \mathcal{C}_U$ on a

$$\begin{aligned}\text{Soc } {}^p j_{!*} A &\simeq \text{Soc } {}^p j_* A \simeq {}^p j_{!*} \text{Soc } A \\ \text{Top } {}^p j_! A &\simeq \text{Top } {}^p j_{!*} A \simeq {}^p j_{!*} \text{Top } A\end{aligned}$$

- il est pleinement fidèle.

5.3. Réduction modulaire. — On note $\mathbb{F}(-)$ le foncteur de réduction modulaire $\mathbb{F} \otimes_{\mathbb{O}}^{\mathbb{L}} (-)$; ce dernier ne commute pas aux foncteurs de troncations. Précisément pour $A \in D_c^b(X, \mathbb{O})$, d'après cf. [16] proposition 1.8.1, on a les triangles distingués :

$$\begin{aligned} \mathbb{F}\tau_{\leq n}A &\rightarrow \tau_{\leq n}\mathbb{F}A \rightarrow h^{-1}\left(\mathbb{F}h_{tors}^{n+1}A\right)[-n] \rightsquigarrow \\ \tau_{\leq n}\mathbb{F}A &\rightarrow \mathbb{F}^+\tau_{\leq n}A \rightarrow h^0\left(\mathbb{F}h_{tors}^{n+1}A\right)[-n-1] \rightsquigarrow \\ \mathbb{F}^+\tau_{\leq n}A &\rightarrow \mathbb{F}\tau_{\leq n+1}A \rightarrow \mathbb{F}h_{libre}^{n+1}A[-n-1] \rightsquigarrow \end{aligned}$$

En appliquant ceci aux foncteurs de troncation $\tau_{\leq i}^F$ on obtient alors les triangles distingués du §1.9 de [16] :

$$\begin{aligned} \mathbb{F}^p j_! &\rightarrow {}^p j_! \mathbb{F} \rightarrow h^{-1} \mathbb{F}^p i_* {}^p h_{tors}^{-1} i^* j_* [2] \rightsquigarrow \\ {}^p j_! \mathbb{F} &\rightarrow \mathbb{F}^{p+} j_! \rightarrow h^0 \mathbb{F}^p i_* {}^p h_{tors}^{-1} i^* j_* [1] \rightsquigarrow \\ \mathbb{F}^{p+} j_! &\rightarrow \mathbb{F}^p j_! \rightarrow \mathbb{F}^p i_* h_{libre}^{-1} i^* j_* [1] \rightsquigarrow \\ \mathbb{F}^p j_! \rightarrow {}^p j_! \mathbb{F} &\rightarrow h^{-1} \mathbb{F}^p i_* {}^p h_{tors}^0 i^* j_* [1] \rightsquigarrow \\ {}^p j_! \mathbb{F} &\rightarrow \mathbb{F}^{p+} j_! \rightarrow h^0 \mathbb{F}^p i_* {}^p h_{tors}^0 i^* j_* \rightsquigarrow \\ \mathbb{F}^{p+} j_! \rightarrow \mathbb{F}^p j_! &\rightarrow \mathbb{F}^p i_* h_{libre}^0 i^* j_* \rightsquigarrow \\ \mathbb{F}^p j_* &\rightarrow {}^p j_* \mathbb{F} \rightarrow h^{-1} \mathbb{F}^p i_* h_{tors}^1 i^* j_* \rightsquigarrow \\ {}^p j_* \mathbb{F} &\rightarrow \mathbb{F}^{p+} j_* \rightarrow h^0 \mathbb{F}^p i_* h_{tors}^1 i^* j_* [-1] \rightsquigarrow \\ \mathbb{F}^{p+} j_* &\rightarrow \mathbb{F}^p j_* \rightarrow \mathbb{F}^p i_* h_{libre}^1 i^* j_* [-1] \rightsquigarrow \end{aligned}$$

5.4. t -structures perverses. — Dans la suite S désigne le spectre soit

- d'un corps;
- d'un anneau de valuation discrète hensélien A ;
- de \bar{A} le normalisé de A dans une clôture algébrique du corps des fractions de A .

On rappelle aussi que Λ désigne $\overline{\mathbb{Q}_l}$, $\overline{\mathbb{Z}}$ ou $\overline{\mathbb{F}_l}$.

Soit alors X un schéma de type fini sur S . On note $\mathcal{D} := D_c^b(X, \Lambda)$ la sous-catégorie pleine de $D(X, \Lambda)$ formée des complexes à cohomologie bornée constructible. Si $j : U \hookrightarrow X$ est un ouvert dense de complémentaire $i : F \hookrightarrow X$, le diagramme

$$\begin{array}{ccc} \xleftarrow{i^!} & \xleftarrow{j_*} & \\ \mathcal{D}_F & \xrightarrow{i_*} \mathcal{D} & \xrightarrow{j^*} \mathcal{D}_U \\ \xleftarrow{i^*} & \xleftarrow{j_!} & \end{array}$$

est une situation de recollement ce qui permet de recoller des t -structures munies de théories de torsion comme précédemment.

5.4.1. Notation. — Dans la suite du texte, h^i désignera le foncteur cohomologique associée à la t -structure naturelle sur la catégorie dérivée considérée.

Cas où S est le spectre d'un corps : on considérera dans cette situation la t -structure perverse p définie par :

$$\begin{aligned} A \in {}^p D^{\leq 0}(X, \Lambda) &\Leftrightarrow \forall x \in X, h^k i_x^* A = 0, \forall k > -\dim \overline{\{x\}} \\ A \in {}^p D^{\geq 0}(X, \Lambda) &\Leftrightarrow \forall x \in X, h^k i_x^! A = 0, \forall k < -\dim \overline{\{x\}} \end{aligned}$$

où $i_x : \text{Spec } \kappa(x) \hookrightarrow X$. On note alors ${}^p \mathcal{M}(X, \Lambda)$ le coeur de cette t -structure : c'est une catégorie abélienne noethérienne et Λ -linéaire dont les foncteurs cohomologiques seront notés ${}^p h^i$.

Dans le cas où $\Lambda = \mathbb{O}$, en tant que catégorie abélienne \mathbb{O} -linéaire, on obtient comme précédemment une autre t -structure $p+$

$$\begin{aligned} A \in {}^{p+} D^{\leq 0}(X, \Lambda) &\Leftrightarrow \forall x \in X, \begin{cases} h^i i_x^* A = 0, & \forall i > -\dim \overline{\{x\}} + 1 \\ h^{-\dim \overline{\{x\}} + 1} i_x^* A & \text{de torsion} \end{cases} \\ A \in {}^{p+} D^{\geq 0}(X, \Lambda) &\Leftrightarrow \forall x \in X, \begin{cases} h^i i_x^! A = 0, & \forall i < -\dim \overline{\{x\}} \\ h^{-\dim \overline{\{x\}}} i_x^! A & \text{libre} \end{cases} \end{aligned}$$

dont on notera ${}^{p+}\mathcal{M}(X, \mathbb{O})$ le coeur et ${}^{p+h^i}$ les foncteurs cohomologiques. C'est une catégorie abélienne artinienne et \mathbb{O} -linéaire.

Remarque : la t -structure p (resp. $p+$) sur X , s'obtient par recollement des t -structures p (resp. $p+$) sur U et F . Dans le cas où Λ est un corps, p et $p+$ coïncident.

5.4.2. Proposition. — (cf. [16] §1.7)

- Un objet A de $D_c^b(X, \mathbb{O})$ est dans ${}^p\mathcal{D}^{\leq 0}(X, \mathbb{O})$ (resp. ${}^{p+}\mathcal{D}^{\geq 0}$) si et seulement si $A \otimes_{\mathbb{O}}^{\mathbb{L}} \mathbb{F}$ est un objet de ${}^p\mathcal{D}^{\leq 0}(X, \mathbb{F})$ (resp. de ${}^{p+}\mathcal{D}^{\geq 0}(X, \mathbb{F})$).
- Soit A un objet de ${}^p\mathcal{M}(X, \mathbb{O})$ alors $A \otimes_{\mathbb{O}}^{\mathbb{L}} \mathbb{O}/(\varpi)$ est un objet de ${}^p\mathcal{M}(X, \mathbb{F})$ si et seulement si A est libre, ce qui revient à demander que A soit un objet de ${}^{p+}\mathcal{M}(X, \mathbb{O})$. On a alors $A \otimes_{\mathbb{O}}^{\mathbb{L}} \mathbb{O}/(\varpi) = \text{Coker } \varpi.1_A$, noyau pris dans ${}^p\mathcal{M}(X, \mathbb{O})$.
- Soit A un objet de ${}^{p+}\mathcal{M}(X, \mathbb{O})$ alors $A \otimes_{\mathbb{O}}^{\mathbb{L}} \mathbb{O}/(\varpi)$ est un objet de ${}^{p+}\mathcal{M}(X, \mathbb{F})$ si et seulement si A est divisible, ce qui revient à demander que A soit un objet de ${}^p\mathcal{M}(X, \mathbb{O})$. On a alors $A \otimes_{\mathbb{O}}^{\mathbb{L}} \mathbb{O}/(\varpi) = \text{Ker } \varpi.1_A[1]$, noyau pris dans ${}^{p+}\mathcal{M}(X, \mathbb{O})$.

Remarque : la dualité de Grothendieck échange les deux t -structures perverses p et $p+$. Soient $A, B \in {}^p\mathcal{C} \cap {}^{p+}\mathcal{C}$ tels que $A \hookrightarrow B$ (resp. $A \twoheadrightarrow B$) dans ${}^p\mathcal{C}$. Alors $DB \twoheadrightarrow DA$ (resp. $DB \hookrightarrow DA$) dans ${}^{p+}\mathcal{C}$.

Remarque : si f est un foncteur exact à droite pour la t -structure p et commute à la dualité de Grothendieck-Verdier alors

$$A \in {}^p\mathcal{D}^{\leq 0} \cap {}^{p+}\mathcal{D}^{\geq 0} \Rightarrow f(A) \in {}^p\mathcal{D}^{\leq 0} \cap {}^{p+}\mathcal{D}^{\geq 0}.$$

5.4.3. Proposition. — On suppose que l'inclusion $j : U \hookrightarrow X$ est affine alors pour $P \in {}^p\mathcal{M}(U, \mathbb{O}) \cap {}^{p+}\mathcal{M}(U, \mathbb{O})$ on a

$$j_*P = {}^pj_*P = {}^{p+}j_*P, \quad j_!P = {}^pj_!P = {}^{p+}j_!P,$$

et ${}^pj_{!*}P, {}^{p+}j_{!*}P$ sont dans ${}^p\mathcal{M}(X, \mathbb{O}) \cap {}^{p+}\mathcal{M}(X, \mathbb{O})$.

Démonstration. — Comme j est affine, j_* (resp. $j_!$) est t -exact pour p (resp. $p+$) et le résultat découle du corollaire 5.2.3. \square

Remarque : en ce qui concerne les extensions intermédiaires, par définition ${}^pj_{!*}K = \text{Im}_{{}^p\mathcal{C}}({}^pj_!K \rightarrow {}^pj_*K)$ et ${}^{p+}j_{!*} = \text{Im}_{{}^{p+}\mathcal{C}}({}^{p+}j_!K \rightarrow {}^{p+}j_*K)$ sont donc aussi dans ${}^p\mathcal{C} \cap {}^{p+}\mathcal{C}$. Ils sont en outre reliés par la suite exacte courte dans ${}^p\mathcal{C}$:

$$0 \rightarrow {}^pj_{!*} \rightarrow {}^{p+}j_{!*} \rightarrow {}^pi_* {}^ph_{\text{tors}}^0 i^* j_* \rightarrow 0. \quad (5.4.4)$$

5.4.5. Lemme. — Soit $P \in {}^p\mathcal{M}(U, \mathbb{O}) \cap {}^{p+}\mathcal{M}(U, \mathbb{O})$ avec $j : U \hookrightarrow X$ affine tel que ${}^ph_{\text{tors}}^0 i^* j_* P$ est non nul. Alors il existe un point z de $X - U$ tel que $\left(z^* h^{-\dim \bar{z} p+} j_{!*} P \right)_{\text{tors}}$ est non nul.

Remarque : comme ${}^pj_{!*}P \in {}^p\mathcal{D}^{\leq -1}$, on a nécessairement $z^* h^{-\dim \text{bar } z} {}^pj_{!*}P$ qui est nul.

Démonstration. — On choisit pour z un point générique du support de ${}^ph_{\text{tors}}^0 i^* j_* P$ de sorte que d'après la remarque précédente, la suite exacte longue des faisceaux de cohomologie appliquée à la suite exacte courte (5.4.4) a pour fibre en z :

$$0 \rightarrow z^* h^{-\dim \bar{z} p+} j_{!*} P \rightarrow z^* h^{-\dim \bar{z}} \left({}^ph_{\text{tors}}^0 i^* j_* P \right) \rightarrow 0$$

ce qui donne le résultat. \square

Remarque : plus généralement avec les notations précédentes, si Q est un faisceau pervers tel que dans ${}^p\mathcal{M}(X, \mathbb{O})$

$${}^pj_{!*}P \hookrightarrow Q \hookrightarrow {}^{p+}j_{!*}P$$

distinct de ${}^p j_{!*}P$ alors la conclusion du lemme s'applique à Q . On notera que dans ${}^{p+}\mathcal{M}(X, \mathbb{O})$ les inclusions précédentes deviennent

$${}^p j_{!*}P \twoheadrightarrow Q \twoheadrightarrow {}^{p+} j_{!*}P.$$

5.4.6. Proposition. — Soit $K \in {}^p\mathcal{M}(U, \mathbb{O}) \cap {}^{p+}\mathcal{M}(U, \mathbb{O})$ un faisceau pervers sans torsion sur U . Si l'inclusion $j : U \hookrightarrow X$ est affine alors

$$\mathbb{F}j_*K = j_*\mathbb{F}K, \quad \mathbb{F}j_!K = j_!\mathbb{F}K$$

Démonstration. — Le résultat découle directement de la proposition 5.4.3 et du fait que $\mathbb{F}K$ est un faisceau pervers. \square

Cas où $S = \text{Spec } A$: on note

- $f : X \rightarrow S$ le morphisme structural ;
- $s = \text{Spec } k$ (resp. $\eta = \text{Spec } K$) le point fermé (resp. générique) de S ;
- X_s (resp. X_η) la fibre spéciale (resp. générique) de X ;
- $i : X_s \hookrightarrow X$ (resp. $j : X_\eta \hookrightarrow X$) l'inclusion fermée (resp. ouverte).

Le complexe $f^!\Lambda_S[2](1)$ est dualisant sur X d'après [12] Th. finitude §4. On considère alors la t -structure sur X obtenue par recollement de la perversité autoduale p sur la fibre spéciale X_s de X et de la t -structure $({}^pD^{\leq -1}(X_\eta, \Lambda), {}^pD^{\geq -1}(X_\eta, \Lambda))$, notée $p[1]$, où p est la perversité autoduale sur la fibre générique X_η de X . Autrement dit, en posant, d'après [1] XIV 2.2, pour x un point de X d'image y dans S

$$\delta(x) = \deg \text{Tr } \kappa(x)/\kappa(y) + \dim \overline{\{y\}}$$

on a

$$\begin{aligned} A \in {}^pD^{\leq 0}(X, \Lambda) &\Leftrightarrow \forall x \in X, h^q(i_x^*A) = 0, \forall q > -\delta(x) \\ A \in {}^pD^{\geq 0}(X, \Lambda) &\Leftrightarrow \forall x \in X, h^q(i_x^!A) = 0, \forall q < -\delta(x) \end{aligned}$$

On définit de même la t -structure $p+$ sur X de sorte que le foncteur dualisant $D_X = R\text{Hom}(-, K_X)$ échange ${}^pD^{\leq 0}(X, \Lambda)$ (resp. ${}^{p+}D^{\leq 0}(X, \Lambda)$) et ${}^{p+}D^{\geq 0}(X, \Lambda)$ (resp. ${}^pD^{\geq 0}(X, \Lambda)$).

5.4.7. Proposition. — Le foncteur j_* (resp. $j_!$) est t -exact pour X_η muni de la t -structure $p[1]$ (resp. $p+[1]$) et X de la t -structure p (resp. $p+$) définie ci-dessus.

Démonstration. — Pour le cas de j_* , cf. par exemple [14] bas de la page 48 ; le cas de $j_!$ est dual. \square

D'après le corollaire 5.2.3, on en déduit alors le résultat suivant.

5.4.8. Corollaire. — Si $L_{\mathbb{O}} \in {}^pD^{\leq -1}(X_\eta, \mathbb{O}) \cap {}^{p+}D^{\geq -1}(X_\eta, \mathbb{O})$, i.e. est sans torsion pour la t -structure $({}^pD^{\leq -1}(X_\eta, \Lambda), {}^pD^{\geq -1}(X_\eta, \Lambda))$, alors $j_!L_{\mathbb{O}}$, $j_*L_{\mathbb{O}}$, ${}^p j_{!*}L_{\mathbb{O}}$ et ${}^{p+} j_{!*}L_{\mathbb{O}}$ appartiennent à ${}^pD^{\leq 0}(X, \mathbb{O}) \cap {}^{p+}D^{\geq 0}(X, \mathbb{O})$, i.e. sont sans torsion.

Cas où $S = \text{Spec } \bar{A}$: on note

- $\bar{s} = \text{Spec } \bar{k}$ (resp. $\bar{\eta} = \text{Spec } K$) le point fermé (resp. générique) de S ;
- $X_{\bar{s}}$ (resp. $X_{\bar{\eta}}$) la fibre spéciale (resp. générique) de X ;
- $\bar{i} : X_{\bar{s}} \hookrightarrow X$ (resp. $\bar{j} : X_{\bar{\eta}} \hookrightarrow X$) l'inclusion fermée (resp. ouverte).

Remarque : dans cette situation, il n'y a plus de complexe dualisant.

On considère alors les t -structures suivantes :

- $p(1)$ en recollant $({}^pD^{\leq -1}(X_{\bar{\eta}}, \Lambda), {}^pD^{\geq -1}(X_{\bar{\eta}}, \Lambda))$ et $({}^pD^{\leq 0}(X_{\bar{s}}, \Lambda), {}^pD^{\geq 0}(X_{\bar{s}}, \Lambda))$;
- $p(0)$ en recollant $({}^pD^{\leq 0}(X_{\bar{\eta}}, \Lambda), {}^pD^{\geq 0}(X_{\bar{\eta}}, \Lambda))$ et $({}^pD^{\leq 0}(X_{\bar{s}}, \Lambda), {}^pD^{\geq 0}(X_{\bar{s}}, \Lambda))$.

Remarque : on notera $p(1)+$ et $p(0)+$ les t -structures obtenues en recollant comme ci-dessus à partir des versions $p+$ sur $X_{\bar{\eta}}$ et $X_{\bar{s}}$.

5.4.9. Proposition. — (i) Pour $X_{\overline{\eta}}$ et X munis des t -structures $p[1]$ et $p(1)$ (resp. $p[1]+$ et $p(1)+$), les foncteurs \overline{j}_* et $\overline{j}_!$ sont t -exact. Pour $L_{\mathbb{O}}$ sur $X_{\overline{\eta}}$ qui est $p[1]$ pervers sans torsion, on a

$$\overline{j}_* L_{\mathbb{O}} = {}^{p(1)}\overline{j}_! L_{\mathbb{O}} = {}^{p(1)+}\overline{j}_! L_{\mathbb{O}}$$

qui est sans torsion sur X et on a la suite exacte courte de faisceau $p(1)$ -pervers sans torsion sur X :

$$0 \rightarrow \overline{i}^* \overline{j}_* L_{\mathbb{O}} \rightarrow \overline{j}_! L_{\mathbb{O}} \rightarrow \overline{j}_* L_{\mathbb{O}} \rightarrow 0.$$

(ii) Pour $X_{\overline{\eta}}$ et X munis des t -structures p et $p(0)$ (resp. $p+$ et $p(0)+$), les foncteurs \overline{j}_* et $\overline{j}_!$ sont t -exact. Pour $L_{\mathbb{O}}$ sur $X_{\overline{\eta}}$ qui est p -pervers sans torsion, on a

$$\overline{j}_! L_{\mathbb{O}} = {}^{p(0)}\overline{j}_! L_{\mathbb{O}} = {}^{p(0)+}\overline{j}_! L_{\mathbb{O}}$$

qui est sans torsion sur X et on a la suite exacte courte de faisceau $p(0)$ -pervers sans torsion sur X :

$$0 \rightarrow \overline{j}_! L_{\mathbb{O}} \rightarrow j_* L_{\mathbb{O}} \rightarrow \overline{i}^* \overline{j}_* L_{\mathbb{O}} \rightarrow 0.$$

Remarque : le complexe $\overline{i}^* \overline{j}_* L_{\mathbb{O}}$ est le complexe des cycles proches notés $\Psi_{\eta}(L_{\mathbb{O}})$ que l'on considère muni de son action du groupe de Galois.

Démonstration. — (i) Le foncteur \overline{j}_* (resp. $\overline{j}_!$) est t -exact à gauche (resp. à droite) pour p et $p+$. Par ailleurs comme d'après [14] §4, $\overline{i}^* \overline{j}_*$ est t -exact relativement à p sur $X_{\overline{\eta}}$ et p sur $X_{\overline{s}}$, on en déduit que \overline{j}_* est t -exact relativement à $p[1]$ sur $X_{\overline{\eta}}$ et $p(1)$ sur X . En ce qui concerne $\overline{j}_!$, considérons le triangle distingué

$$\overline{j}_! \overline{j}^* K \rightarrow K \rightarrow \overline{i}_* \overline{i}^* K \rightsquigarrow$$

pour $K = \overline{j}_* L_{\mathbb{O}}$ avec $L_{\mathbb{O}}$ qui est $p[1]$ pervers. La suite exacte longue de $p(1)$ -cohomologie et le fait que ${}^p h^r \overline{i}^* \overline{j}_* L_{\mathbb{O}}$ est nul pour tout $r \neq -1$, donnent la nullité des ${}^{p(1)} h^r \overline{j}_! \overline{j}^* K$ pour tout $r \neq 0$ ainsi que la suite exacte courte

$$0 \rightarrow \overline{i}_* {}^{p(1)} h^{-1} \overline{i}^* K \rightarrow \overline{j}_! \overline{j}^* K \rightarrow K \rightarrow 0$$

avec ${}^{p(1)} h^{-1} \overline{i}^* K = \Psi_{\eta}(L_{\mathbb{O}})$ qui est p -pervers. On en déduit alors que $\overline{j}_!$ est t -exact relativement à $p[1]$ et $p(1)$ ainsi que $\overline{j}_* L_{\mathbb{O}} = {}^{p(1)}\overline{j}_! L_{\mathbb{O}}$.

Soit alors $L_{\mathbb{O}}$ qui est $p[1]+$ pervers et soit

$${}^{p[1]} h^0 L_{\mathbb{O}} \rightarrow L_{\mathbb{O}} \rightarrow {}^{p[1]} \tau_{\geq 1} L_{\mathbb{O}} \rightsquigarrow$$

le triangle distingué associé où ${}^{p[1]} \tau_{\geq 1} L_{\mathbb{O}}[1]$ est $p[1]$ pervers de torsion et ${}^{p[1]} h^0 L_{\mathbb{O}}$ est libre. Après application du foncteur exact \overline{j}_* on obtient le triangle distingué

$$\overline{j}_* {}^{p[1]} h^0 L_{\mathbb{O}} \rightarrow \overline{j}_* L_{\mathbb{O}} \rightarrow \overline{j}_* {}^{p[1]} \tau_{\geq 1} L_{\mathbb{O}} \rightsquigarrow$$

où $\overline{j}_* {}^{p[1]} h^0 L_{\mathbb{O}}$ et $\overline{j}_* {}^{p[1]} \tau_{\geq 1} L_{\mathbb{O}}[1]$ sont $p(1)$ -pervers. Par ailleurs comme pour tout M qui est $p[1]$ -pervers, $\overline{j}_* M = {}^{p(1)}\overline{j}_! M$, il découle du corollaire 5.2.2 que $\overline{j}_* {}^{p[1]} h^0 L_{\mathbb{O}}$ (resp. $\overline{j}_* {}^{p[1]} \tau_{\geq 1} L_{\mathbb{O}}[1]$) est libre (resp. de torsion). On en déduit alors que \overline{j}_* est t -exact à gauche relativement à $p[1]+$ et $p(1)+$ et donc t -exact. La t -exactitude de $\overline{j}_!$ relativement à $p[1]+$ et $p(1)+$ s'en déduit alors comme précédemment.

Remarque : pour tout M qui est $p[1]+$ pervers, $\overline{j}_* M = {}^{p(1)+}\overline{j}_! M$.

(ii) Le raisonnement est strictement identique en notant que relativement aux t -structures p et $p(0)$, $\overline{i}_* \overline{j}^*$ est t -exact de sorte que pour $K = \overline{j}_* L_{\mathbb{O}}$:

- $\overline{i}_* \overline{j}^* K$ est p -pervers ;
- ${}^{p(1)} \overline{i}^* K = \Psi_{\eta}(L_{\mathbb{O}})$ est p -pervers ;
- ${}^{p(1)} h^{-1} \overline{i}^* K$ est nul.

□

5.5. Cas d'un schéma de Hecke. — Soit $\mathbb{X}_{\mathcal{I}} = (X_I)_{I \in \mathcal{I}}$ un schéma de Hecke pour $(\mathbb{G}, \mathcal{I})$ et $\Lambda = \overline{\mathbb{Q}}_l, \overline{\mathbb{Z}}_l$ ou $\overline{\mathbb{F}}_l$. La catégorie $\text{FPH}_{\mathbb{G}}(\mathbb{X}_{\mathcal{I}}; \Lambda)$ (resp. $\text{FH}_{\mathbb{G}}(\mathbb{X}_{\mathcal{I}}; \Lambda)$) des *faisceaux pervers* (resp. des *faisceaux*) de Hecke sur $\mathbb{X}_{\mathcal{I}}$ à coefficients dans Λ est définie comme la catégorie dont :

- les objets sont les systèmes $(\mathcal{F}_I)_{I \in \mathcal{I}}$ où \mathcal{F}_I est un faisceau pervers (resp. faisceau) sur \mathbb{X}_I à coefficients dans Λ , tels que pour tout $g \in \mathbb{G}$ et $J \subset I$ tel que $g^{-1}Jg \subset I$, on dispose d'un morphisme de faisceaux sur \mathbb{X}_I , $u_{J,I}(g) : \mathcal{F}_I \rightarrow [g]_{J,I,*}\mathcal{F}_J$ soumis à la condition de cocycle

$$u_{K,I}(g'g) = [g]_{J,I,*}(u_{K,J}(g')) \circ u_{J,I}(g)$$

- Les flèches sont les systèmes $(f_I)_{I \in \mathcal{I}}$ avec $f_I : \mathcal{F}_I \rightarrow \mathcal{F}'_I$ tels que le diagramme suivant est commutatif :

$$\begin{array}{ccc} \mathcal{F}_I & \xrightarrow{u_{J,I}(g)} & [g]_{J,I,*}(\mathcal{F}_J) \\ \downarrow f_I & & \downarrow [g]_{J,I,*}(f_J) \\ \mathcal{F}'_I & \xrightarrow{u_{J,I}(g)} & [g]_{J,I,*}(\mathcal{F}'_J) \end{array}$$

Remarque : par rapport à [8] §1.3.7, on a supprimé les conditions (ii) et (iii). Les propositions 6.1 et 6.2 de loc. cit. sont encore valables, i.e. $\text{FPH}_{\mathbb{G}}(\mathbb{X}_{\mathcal{I}}; \Lambda)$ et $\text{FH}_{\mathbb{G}}(\mathbb{X}_{\mathcal{I}}; \Lambda)$ sont des catégories abéliennes munies de foncteurs $j_!, i^*$ (resp. Rj_*, i_* , resp. $j_*, Ri^!$) qui sont t -exact à droite (resp. t -exact, resp. t exacts à gauche) avec les propriétés d'adjonction habituelles, de sorte que l'on se retrouve à nouveau dans une situation de recollement.

Remarque : pour $\Lambda = \overline{\mathbb{Z}}_l$, il faut, pour que les $[g]_{J,I,*}$ restent t -exact, prendre les mêmes t -structures, i.e. avec ou sans $+$, à tous les niveaux. On notera par ailleurs que les théories de torsion à chaque niveau « induisent » une théorie de torsion sur $\text{FPH}_{\mathbb{G}}(\mathbb{X}_{\mathcal{I}}; \overline{\mathbb{Z}}_l)$. Par ailleurs comme les $[g]_{J,I,*}$ commutent avec le foncteur $\mathbb{F} \otimes_{\overline{\mathbb{Z}}_l}^{\mathbb{L}} (-)$, la théorie de réduction modulaire précédente se prolonge aux faisceaux pervers de Hecke.

Remarque : contrairement à [8], avec notre définition de faisceaux pervers de Hecke, sans les conditions (ii) et (iii) de la définition 1.3.7 de loc. cit., le dual de Grothendieck d'un faisceau pervers de Hecke n'est pas a priori un faisceau pervers de Hecke. On pourra toutefois noter que dans le cas particulier où $\mathcal{F}_{\mathcal{I}}$ est un $\overline{\mathbb{Z}}_l$ -système local pervers sur $j_{\mathcal{I}} : \mathbb{U}_{\mathcal{I}} \hookrightarrow \mathbb{X}_{\mathcal{I}}$ avec $\mathcal{P}_{\mathcal{I}} = {}^p j_{!*, \mathcal{I}} \mathcal{F}_{\mathcal{I}}$ alors $D\mathcal{P}_{\mathcal{I}}$ est un faisceau pervers de Hecke relativement à la t -structure $p+$ isomorphe à ${}^{p+} j_{!*+, \mathcal{I}} \mathcal{F}_{\mathcal{I}}^{\vee}$.

6. Filtrations de stratification d'un faisceau pervers sans torsion

On se propose dans ce paragraphe de définir des filtrations dites de stratification d'un Λ -faisceau pervers sur un schéma X muni d'une stratification

$$X^{\geq h} \subset X^{\geq h-1} \subset \dots \subset X^{\geq 2} \subset X^{\geq 1} = X$$

par des sous-schémas localement fermés. Pour ce faire on commence par une situation générale de recollement de t -structures où on définit une filtration sans torsion d'un faisceau pervers sans torsion ; on itère alors cette construction dans le cas géométrique.

Remarque : on laisse le soin au lecteur de traiter le cas d'une stratification plus générale ; dans la situation des variétés de Shimura considérées, cela n'apporterait rien de plus.

6.1. Cas d'une situation de recollement. — Soit

$$\begin{array}{ccccc} & \xleftarrow{i^!} & & \xleftarrow{j_*} & \\ \mathcal{D}_F & \xrightarrow{i_*} & \mathcal{D} & \xrightarrow{j^*} & \mathcal{D}_U \\ & \xleftarrow{i^*} & & \xleftarrow{j_!} & \end{array}$$

une situation de recollement telle que :

- \mathcal{D}_F et \mathcal{D}_U soient munis d'une t -structure $(\mathcal{D}_F^{\leq 0}, \mathcal{D}_F^{\geq 0})$ et $(\mathcal{D}_U^{\leq 0}, \mathcal{D}_U^{\geq 0})$ de sorte que

$$\begin{aligned}\mathcal{D}^{\leq 0} &:= \{K \in \mathcal{D} : j^*K \in \mathcal{D}_U^{\leq 0} \text{ et } i^*K \in \mathcal{D}_F^{\leq 0}\} \\ \mathcal{D}^{\geq 0} &:= \{K \in \mathcal{D} : j^*K \in \mathcal{D}_U^{\geq 0} \text{ et } i^!K \in \mathcal{D}_F^{\geq 0}\}.\end{aligned}$$

est la t -structure sur \mathcal{D} obtenue par recollement ;

- \mathcal{C}_F et \mathcal{C}_U sont des catégories abéliennes \mathbb{O} -linéaires munies des théories de torsion $(\mathcal{T}_F, \mathcal{F}_F)$, et $(\mathcal{T}_U, \mathcal{F}_U)$ de sorte que

$$\begin{aligned}\mathcal{T} &:= \{P \in \mathcal{C} : {}^p j^* P \in \mathcal{T}_F \text{ et } j^* P \in \mathcal{T}_U\} \\ \mathcal{F} &:= \{P \in \mathcal{C} : {}^p i^! P \in \mathcal{F}_F \text{ et } j^* P \in \mathcal{F}_U\}\end{aligned}$$

est une théorie de torsion sur la catégorie abélienne \mathbb{O} -linéaire \mathcal{C} .

Comme au corollaire 5.1.4, on notera

$$\begin{aligned}{}^+ \mathcal{D}^{\leq 0} &:= \{A \in \mathcal{D}^{\leq 1} : h^1(A) \in \mathcal{T}\} \\ {}^+ \mathcal{D}^{\geq 0} &:= \{A \in \mathcal{D}^{\geq 0} : h^0(A) \in \mathcal{F}\}\end{aligned}$$

la théorie de torsion « duale » sur \mathcal{C} et ${}^+ \mathcal{C}$ désignera \mathcal{C} muni de cette théorie de torsion « duale » de celle de \mathcal{C} .

Soit désormais $P_\Lambda \in \mathcal{C} \cap {}^+ \mathcal{C}$, autrement dit $P_\Lambda \in \mathcal{F}$ dans \mathcal{C} . Considérons alors le diagramme commutatif dans \mathcal{C} :

$$\begin{array}{ccccccc} & & P_\Lambda & \xrightarrow{\quad\quad\quad} & {}^p j_* j^* P_\Lambda & \longrightarrow & {}^p j_* j^* P_\Lambda \\ & & \uparrow & & \uparrow & & \\ {}^p j_! j^* P_\Lambda & \longrightarrow & {}^p j_! j^* P_\Lambda & \longrightarrow & {}^p j_! j^* P_\Lambda & \longrightarrow & {}^p j_! j^* P_\Lambda \end{array}$$

Remarque : d'après le corollaire 5.2.2, ${}^p j_! j^* P_\Lambda$ et ${}^p j_* j^* P_\Lambda$ sont sans torsion, i.e. appartiennent à ${}^+ \mathcal{C} \cap \mathcal{C}$. Ainsi ${}^p j_! j^* P_\Lambda \longrightarrow {}^p j_! j^* P_\Lambda$ (resp. ${}^p j_* j^* P_\Lambda \longrightarrow {}^p j_* j^* P_\Lambda$) se factorise par la partie libre de ${}^p j_! j^* P_\Lambda$ (resp. de ${}^p j_* j^* P_\Lambda$).

On pose alors :

- $\mathfrak{F}_{I_\downarrow, 0}(P_\Lambda)$ l'image dans ${}^+ \mathcal{C}$ de ${}^p j_! j^* P_\Lambda \rightarrow P_\Lambda$;
- $\mathfrak{F}_{I_\downarrow, -1}(P_\Lambda)$ le noyau dans \mathcal{C} de $\mathfrak{F}_{I_\downarrow, 0}(P_\Lambda) \rightarrow {}^p j_* j^* P_\Lambda$.
- $\mathfrak{F}_{N_\downarrow, 0}(P_\Lambda)$ le noyau dans \mathcal{C} de $P_\Lambda \rightarrow {}^p j_* j^* P_\Lambda$;
- des inclusions

$${}^p j_! j^* P_\Lambda \hookrightarrow P_\Lambda / \mathfrak{F}_{N_\downarrow, 0}(P_\Lambda) \hookrightarrow {}^p j_* j^* P_\Lambda$$

il existe $P'_{\Lambda, 1} \subset P_\Lambda$ contenant $\mathfrak{F}_{N_\downarrow, 0}(P_\Lambda)$ tel que $P'_{\Lambda, 1} / \mathfrak{F}_{N_\downarrow, 0}(P_\Lambda) \simeq {}^p j_! j^* P_\Lambda$. On définit alors $\mathfrak{F}_{N_\downarrow, 1}(P_\Lambda)$ comme le saturé au sens de 5.1.7.

On a alors :

- comme $\mathfrak{F}_{I_\downarrow, 0}(P_\Lambda)$ est un quotient dans ${}^+ \mathcal{C}$ d'un faisceau pervers ${}^p j_! j^* P_\Lambda \in \mathcal{F}$ divisible ; il est donc sans torsion i.e. dans $\mathcal{C} \cap {}^+ \mathcal{C}$;
- $\mathfrak{F}_{I_\downarrow, -1}(P_\Lambda)$ comme sous-objet dans \mathcal{C} de $\mathfrak{F}_{I_\downarrow, 0}(P_\Lambda) \in \mathcal{F}$ est sans torsion ;
- $\mathfrak{F}_{N_\downarrow, 0}(P_\Lambda)$, $\mathfrak{F}_{N_\downarrow, 1}(P_\Lambda)$, $\mathfrak{F}_{N_\downarrow, 1}(P_\Lambda) / \mathfrak{F}_{I_\downarrow, 0}(P_\Lambda)$ et $P_\Lambda / \mathfrak{F}_{N_\downarrow, 1}(P_\Lambda)$ sont sans torsion, i.e. dans $\mathcal{C} \cap {}^+ \mathcal{C}$.

On a ainsi des inclusions de faisceaux pervers sans torsion

$$\mathfrak{F}_{I_\downarrow, -1}(P_\Lambda) \subset \mathfrak{F}_{I_\downarrow, 0}(P_\Lambda) \subset P_\Lambda, \quad \mathfrak{F}_{N_\downarrow, 0}(P_\Lambda) \subset \mathfrak{F}_{N_\downarrow, 1}(P_\Lambda) \subset P_\Lambda$$

telles que :

- $P_\Lambda / \mathfrak{F}_{I_\downarrow, 0}(P_\Lambda)$ est, en tant que quotient dans ${}^+ \mathcal{C}$ d'un faisceau pervers divisible, est dans $\mathcal{C} \cap {}^+ \mathcal{C}$;
- $\mathfrak{F}_{I_\downarrow, 0}(P_\Lambda) / \mathfrak{F}_{I_\downarrow, -1}(P_\Lambda)$ est, en tant que quotient dans \mathcal{C} d'un faisceau pervers libre, est dans $\mathcal{C} \cap {}^+ \mathcal{C}$;
- ${}^p j_! j^* P_\Lambda \hookrightarrow \mathfrak{F}_{I_\downarrow, 0}(P_\Lambda) / \mathfrak{F}_{I_\downarrow, -1}(P_\Lambda) \hookrightarrow {}^p j_! j^* P_\Lambda$;
- ${}^p j_* j^* P_\Lambda \hookrightarrow \mathfrak{F}_{N_\downarrow, 1}(P_\Lambda) / \mathfrak{F}_{N_\downarrow, 0}(P_\Lambda) \hookrightarrow {}^p j_* j^* P_\Lambda$.

Remarque : les filtrations $\mathfrak{F}_{I_\downarrow, \bullet}$ et $\mathfrak{F}_{N_\downarrow, \bullet}$ sont duales l'une de l'autre au sens de la proposition suivante.

6.1.1. Proposition. — Si \mathcal{D} est muni d'une dualité D qui :

- échange ! et * ;
- permute \mathcal{C} et ${}^+\mathcal{C}$;
- et telle que $DP_\Lambda \simeq P_\Lambda$.

On a alors

$$\begin{aligned} \mathfrak{F}_{I_\downarrow, -1}(P_\Lambda) &\simeq D\left(P_\Lambda/\mathfrak{F}_{N_\downarrow, 1}(P_\Lambda)\right) \\ \mathfrak{F}_{I_\downarrow, 0}(P_\Lambda)/\mathfrak{F}_{I_\downarrow, -1}(P_\Lambda) &\simeq D\left(\mathfrak{F}_{N_\downarrow, 1}(P_\Lambda)/\mathfrak{F}_{N_\downarrow, 0}(P_\Lambda)\right) \\ \mathfrak{F}_{I_\downarrow, 0}(P_\Lambda) &\simeq D\left(P_\Lambda/\mathfrak{F}_{N_\downarrow, 0}(P_\Lambda)\right). \end{aligned}$$

Démonstration. — Remarquons que si $P \hookrightarrow Q$ est une injection dans \mathcal{C} alors $DQ \twoheadrightarrow DP$ est une surjection dans ${}^+\mathcal{C}$. En dualisant les flèches suivantes dans \mathcal{C} :

$${}^{p^+}j_!j^*P_\Lambda \rightarrow P_\Lambda \rightarrow P_\Lambda/\mathfrak{F}_{N_\downarrow, 0}(P_\Lambda) \hookrightarrow {}^{p^+}j_*j^*P_\Lambda$$

on obtient les suivantes dans ${}^+\mathcal{C}$:

$${}^{p^+}j_!j^*P \twoheadrightarrow D(P_\Lambda/\mathfrak{F}_{N_\downarrow, 0}(P_\Lambda)) \hookrightarrow P_\Lambda \rightarrow {}^{p^+}j_*j^*P_\Lambda$$

et donc $D(P_\Lambda/\mathfrak{F}_{N_\downarrow, 0}(P_\Lambda)) \simeq \mathfrak{F}_{I_\downarrow, 0}(P_\Lambda)$. On procède de même pour

$$\mathfrak{F}_{N_\downarrow, 1}(P_\Lambda)/\mathfrak{F}_{N_\downarrow, 0}(P_\Lambda) \hookrightarrow P_\Lambda/\mathfrak{F}_{N_\downarrow, 0}(P_\Lambda) \hookrightarrow {}^{p^+}j_*j^*P_\Lambda$$

ce qui donne dans ${}^+\mathcal{C}$:

$${}^{p^+}j_!j^*P_\Lambda \twoheadrightarrow D(P_\Lambda/\mathfrak{F}_{N_\downarrow, 0}(P_\Lambda)) \twoheadrightarrow D(\mathfrak{F}_{N_\downarrow, 1}(P_\Lambda)/\mathfrak{F}_{N_\downarrow, 0}(P_\Lambda))$$

avec dans ${}^+\mathcal{C}$,

$${}^{p^+}j_!j^*P_\Lambda \twoheadrightarrow D(\mathfrak{F}_{N_\downarrow, 1}(P_\Lambda)/\mathfrak{F}_{N_\downarrow, 0}(P_\Lambda)) \twoheadrightarrow {}^{p^+}j_!j^*P_\Lambda$$

et donc $D(\mathfrak{F}_{N_\downarrow, 1}(P_\Lambda)/\mathfrak{F}_{N_\downarrow, 0}(P_\Lambda)) \simeq \mathfrak{F}_{I_\downarrow, 0}(P_\Lambda)/\mathfrak{F}_{I_\downarrow, -1}(P_\Lambda)$. On dualise enfin la suite exacte dans \mathcal{C} :

$$0 \rightarrow \mathfrak{F}_{N_\downarrow, 1}(P_\Lambda)/\mathfrak{F}_{N_\downarrow, 0}(P_\Lambda) \rightarrow P_\Lambda/\mathfrak{F}_{N_\downarrow, 0}(P_\Lambda) \rightarrow P_\Lambda/\mathfrak{F}_{N_\downarrow, 1}(P_\Lambda) \rightarrow 0$$

ce qui donne la suite exacte suivante de ${}^+\mathcal{C}$:

$$0 \rightarrow D\left(P_\Lambda/\mathfrak{F}_{N_\downarrow, 1}(P_\Lambda)\right) \rightarrow \mathfrak{F}_{I_\downarrow, 0}(P_\Lambda) \rightarrow \mathfrak{F}_{I_\downarrow, 0}(P_\Lambda)/\mathfrak{F}_{I_\downarrow, -1}(P_\Lambda) \rightarrow 0$$

et donc $D\left(P_\Lambda/\mathfrak{F}_{N_\downarrow, 1}(P_\Lambda)\right) \simeq \mathfrak{F}_{I_\downarrow, -1}(P_\Lambda)$. □

6.2. Recollement d'une t -structure perverse. — Comme au §5.4, S désignera soit le spectre d'un corps, soit celui d'un anneau de valuation discrète hensélien A ou encore celui de \overline{A} le normalisé de A dans une clôture algébrique du corps des fractions de A . On considère alors X un schéma de type fini sur S . Pour $j : U \hookrightarrow X$ une inclusion d'un ouvert dense contenant la fibre générique X_η (resp. $X_{\overline{\eta}}$) si $S = \text{Spec } A$ (resp. $S = \text{Spec } \overline{A}$) avec $i : F := X - U \hookrightarrow X$, on est dans une situation de recollement ce qui permet d'appliquer les constructions du paragraphe précédent.

6.2.1. Lemme. — Pour $S = \text{Spec } k$ et $P_{\overline{z}_i} \in {}^p\mathcal{M}(X, \overline{z}_i) \cap {}^{p^+}\mathcal{M}(X, \overline{z}_i)$ tel que $P_{\overline{z}_i} := P_\Lambda \otimes_{\overline{z}_i} \overline{\mathbb{Q}}_i$ est simple de support dense dans X . Il existe alors un ouvert dense $j : U \hookrightarrow X$ et un système local libre $\mathcal{L}_{\overline{z}_i}$ sur U tels que

$${}^{p^+}j_!*\mathcal{L}_{\overline{z}_i}[-\dim X] \hookrightarrow P_{\overline{z}_i} \hookrightarrow {}^{p^+}j_!*\mathcal{L}_{\overline{z}_i}[-\dim X].$$

Démonstration. — Pour tout $s < -\dim X$, $h^{-s}P_{\overline{\mathbb{Z}}_l}$ est nul de support et pour $s = -\dim X$ soit $j : U \hookrightarrow X$ tel que $\mathcal{L}_{\overline{\mathbb{Z}}_l}[-\dim X] := j^*P_{\overline{\mathbb{Z}}_l}$ est localement constant sans torsion. Avec les notations du paragraphe précédent, soit

$$\mathfrak{F}_{I_{\downarrow}, -1}(P_{\overline{\mathbb{Z}}_l}) \subset \mathfrak{F}_{I_{\downarrow}, 0}(P_{\overline{\mathbb{Z}}_l}) \subset P_{\overline{\mathbb{Z}}_l}.$$

Comme

- $P_{\overline{\mathbb{Q}}_l}$ est simple ;
- $\mathfrak{F}_{I_{\downarrow}, 0}(P_{\overline{\mathbb{Z}}_l}) \otimes_{\overline{\mathbb{Z}}_l} \overline{\mathbb{Q}}_l$ est non nul, vu le choix de U ;

on en déduit que $\mathfrak{F}_{I_{\downarrow}, -1}(P_{\overline{\mathbb{Z}}_l}) \otimes_{\overline{\mathbb{Z}}_l} \overline{\mathbb{Q}}_l$ est nul et comme $\mathfrak{F}_{I_{\downarrow}, -1}(P_{\overline{\mathbb{Z}}_l})$ est sans torsion, il est nul. De même $(P_{\overline{\mathbb{Z}}_l}/\mathfrak{F}_{I_{\downarrow}, 0}(P_{\overline{\mathbb{Z}}_l})) \otimes_{\overline{\mathbb{Z}}_l} \overline{\mathbb{Q}}_l$ est nul et sans torsion de sorte que $P_{\overline{\mathbb{Z}}_l}/\mathfrak{F}_{I_{\downarrow}, 0}(P_{\overline{\mathbb{Z}}_l})$ est nul. \square

6.2.2. Lemme. — Soient $P_{\overline{\mathbb{Z}}_l}^-$ et $P_{\overline{\mathbb{Z}}_l}$ des faisceaux pervers sans torsion sur X et $j : U \hookrightarrow X$ une inclusion affine d'un ouvert dense. On suppose que :

- on a une suite exacte courte dans ${}^p\mathcal{M}(X, \overline{\mathbb{Z}}_l)$

$$0 \rightarrow P_{\overline{\mathbb{Z}}_l}^- \rightarrow P_{\overline{\mathbb{Z}}_l} \rightarrow i_*T \rightarrow 0$$

où $i : F = X - U \hookrightarrow X$ et T est sans torsion dans ${}^p\mathcal{M}(F, \overline{\mathbb{Z}}_l)$;

- il existe un système local $\mathcal{L}_{\overline{\mathbb{Z}}_l}$ sur U ainsi qu'un diagramme commutatif dans ${}^p\mathcal{M}(X, \overline{\mathbb{Z}}_l)$

$$\begin{array}{ccc} P_{\overline{\mathbb{Z}}_l}^- & \hookrightarrow & P_{\overline{\mathbb{Z}}_l} \\ & \searrow & \swarrow \\ & & {}^pj_{!*}\mathcal{L}_{\overline{\mathbb{Z}}_l}[-\dim X] \end{array}$$

dont les noyaux $P_{\overline{\mathbb{Z}}_l, 0}^-$ et $P_{\overline{\mathbb{Z}}_l, 0}^-$ sont à support dans F .

Alors T est nul.

Démonstration. — La suite exacte courte de l'énoncé fournit un élément de $\mathrm{Hom}_{D(X, \overline{\mathbb{Z}}_l)}(i_*T, P_{\overline{\mathbb{Z}}_l}^-[1])$ et donc un élément de $\mathrm{Hom}_{D(F, \overline{\mathbb{Z}}_l)}(i_*T, {}^pj_{!*}\mathcal{L}_{\overline{\mathbb{Z}}_l}[-\dim X + 1])$. Autrement dit la suite exacte courte de l'énoncé fournit par « pushout » une suite exacte courte

$$\begin{array}{ccccccc} 0 & \longrightarrow & P_{\overline{\mathbb{Z}}_l}^- & \longrightarrow & P_{\overline{\mathbb{Z}}_l} & \longrightarrow & T \longrightarrow 0 \\ & & \downarrow & & \downarrow & & \parallel \\ 0 & \longrightarrow & {}^pj_{!*}\mathcal{L}_{\overline{\mathbb{Z}}_l}[-\dim X] & \longrightarrow & A & \longrightarrow & T \longrightarrow 0 \end{array}$$

Par ailleurs comme $P_{\overline{\mathbb{Z}}_l}^- \rightarrow {}^pj_{!*}\mathcal{L}_{\overline{\mathbb{Z}}_l}[-\dim X]$ est surjective dans ${}^p\mathcal{M}(X, \overline{\mathbb{Z}}_l)$ et donc aussi dans ${}^{p+}\mathcal{M}(X, \overline{\mathbb{Z}}_l)$, on en déduit que $P_{\overline{\mathbb{Z}}_l}^- \rightarrow A$ est surjective dans ${}^{p+}\mathcal{M}(X, \overline{\mathbb{Z}}_l)$ et donc A est en tant que quotient dans ${}^{p+}\mathcal{M}(X, \overline{\mathbb{Z}}_l)$ d'un objet divisible, est sans torsion dans ${}^{p+}\mathcal{M}(X, \overline{\mathbb{Z}}_l)$ et donc aussi dans ${}^p\mathcal{M}(X, \overline{\mathbb{Z}}_l)$. En outre le diagramme commutatif de l'énoncé fournit alors une surjection $A \rightarrow {}^pj_{!*}\mathcal{L}_{\overline{\mathbb{Z}}_l}[-\dim X]$ dont le noyau K est libre et tel que $K \otimes_{\overline{\mathbb{Z}}_l} \overline{\mathbb{Q}}_l$ est nul de sorte que K est nul. Ainsi $A \simeq {}^pj_{!*}\mathcal{L}_{\overline{\mathbb{Z}}_l}[-\dim X]$ et comme T est à support dans F , $\mathcal{L}_{\overline{\mathbb{Z}}_l}[-\dim X] \rightarrow j^*A$ est un isomorphisme de sorte que d'après 5.2.4, ${}^pj_{!*}\mathcal{L}_{\overline{\mathbb{Z}}_l}[-\dim X] \hookrightarrow A$ est un isomorphisme et donc T est nul. \square

6.2.3. Lemme. — Soit

$$\begin{array}{ccccc} U_0 & \hookrightarrow & & & \\ \downarrow \circ j & \searrow j_0 & & & \\ U & \hookrightarrow & X & \longleftarrow & F := X - U \end{array}$$

avec :

- U et U_0 des ouverts denses de X si $S = \text{Spec } k$;
- $U_0 = X_\eta$ (resp. $U_0 = X_{\overline{\eta}}$) si $S = \text{Spec } A$ (resp. $S = \text{Spec } \overline{A}$).

On suppose que $j_{0,*}$ (resp. $j_{0,!}$) est p -exact (resp. $p+$ -exact) de sorte que pour $L_{\overline{Z}_l} \in {}^p\mathcal{M}(U_0, \overline{Z}_l) \cap {}^{p+}\mathcal{M}(U_0, \overline{Z}_l)$, les faisceaux pervers $P_{\overline{Z}_l} = j_{0,!}L_{\overline{Z}_l}$ et $Q_{\overline{Z}_l} = j_{0,*}L_{\overline{Z}_l}$ sont sans torsion dans ${}^p\mathcal{M}(X, \overline{Z}_l)$. Avec les notations du paragraphe précédent on a :

- $\mathfrak{F}_{I_\downarrow,0}(P_{\overline{Z}_l}) = \mathfrak{F}_{N_\downarrow,1}(P_{\overline{Z}_l}) = P_{\overline{Z}_l}$ ainsi que la suite exacte dans ${}^p\mathcal{M}(U, \overline{Z}_l) \cap {}^{p+}\mathcal{M}(U, \overline{Z}_l)$

$$0 \rightarrow \mathfrak{F}_{I_\downarrow,-1}(P_{\overline{Z}_l}) = \mathfrak{F}_{N_\downarrow,0}(P_{\overline{Z}_l}) \rightarrow P_{\overline{Z}_l} \rightarrow {}^p j_{!*} j^* P_{\overline{Z}_l} \rightarrow 0;$$
- $\mathfrak{F}_{I_\downarrow,-1}(Q_{\overline{Z}_l}) = \mathfrak{F}_{N_\downarrow,0}(Q_{\overline{Z}_l})$ est nul et $\mathfrak{F}_{N_\downarrow,1}(Q_{\overline{Z}_l}) = \mathfrak{F}_{I_\downarrow,0}(Q_{\overline{Z}_l}) \simeq {}^{p+} j_{!*} j^* P_{\overline{Z}_l} \rightarrow P_{\overline{Z}_l}$ ce qui donne la suite exacte dans ${}^p\mathcal{M}(U, \overline{Z}_l) \cap {}^{p+}\mathcal{M}(U, \overline{Z}_l)$

$$0 \rightarrow {}^{p+} j_{!*} j^* P_{\overline{Z}_l} \rightarrow P_{\overline{Z}_l} \rightarrow P_{\overline{Z}_l} / \mathfrak{F}_{I_\downarrow,0}(P_{\overline{Z}_l}) = P_{\overline{Z}_l} / \mathfrak{F}_{N_\downarrow,1}(P_{\overline{Z}_l}) \rightarrow 0.$$

Démonstration. — Du fait $j_{0,!}$ est $p+$ -exact et comme $L_{\overline{Z}_l}$ est sans torsion dans ${}^{p+}\mathcal{M}(U_0, \overline{Z}_l)$, d'après le corollaire 5.2.3, $j_{0,!}L_{\overline{Z}_l} = {}^{p+} j_{0,!}L_{\overline{Z}_l}$ est sans torsion dans ${}^{p+}\mathcal{M}(X, \overline{Z}_l)$ et donc isomorphe à ${}^p j_{0,!}L_{\overline{Z}_l} = {}^p j_{0,!} \circ {}^p j_{0,*} L_{\overline{Z}_l}$. On en déduit alors que $j^* P_{\overline{Z}_l} \simeq {}^{p+} j_{0,!} L_{\overline{Z}_l}$ et donc ${}^{p+} j_{!*} j^* P_{\overline{Z}_l} = {}^p j_{0,!} L_{\overline{Z}_l} = P_{\overline{Z}_l}$. Autrement dit $\mathfrak{F}_{I_\downarrow,0}(P_{\overline{Z}_l}) = P_{\overline{Z}_l}$. Par ailleurs dans ${}^p\mathcal{M}(X, \overline{Z}_l)$, on a une surjection ${}^p j_{!*} j^* P_{\overline{Z}_l} \rightarrow {}^{p+} j_{!*} j^* P_{\overline{Z}_l}$ avec comme $P_{\overline{Z}_l}$ est sans torsion, ${}^{p+} j_{!*} j^* P_{\overline{Z}_l}$ sans torsion dans ${}^p\mathcal{M}(X, \overline{Z}_l)$, d'où le résultat.

Pour $Q_{\overline{Z}_l}$ le raisonnement est similaire ; on a $Q_{\overline{Z}_l} \simeq {}^p j_{!*} j^* Q_{\overline{Z}_l}$ et donc $\mathfrak{F}_{I_\downarrow,-1}(Q_{\overline{Z}_l}) = \mathfrak{F}_{N_\downarrow,0}(Q_{\overline{Z}_l})$ est nul. De l'injection dans ${}^{p+}\mathcal{M}(X, \overline{Z}_l)$,

$${}^{p+} j_{!*} j^* Q_{\overline{Z}_l} \hookrightarrow {}^{p+} j_{!*} j^* Q_{\overline{Z}_l},$$

on obtient $\mathfrak{F}_{N_\downarrow,1}(Q_{\overline{Z}_l}) = \mathfrak{F}_{I_\downarrow,0}(Q_{\overline{Z}_l}) \simeq {}^{p+} j_{!*} j^* P_{\overline{Z}_l} \rightarrow P_{\overline{Z}_l}$ et la suite exacte courte de l'énoncé. \square

6.3. Filtrations de stratification. — Afin d'étudier les faisceaux pervers d'Harris-Taylor (resp. le faisceau pervers des cycles proches), nous considérons un schéma X sur $\text{Spec } \overline{\mathbb{F}}_p$ (resp. $\text{Spec } \overline{A}$) muni d'une stratification

$$X^{\geq d} \subset X^{\geq d-1} \subset \dots \subset X^{\geq 2} \subset X^{\geq 1} = X$$

(resp. $X^{\geq d} \subset X^{\geq d-1} \subset \dots \subset X^{\geq 2} \subset X^{\geq 1} = X_{\overline{s}} \subset X^{\geq 0} = X$)

avec pour tout $1 \leq h \leq d$, $X^{\geq h}$ de dimension $d - h$. Nous étudions alors des faisceaux pervers sur X constructibles relativement à cette stratification au sens du §2.2.10 de [2]. On note $j^{\geq h} : X^{=h} \hookrightarrow X^{\geq h}$ et $i^h : X^{\geq h} \hookrightarrow X$.

6.3.1. Proposition. — Soit $P_{\overline{Z}_l}$ un faisceau p et $p+$ pervers et $[P_{\overline{Q}_l}] = \sum_i [P_{\overline{Q}_l, i}]$ sa décomposition dans le groupe de Grothendieck en faisceaux pervers simples $P_{\overline{Q}_l, i} = j_{i,!} \mathcal{L}_{\overline{Q}_l, i}$. Alors $P_{\overline{Z}_l}$ est munie d'une filtration

$$0 = F_{\overline{Z}_l, -s_-} \subset F_{\overline{Z}_l, -s_-+1} \subset \dots \subset F_{\overline{Z}_l, -1} \subset F_{\overline{Z}_l, 0} \subset F_{\overline{Z}_l, 1} \subset \dots \subset F_{\overline{Z}_l, s_+} = P_{\overline{Z}_l}$$

telle que :

- les gradués $gr_{\overline{Z}_l, k} := F_{\overline{Z}_l, k} / F_{\overline{Z}_l, k-1}$ sont sans torsion ;
- $P_{\overline{Z}_l}$ détermine une structure entière $\mathcal{L}_{\overline{Z}_l, i}$ sur chacun des $\mathcal{L}_{\overline{Q}_l, i}$ et pour tout $-s_- \leq k \leq s_+$, il existe $r(k)$ tel que

$$i_{r(k)}^* {}^p j_{r(k), !} \mathcal{L}_{\overline{Z}_l, r(k)} \hookrightarrow gr_{\overline{Z}_l, k} \hookrightarrow i_{r(k)}^* {}^{p+} j_{r(k), !} \mathcal{L}_{\overline{Z}_l, r(k)};$$

- en notant d_r la dimension de $P_{\overline{Q}_l, r}$, pour tout $k < k'$ tels que $d_r(k) = d_r(k')$ on a

$$\left\{ \begin{array}{l} \forall k \leq k'' \leq k', \quad d_r(k'') = d_r(k), \\ \text{ou} \\ \exists k < k'' < k' \text{ tel que } d_r(k) < d_r(k''); \end{array} \right.$$

- $d_{r(0)}$ est maximal et vérifie $d_{r(1)} < d_{r(0)}$.

Démonstration. — On reprend alors les constructions du paragraphe précédent en posant :

- $\mathfrak{F}_{I_\downarrow, 0}(P_{\overline{\mathbb{Z}}_l})$ l'image dans ${}^{p+}\mathcal{M}(X, \overline{\mathbb{Z}}_l)$ de $j_{d-1, !} j_{d-1}^* P_{\overline{\mathbb{Z}}_l} \rightarrow P_{\overline{\mathbb{Z}}_l}$;
- $\mathfrak{F}_{I_\downarrow, -1}(P_{\overline{\mathbb{Z}}_l})$ le noyau dans ${}^p\mathcal{M}(X, \overline{\mathbb{Z}}_l)$ de $\mathfrak{F}_{I_\downarrow, 0}(P_{\overline{\mathbb{Z}}_l}) \rightarrow j_{d-1, * } j_{d-1}^* P_{\overline{\mathbb{Z}}_l}$.

Comme précédemment on a :

- $\mathfrak{F}_{I_\downarrow, -1}(P_{\overline{\mathbb{Z}}_l})$, $\mathfrak{F}_{I_\downarrow, 0}(P_{\overline{\mathbb{Z}}_l})$, $\mathfrak{F}_{I_\downarrow, 0}(P_{\overline{\mathbb{Z}}_l})/\mathfrak{F}_{I_\downarrow, -1}(P_{\overline{\mathbb{Z}}_l})$ et $P_{\overline{\mathbb{Z}}_l}/\mathfrak{F}_{I_\downarrow, 0}(P_{\overline{\mathbb{Z}}_l})$ sont sans torsion dans ${}^p\mathcal{M}(X, \overline{\mathbb{Z}}_l)$;
- $\mathfrak{F}_{I_\downarrow, -1}(P_{\overline{\mathbb{Z}}_l})$ et $P_{\overline{\mathbb{Z}}_l}/\mathfrak{F}_{I_\downarrow, 0}(P_{\overline{\mathbb{Z}}_l})$ sont à support dans $X^{[d-2]}$;
- des inclusions

$${}^p j_{d-1, !} j_{d-1}^* P_{\overline{\mathbb{Z}}_l} \hookrightarrow \mathfrak{F}_{I_\downarrow, 0}(P_{\overline{\mathbb{Z}}_l})/\mathfrak{F}_{I_\downarrow, -1}(P_{\overline{\mathbb{Z}}_l}) \hookrightarrow {}^{p+} j_{d-1, !} j_{d-1}^* P_{\overline{\mathbb{Z}}_l}.$$

Si le système local $j_{d-1}^* P_{\overline{\mathbb{Z}}_l}[d-1]$ sur $X^{(d-1)}$ n'est pas irréductible en tant que représentation de $\pi_1(X^{(d-1)})$, on le filtre de sorte que les gradués le soient. Ces gradués fournissent alors une structure entière sur les faisceaux pervers simples $P_{\overline{\mathbb{Q}}_l, i}$ de dimension $d-1$. On recommence ensuite le procédé pour les $\overline{\mathbb{Z}}_l$ -faisceaux pervers sans torsion $\mathfrak{F}_{I_\downarrow, -1}(P_{\overline{\mathbb{Z}}_l})$ et $P_{\overline{\mathbb{Z}}_l}/\mathfrak{F}_{I_\downarrow, 0}(P_{\overline{\mathbb{Z}}_l})$ sur $X^{[d-2]}$ et ainsi de suite. La dernière condition sert juste à fixer les indices de la filtration. \square

6.3.2. Notation. — Une filtration d'un faisceau pervers P_Λ vérifiant les propriétés de la proposition précédente sera dite de stratification. La filtration de stratification $\mathfrak{F}_{I_\downarrow, \bullet}$ (resp. $\mathfrak{F}_{N_\downarrow, \bullet}$) sera dite en amont par les images (resp. en amont par les noyaux), i.e. en partant de la strate de plus grande dimension vers celle la plus petite.

Remarque : à chaque étape de la construction de la filtration, on peut choisir de considérer la construction $\mathfrak{F}_{I_\downarrow, \bullet}$ ou $\mathfrak{F}_{N_\downarrow, \bullet}$, de sorte qu'à priori il n'y a pas unicité d'une filtration de stratification. Dans le cas $\Lambda = \overline{\mathbb{Z}}_l$, la « position » d'un gradué

$$i_{r(k)}^* {}^p j_{r(k), !} \mathcal{L}_{\overline{\mathbb{Z}}_l, r(k)} \hookrightarrow gr_{\overline{\mathbb{Z}}_l, k} \hookrightarrow i_{r(k)}^* {}^{p+} j_{r(k), !} \mathcal{L}_{\overline{\mathbb{Z}}_l, r(k)}$$

ainsi que le réseau $\mathcal{L}_{\overline{\mathbb{Z}}_l, r(k)}$ dépendent de la filtration de stratification considérée.

6.3.3. Notation. — Dans le cas où P_Λ admet une unique filtration de stratification on notera $gr_k^{\mathfrak{F}}(P_\Lambda)$ ses gradués.

Remarque : c'est en particulier le cas lorsque la filtration par les socles de $P_\Lambda \otimes_\Lambda K$ est minimale, i.e. à chaque étape le plus grand sous-objet facteur direct est simple.

Remarque : dans la suite nous considérerons aussi les filtrations selon la dimension croissante des strates, i.e. en filtrant tout d'abord $j^{d<1, *} P$ où

$$j^{h<1} : X^{h<1} := X^{\geq 1} - X^{\geq h} \hookrightarrow X^{\geq 1}$$

puis en considérant les constructions du paragraphe précédent relativement à la situation de recollement donnée par $X^{d<1} \hookrightarrow X \hookleftarrow X^d$ ainsi que la proposition 5.2.4. Les filtrations seront alors notée

$$\mathfrak{F}_{I_\uparrow, \bullet} \quad (\text{resp. } \mathfrak{F}_{N_\uparrow, \bullet})$$

et dite en aval par les images (resp. en aval par les noyaux).

Remarque : bien entendu, on pourrait considérer des filtrations de stratification en commençant par filtrer $j^{h<1, *} P$.

Étant donnée une filtration $\mathfrak{F}_\Lambda^\bullet$ d'un faisceau pervers P_Λ , on dispose d'une suite spectrale faisceutique

$$E_{1, \mathfrak{F}_\Lambda^\bullet}^{p, q} = h^{p+q} gr_{\mathfrak{F}_\Lambda^\bullet, -q} \Rightarrow h^{p+q} P_\Lambda$$

et d'une suite spectrale cohomologique

$$E_{1, \mathfrak{F}_\Lambda^\bullet}^{p, q} = H^{p+q}(X, gr_{\mathfrak{F}_\Lambda^\bullet, -q}) \Rightarrow H^{p+q}(X, P_\Lambda).$$

6.3.4. Corollaire. — Soient $P_{\bar{\mathbb{Z}}_l} \in {}^p\mathcal{M}(X, \bar{\mathbb{Z}}_l) \cap {}^{p+}\mathcal{M}(X, \bar{\mathbb{Z}}_l)$ et

$$0 = P_{\bar{\mathbb{Z}}_l,0} \subset P_{\bar{\mathbb{Z}}_l,1} \subset \cdots \subset P_{\bar{\mathbb{Z}}_l,r} = P_{\bar{\mathbb{Z}}_l}$$

une filtration de stratification :

- $P_{\bar{\mathbb{Z}}_l,i} \otimes_{\bar{\mathbb{Z}}_l} \mathbb{K}$ est une filtration de stratification du faisceau pervers $K_{\bar{\mathbb{Z}}_l} \otimes_{\bar{\mathbb{Z}}_l} \mathbb{K}$;
- les complexes $P_{\bar{\mathbb{Z}}_l,i} \otimes_{\bar{\mathbb{Z}}_l} \mathbb{F}$ forment une filtration par des faisceaux pervers de $P_{\bar{\mathbb{Z}}_l} \otimes_{\bar{\mathbb{Z}}_l} \mathbb{F}$ telle que les gradués $gr_{\mathbb{F},k}$ sont, dans le groupe de Grothendieck associé, égaux à la réduction du gradué $gr_{\mathbb{K},k}$ de la filtration $P_{\bar{\mathbb{Z}}_l,i} \otimes_{\bar{\mathbb{Z}}_l} \mathbb{K}$.

Remarque : d'après le premier point, si $P_{\bar{\mathbb{Z}}_l} \otimes_{\bar{\mathbb{Z}}_l} \bar{\mathbb{Q}}_l$ admet une unique filtration de stratification avec des gradués simples, alors il en est de même pour $P_{\bar{\mathbb{Z}}_l}$; on rencontrera cette situation dans le paragraphe suivant.

Démonstration. — Pour le premier point cela découle directement de l'exactitude du foncteur $\otimes_{\bar{\mathbb{Z}}_l} \mathbb{K}$. Pour le deuxième, il suffit de remarquer que les $P_{\bar{\mathbb{Z}}_l,i}$ et les $gr_k(P_{\bar{\mathbb{Z}}_l})$ sont sans torsion dans ${}^p\mathcal{M}(X, \bar{\mathbb{Z}}_l)$ de sorte que $P_{\bar{\mathbb{Z}}_l,i} \otimes_{\bar{\mathbb{Z}}_l} \bar{\mathbb{F}}_l = P_{\bar{\mathbb{Z}}_l,i} \otimes_{\bar{\mathbb{Z}}_l} \bar{\mathbb{F}}_l$ est pervers et s'injecte dans $P_{\bar{\mathbb{Z}}_l,i+1} \otimes_{\bar{\mathbb{Z}}_l} \bar{\mathbb{F}}_l$. \square

Remarque : à priori la filtration obtenue sur $\bar{\mathbb{F}}_l$ n'est pas une filtration de stratification. En effet les $gr_k(P_{\bar{\mathbb{Z}}_l}) \otimes_{\bar{\mathbb{Z}}_l} \bar{\mathbb{F}}_l$ ne sont pas forcément de la forme $j_{!*}^{\geq h} K_{\bar{\mathbb{F}}_l}$; le problème vient du fait que le foncteur de réduction ne commute pas toujours avec les extensions intermédiaires, comme on l'a vu au paragraphe précédent.

6.4. Application aux faisceaux pervers de Harris-Taylor. — Dans ce paragraphe, on se propose d'étudier les filtrations de stratification des $j_{!*}^{\geq tg} HT_{\Lambda}(\pi_v, \Pi_t)$ pour $\Lambda = \bar{\mathbb{Q}}_l$.

6.4.1. Proposition. — Pour tout $1 \leq t \leq s$, $j_{!*}^{\geq tg} HT_{\bar{\mathbb{Q}}_l}(\pi_v, \Pi_t)$ possède une unique filtration de stratification. Ses gradués $gr_{\bar{\mathbb{Q}}_l,!,t,k}^{\mathfrak{S}}$ sont :

- nuls pour $k > 0$;
- pour $k \leq 0$ il sont égaux à

$$j_{!*}^{\geq (t-k)g} HT_{\bar{\mathbb{Q}}_l}(\pi_v, \Pi_t \overrightarrow{\times} \overleftarrow{[-k-1]}_{\pi_v}) \otimes \Xi^{k/2}$$

Démonstration. — Le cas $t = s$ étant trivial, on suppose $1 \leq t < s$. On rappelle que d'après [8], pour tout $1 \leq t \leq s$, on a l'égalité suivante dans le groupe de Grothendieck

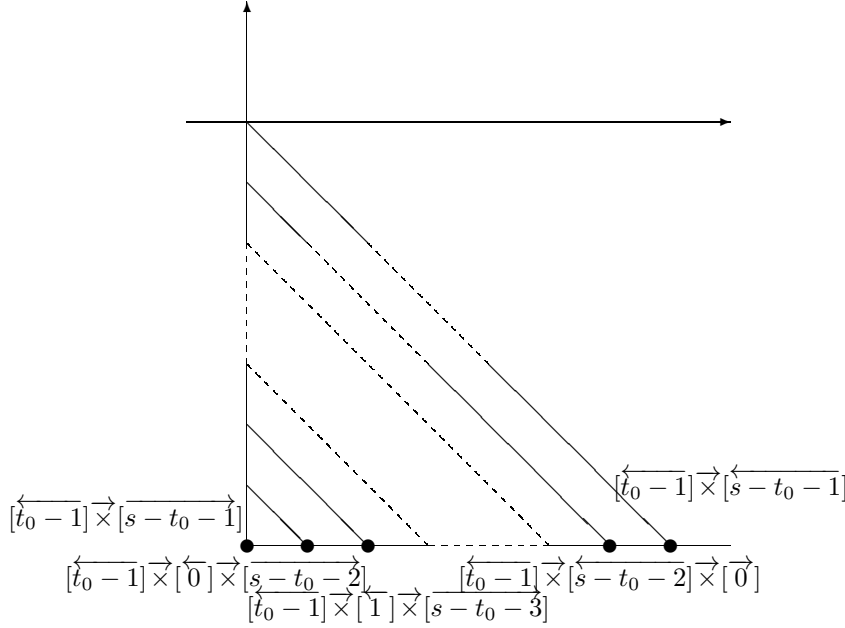
$$j_{!*}^{\geq tg} HT_{\bar{\mathbb{Q}}_l}(\pi_v, \Pi_t) = \sum_{r=0}^{s-t} j_{!*}^{\geq (t+r)g} HT_{\bar{\mathbb{Q}}_l}(\pi_v, \Pi_t \overrightarrow{\times} \overleftarrow{[r-1]}_{\pi_v}) \otimes \Xi^{-r/2}.$$

Par ailleurs d'après loc. cit, la fibre en un point supersingulier de $h^i j_{!*}^{\geq tg} HT_{\bar{\mathbb{Q}}_l}(\pi_v, \Pi_t)$ est nulle sauf pour $i = 1 - t$. On considère alors la fibre en un point supersingulier de la suite spectrale de stratification

$$E_{\bar{\mathbb{Q}}_l,!,t,1}^{p,q} = h^{p+q} gr_{\bar{\mathbb{Q}}_l,!,t,-p}^{\mathfrak{S}} \Rightarrow h^{p+q} j_{!*}^{\geq tg} HT_{\bar{\mathbb{Q}}_l}(\pi_v, \Pi_t),$$

dont on trouvera une illustration à la figure 1. Ainsi pour tout $p \geq 0$, il existe un unique q tel que la fibre en un point supersingulier de $E_{\bar{\mathbb{Q}}_l,!,t,1}^{p,q}$ soit non nulle. Le résultat découle alors du fait que la fibre en un point supersingulier de l'aboutissement est nulle. \square

Remarque : on est dans la situation où la filtration par les socles de $j_{!*}^{\geq tg} \mathcal{F}_{\bar{\mathbb{Q}}_l, \pi_v[t]_D, 1}$ est minimale, i.e. à chaque étape le plus grand facteur direct est simple.

FIGURE 1. Germes en un point supersingulier des $E_1^{p,q} = h^{p+q}gr_{1,-p}$

6.5. Application au faisceau pervers des cycles proches. — Comme précédemment, nous allons étudier une filtration de stratification du W_v -faisceau pervers de Hecke $\Psi_{\Lambda, \mathcal{I}}$ dans le cas $\Lambda = \overline{\mathbb{Q}}_l$. Avec les notations de 4.2.4, comme $\Psi_{\overline{\mathbb{Q}}_l, \mathcal{I}}$ est la somme directe sur les classes d'équivalence inertielles des représentations irréductibles cuspidales π_v de $GL_g(F_v)$ pour g décrivant les entiers de 1 à d , toute filtration de stratification de $\Psi_{\overline{\mathbb{Q}}_l, \mathcal{I}}$ est une somme directe de filtrations de stratification des $\Psi_{\overline{\mathbb{Q}}_l, \mathcal{I}, \pi_v}$. On fixe donc une représentation irréductible cuspidale π_v de $GL_g(F_v)$ pour $1 \leq g \leq d$ et on note $s = \lfloor \frac{d}{g} \rfloor$.

6.5.1. Proposition. — *La filtration de stratification en amont par les images de $\Psi_{\overline{\mathbb{Q}}_l, \mathcal{I}, \pi_v}$ est telle que ses gradués $gr_{\overline{\mathbb{Q}}_l, \Psi, k}^{\mathfrak{F}I_\downarrow}$ sont :*

- nuls pour $k \leq -s$ ou $k > \frac{s(s-1)}{2}$;
- pour tout $0 \leq t \leq s-1$ et pour tout $(t-1)(s-1) - (t-2)(t-1)/2 < k \leq t(s-1) - t(t-1)/2$, égaux à $\mathcal{P}_{\overline{\mathbb{Q}}_l}(s - \delta, \pi_v)(-\frac{1-s+2t+2\delta}{2})$ où on a posé $k = t(s-1) - t(t-1)/2 - \delta$ avec donc $0 \leq \delta \leq s-1-t$;

Remarque : plus explicitement $gr_{\overline{\mathbb{Q}}_l, \Psi, k}^{\mathfrak{F}I_\downarrow}$ est égal à :

- $\mathcal{P}_{\overline{\mathbb{Q}}_l}(1-k, \pi_v)(\frac{-k}{2})$ pour $1-s \leq k \leq 0$;
- $\mathcal{P}_{\overline{\mathbb{Q}}_l}(k+1, \pi_v)(\frac{k-1-1}{2})$ pour $1 \leq k \leq s-1$;
- $\mathcal{P}_{\overline{\mathbb{Q}}_l}(k-s+3)(\frac{k-s-2}{2})$ pour $s \leq k \leq s+s-3 = 2s-3$;
- $\mathcal{P}_{\overline{\mathbb{Q}}_l}(k-2s+6)(\frac{k-2s+2-3}{2})$ pour $2s-2 \leq k \leq 2s-2+s-4 = 3s-6$;
- et ainsi de suite ; on renvoie à la figure (??) pour une illustration de la suite spectrale associée.

Démonstration. — On reprend la construction d'une filtration de stratification inaugurée à la proposition 6.3.1. On rappelle que $\Psi_{\overline{\mathbb{Q}}_l, \mathcal{I}, \pi_v}$ est à support dans $X_{\mathcal{I}, \overline{\mathbb{Q}}_l}^{\geq g}$ avec $j^{\geq g, *} \Psi_{\overline{\mathbb{Q}}_l, \mathcal{I}, \pi_v} \simeq HT_{\overline{\mathbb{Q}}_l}(\pi_v, \pi_v) \otimes L_g(\pi_v)$ de sorte qu'en notant \mathcal{F}_0 l'image de $j_1^{\geq g} j^{\geq g, *} \Psi_{\overline{\mathbb{Q}}_l, \mathcal{I}, \pi_v}$ dans $\Psi_{\overline{\mathbb{Q}}_l, \mathcal{I}, \pi_v}$ et \mathcal{F}_{-1}

le noyau, on obtient

$$\mathcal{F}_{-1} \subset \mathcal{F}_0 \subset \Psi_{\overline{\mathbb{Q}}_l, \mathcal{I}, \pi_v}$$

avec $\mathcal{F}_0/\mathcal{F}_{-1} \simeq \mathcal{P}_{\overline{\mathbb{Q}}_l}(1, \pi_v)$ ainsi que le diagramme suivant :

$$\begin{array}{ccccccc}
 & & & & & & 0 \\
 & & & & & & \nearrow \\
 0 & \longrightarrow & P(1 \dagger 1) & \longrightarrow & j_!^{\geq g} j^{\geq g, *} \Psi_{\overline{\mathbb{Q}}_l, \mathcal{I}, \pi_v} & \longrightarrow & \mathcal{P}_{\overline{\mathbb{Q}}_l}(1, \pi_v) \longrightarrow 0 \\
 & & \downarrow & & \downarrow & & \nearrow \\
 & & \mathcal{F}_{-1} & & \mathcal{F}_0 & & \\
 & \nearrow & & & & & \\
 0 & & & & & &
 \end{array}$$

où $P(1 \dagger 1)$ est le premier cran de la filtration de stratification de $j_!^{\geq g} HT_{\overline{\mathbb{Q}}_l}(\pi_v, \pi_v) \otimes L_g(\pi_v)$ donné à la proposition 6.4.1. En raisonnant comme dans la preuve de la proposition 6.4.1, on montre qu'il existe une surjection $P(1 \dagger 1) \rightarrow \mathcal{F}_{-1}$. Des égalités suivantes dans le groupe de Grothendieck \mathfrak{G} ,

$$\begin{aligned}
 [P(1 \dagger 1)] &= \sum_{k=2}^s [j_!^{\geq kg} HT_{\overline{\mathbb{Q}}_l}(\pi_v, [\overleftarrow{0}]_{\pi_v} \overrightarrow{[k-2]}_{\pi_v}) \otimes L_g(\pi_v) \binom{k-1}{2}] \\
 e_{\pi_v}[\Psi_{\overline{\mathbb{Q}}_l, \mathcal{I}, \pi_v}] &= \sum_{k=1-s_g}^{s_g-1} \sum_{\substack{|k| < t \leq s_g \\ t \equiv k-1 \pmod{2}}} \mathcal{P}_{\overline{\mathbb{Q}}_l}(t, \pi_v) \binom{k}{2},
 \end{aligned}$$

on en déduit que

$$\sum_{k=2}^s [\mathcal{P}_{\overline{\mathbb{Q}}_l}(k, \pi_v) \binom{k-1}{2}] - [\mathcal{F}_{-1}]$$

est effectif. Montrons alors par récurrence sur k que pour tout $k \geq 1$, $\mathcal{P}_{\overline{\mathbb{Q}}_l}(k, \pi_v) \binom{k-1}{2}$ est un constituant de \mathcal{F}_0 . Le cas $k=1$ étant clair, supposons donc le résultat acquis jusqu'au rang $k-1$ et traitons le cas de k . Pour cela on considère la suite spectrale de cohomologie associée à la filtration de stratification de \mathcal{F}_{-1} et $\Psi_{\overline{\mathbb{Q}}_l, \mathcal{I}, \pi_v}/\mathcal{F}_0$. Comme $\mathcal{P}_{\overline{\mathbb{Q}}_l}(\pi_v, k-1) \binom{k-2}{2}$ est un constituant de \mathcal{F}_{-1} et que, pour z un point géométrique de $X_{\overline{\mathbb{Z}}, \overline{s}}^d$,

$$\text{ind } z^* h^{s-k+1} \mathcal{P}_{\overline{\mathbb{Q}}_l}(\pi_v, k-1) \simeq \pi_v[s]_D \otimes [\overleftarrow{k-2}]_{\pi_v} \overrightarrow{[s-k]}_{\pi_v} \otimes L_g(\pi_v) \binom{s-1}{2}$$

et que le membre de droite n'est pas dans l'aboutissement de la suite spectrale, vu la description des faisceaux de cohomologie des $\mathcal{P}_{\overline{\mathbb{Q}}_l}(\pi_v, t)$, on en déduit que $\mathcal{P}_{\overline{\mathbb{Q}}_l}(\pi_v, k) \binom{k-1}{2}$ doit être égal à un des $gr_{i, \Psi, \pi_v}^{\mathcal{F}}$ pour un indice i strictement plus petit que l'indice associé à $\mathcal{P}_{\overline{\mathbb{Q}}_l}(\pi_v, k-1) \binom{k-2}{2}$ et donc être un constituant de \mathcal{F}_0 .

Ainsi $P := \Psi_{\overline{\mathbb{Q}}_l, \mathcal{I}, \pi_v}/\mathcal{F}_0$ est à support dans $X_{\overline{\mathbb{Z}}, \overline{s}}^{\geq 2g}$ et tel que $j^{\geq 2g, *} P \simeq HT_{\overline{\mathbb{Q}}_l}(\pi_v, [\overleftarrow{1}]_{\pi_v}) \otimes L_g(\pi_v) \binom{-1}{2}$. En continuant alors le même procédé et le même raisonnement, on parvient au résultat. \square

On observe alors la propriété suivante.

6.5.2. Proposition. — *La filtration en amont par les images découpe une sous filtration*

$$0 = F(\pi_v, 0) \subset F(\pi_v, 1) \subset F(\pi_v, 2) \subset \cdots \subset F(\pi_v, s) = \Psi_{\overline{\mathbb{Q}}_l, \mathcal{I}, \pi_v}$$

telle que pour tout $1 \leq i \leq s$,

- l'image de $F(\pi_v, i)/F(\pi_v, i-1)$ dans le groupe de Grothendieck est égale à $\sum_{k=0}^{s-i} \mathcal{P}_{\mathbb{Q}_l}(i+k, \pi_v)(-\frac{i-k-1}{2})$;
- on a une surjection stricte $j_1^{\geq ig} HT_{\mathbb{Q}_l}(i, [\overleftarrow{i-1}]_{\pi_v}) \otimes L_g(\pi_v)(-\frac{i-1}{2}) \twoheadrightarrow F(\pi_v, i)/F(\pi_v, i-1)$;
- $F(\pi_v, i)$ admet $j_{1*}^{\geq ig} HT_{\mathbb{Q}_l}(i, [\overleftarrow{i-1}]_{\pi_v}) \otimes L_g(\pi_v)(-\frac{i-1}{2})$ comme unique quotient irréductible.

On note alors que pour tout $1 \leq i_1 < i_2 \leq s$ et pour tout point géométrique z , si la fibre $z^* h^{-\delta} F(\pi_v, i_1)/F(\pi_v, i_1-1)$ est non nulle alors $z^* h^{-\delta-1} F(\pi_v, i_2)/F(\pi_v, i_2-1)$ est nulle de sorte que la suite spectrale des faisceaux de cohomologie associée à la filtration $F(\pi_v, \bullet)$ dégénère en E_1 .

7. Torsion des fibres des faisceaux de cohomologie

Le but de ce paragraphe est de montrer que les $\mathcal{U}_{K, \mathbb{Z}_l, d}^i$ sont sans torsion pour tout i . Pour cela, on passe par voie globale et on commence par montrer que les faisceaux de cohomologie des faisceaux pervers d'Harris-Taylor sont sans torsion. Bien que cela ne soit pas nécessaire, par commodité dans la rédaction, on suppose par récurrence sur le modèle local, que pour tout $h < d$ et tout point fermé z de $X_{\mathcal{L}, \mathbb{Z}_l}^h$, les $h^i \Psi_{\mathcal{L}, \mathbb{Z}_l}$ sont sans torsion.

7.1. des p -faisceaux pervers d'Harris-Taylor. — Soient $g \geq 1$ et $\pi_v \in \text{Cusp}_{\mathbb{Q}_l, g}(F_v)$ fixés. Pour $1 \leq t \leq s := \lfloor \frac{d}{g} \rfloor$, soit $\Gamma_{\otimes t} = \Gamma_t(\pi_v) \otimes \Gamma_G(t)$ un réseau stable de $\pi_v[t]_D \otimes \Pi_t$. Affinons tout d'abord les notations de 4.2.2 : pour $\Gamma_t(\pi_v)$ un réseau stable de $\pi_v[t]_D$, on dispose d'un \mathbb{Z}_l -système local $\mathcal{F}_{\Gamma_t(\pi_v), 1}$ (resp. $\mathcal{F}_{\Gamma_t(\pi_v)}$) de $\mathcal{F}(\pi_v, t)_1$ (resp. $\mathcal{F}(\pi_v, t)$). Pour $\Gamma_G(t)$ un réseau stable d'une \mathbb{Q}_l -représentation irréductible Π_t de $GL_{tg}(F_v)$, on pose alors $\Gamma_{\otimes t} = \Gamma_t(\pi_v) \otimes \Gamma_G(t)$ et

$$HT_{\Gamma_{\otimes t}}(\pi_v, \Pi_t) = \mathcal{F}_{\Gamma_t(\pi_v)}[d-tg] \otimes \Gamma_G(t) \otimes \Xi_{\frac{tg-d}{2}}$$

le $\mathbb{Z}_l[G(\mathbb{A}^\infty)]$ -faisceau de Hecke induit sur $X_{\mathcal{L}, \mathbb{Z}_l}^{\frac{tg}{s}}$ à partir de $\mathcal{F}_{\Gamma_t(\pi_v), 1}$.

7.1.1. Proposition. — Avec les notations précédentes, $j_1^{\geq tg} HT_{\Gamma_{\otimes t}}(\pi_v, \Pi_t)$ vérifie les propriétés suivantes :

(1) il possède une unique filtration de stratification ; ses gradués $gr_{\Gamma_{\otimes t}, !t, -k}^{\mathfrak{F}}$ sont :

- (i) nuls pour $k < 0$ ou pour $k > s-t$;
- (ii) pour $0 \leq k \leq s-t$,

$$gr_{\Gamma_{\otimes t}, !t, -k}^{\mathfrak{F}} \simeq {}^p j_{1*}^{\geq (t+k)g} HT_{\Gamma_{\otimes t+k}}(\pi_v, \Pi_t \overrightarrow{[k-1]}_{\pi_v}) \otimes \Xi^{-k/2},$$

où $\Gamma_{\otimes t+k}$ est un réseau stable de $\pi_v[t+k]_D \otimes (\Pi_t \overrightarrow{[k-1]}_{\pi_v})$;

- (2) pour tout point z de X et pour tout i , la fibre $z^* h^i {}^p j_{1*}^{\geq tg} HT_{\Gamma_{\otimes t}}(\pi_v, \Pi_t)$ est sans torsion ;
- (3) pour tout $k \geq 0$, les réseaux $\Gamma_{\otimes t+k}$ sont des produits tensoriels

$$\Gamma_{\otimes t+k} \simeq \Gamma_{t+k}(\pi_v) \otimes \left(\Gamma_G(t) \overrightarrow{RI}_{\mathbb{Z}_l, +}(\pi_v, k) \right)$$

où :

- $RI_{\mathbb{Z}_l}(\pi_v, k)$ est le réseau d'induction de la représentation de Steinberg généralisée $[\overleftarrow{k-1}]_{\pi_v}$, construit à la définition 2.2.1 ;
- pour tout $k \geq 1$ avec $(t+k)g < h$, le réseau $\Gamma_{t+k}(\pi_v)$ de $\pi_v[t+k]_D$ est isomorphe au réseau $\Gamma_{t+1+(k-1)}(\pi_v)$ i.e. au réseau de $\pi_v[t+k]_D$ associé à $j_1^{\geq (t+1)g} HT_{\Gamma_{\otimes t+1}}(\pi_v, \Pi_t \overrightarrow{[k-1]}_{\pi_v})$.

Démonstration. — (1) Cela découle directement de la proposition 6.4.1.

(2) On raisonne par récurrence sur t de s à 1. Le cas $t = s$ étant évident supposons donc le résultat acquis jusqu'au rang $t+1$, quelque soit le réseau $\Gamma_{\otimes t+1}$ considéré, et traitons le cas de t . On note $P(\Gamma_{\otimes t})$ le noyau

$$0 \rightarrow P(\Gamma_{\otimes t}) \rightarrow j_1^{\geq tg} HT_{\Gamma_{\otimes t}}(\pi_v, \Pi_t) \rightarrow {}^p j_{1*}^{\geq tg} HT_{\Gamma_{\otimes t}}(\pi_v, \Pi_t) \rightarrow 0$$

et considérons le morphisme

$$j_!^{\geq(t+1)g} j^{\geq(t+1)g,*} P(\Gamma_{\otimes t}) \longrightarrow P(\Gamma_{\otimes t})$$

dont on note $P(\Gamma_{\otimes t})^-$ l'image dans ${}^p\mathcal{M}(X_{\overline{s}}, \overline{\mathbb{Z}}_l)$. Par ailleurs en notant $\mathcal{F}_{-1} \subset \mathcal{F}_0$ le premier cran de la filtration de $j_!^{\geq tg} HT_{\Gamma_{\otimes t}}(\pi_v, \Pi_t)$ tel que :

- $\mathcal{F}_0/\mathcal{F}_{-1} \simeq {}^p j_{!*}^{\geq tg} HT_{\Gamma_{\otimes t}}(\pi_v, \Pi_t)$;
- $\mathcal{F}_1 \rightarrow {}^p j_{!*}^{\geq(t+1)g} HT_{\Gamma_{\otimes t+1}}(\pi_v, \Pi_t \xrightarrow{\rightarrow} \pi_v)(1/2)$.

Ainsi l'inclusion $P(\Gamma_{\otimes t}) \hookrightarrow \mathcal{F}_0$ se factorise par \mathcal{F}_1 et fournit par composition une surjection sur ${}^p j_{!*}^{\geq(t+1)g} HT_{\Gamma_{\otimes t+1}}(\pi_v, \Pi_t \xrightarrow{\rightarrow} \pi_v)(1/2)$. On est alors dans les conditions d'application du lemme 6.2.2, de sorte que $P(\Gamma_{\otimes t})^- = P(\Gamma_{\otimes t})$. On en déduit alors que :

- les réseaux des gradués de la filtration de stratification de $P(\Gamma_{\otimes t})$ sont ceux donnés par les gradués de la filtration de stratification de $j_!^{\geq(t+1)g} HT_{\Gamma_{\otimes t}}(\pi_v, \Pi_t \xrightarrow{\rightarrow} \pi_v)$, notés $\Gamma_{\otimes t+1}$;
- la suite spectrale $E_1^{p,q}(P(\Gamma_{\otimes t}))$ associée à la filtration de stratification de $P(\Gamma_{\otimes t}) \ll$ se déduit \gg de celle $E_1^{p,q}(j_!^{\geq(t+1)g} HT_{\Gamma_{\otimes t+1}}(\pi_v, \Pi_t \xrightarrow{\rightarrow} \pi_v))$ au sens où on a un morphisme de suite spectrale.

Comme par hypothèse les fibres en z des $h^i j^{\geq t'g} HT_{\Gamma_{\otimes t+k}}(\pi_v, \Pi_t \xrightarrow{\rightarrow} [k-1]_{\pi_v})$ sont sans torsion alors $z^* E_1^{p,q}(P(\Gamma_{\otimes t}))$ est nul :

- pour tout point géométrique z de $X_{\overline{s}}^{=h'}$ avec h' qui n'est pas de la forme $(t+k)g$ avec $1 \leq k \leq s-t$;
- pour z un point géométrique de $X_{\overline{s}}^{=(t+k)g}$ avec $1 \leq k < h/g - t$, si (p, q) n'est pas de la forme $(p, 1-k+(t+k)g-d)$ avec $0 \leq p \leq k-1$.

Ainsi pour z un point géométrique de $X_{\overline{s}}^{=(t+k)g}$ $z^* E_1^{p,q}(P(\Gamma_{\otimes t}))[tg-d]$ dégénère en E_2 où les $z^* d_1^{p,1-k}(P(\Gamma_{\otimes t}))$ font commuter les diagrammes suivants :

$$\begin{array}{ccc}
\mathcal{F}_{\Gamma_{\otimes t+k}} \otimes & & \\
\left(\Gamma_G(t) \xrightarrow{\rightarrow} \pi_v \xrightarrow{\rightarrow} RI_{\overline{\mathbb{Z}}_l}(\pi_v, p-1) \xrightarrow{\rightarrow} [k-p-2]_{\pi_v} \right) & \xrightarrow{d_1^{p,1-k}(j)} & \mathcal{F}_{\Gamma_{\otimes t+k}} \otimes \\
\downarrow & & \left(\Gamma_G(t) \xrightarrow{\rightarrow} \pi_v \xrightarrow{\rightarrow} RI_{\overline{\mathbb{Z}}_l}(\pi_v, p) \xrightarrow{\rightarrow} [k-p-3]_{\pi_v} \right) \\
\mathcal{F}_{\Gamma_{\otimes t+k}} \otimes & & \downarrow \\
\left(\Gamma_G(t) \xrightarrow{\rightarrow} RI_{\overline{\mathbb{Z}}_l}(\pi_v, p) \xrightarrow{\rightarrow} [k-p-2]_{\pi_v} \right) & \xrightarrow{d_1^{p,1-k}(P)} & \mathcal{F}_{\Gamma_{\otimes t+k}} \otimes \\
& & \left(\Gamma_G(t) \xrightarrow{\rightarrow} RI_{\overline{\mathbb{Z}}_l}(\pi_v, p+1) \xrightarrow{\rightarrow} [k-p-3]_{\pi_v} \right).
\end{array}$$

On en déduit donc que $z^* E_2^{p,q}(P(\Gamma_{\otimes t}))[d-(t+k)g]$ est nul pour tout (p, q) sauf pour $(0, 1-k)$ où il est égal à $\Gamma_{\otimes t+k} \otimes \left(\Gamma_G(t) \xrightarrow{\rightarrow} [k-1]_{\pi_v} \right)$.

(3) On raisonne par récurrence sur k ; pour $k=1$ il suffit juste de vérifier que $\Gamma_{\otimes t+1}$ est un produit tensoriel. On rappelle que $HT_{\Gamma_{\otimes t+k}}(\pi_v, \Pi_t \xrightarrow{\rightarrow} \pi_v)$ est induit à partir d'un $GL_{tg}(F_v) \times GL_g(F_v) \times GL_{(s-t-1)g}(F_v)$ -faisceau $\mathcal{F}(\Gamma)$ où Γ est un réseau stable de $\pi_v[t+1]_D \otimes \Pi_t\{-1/2\} \otimes \pi_v\{t/2\}$. Comme le réseau $\Gamma_{\otimes t}$ est un produit tensoriel, on en déduit que $\Gamma = \Gamma_G(t) \otimes \Gamma'$ pour Γ' un réseau stable de $\pi_v[t+1]_D \otimes \pi_v\{t/2\}$ et comme π_v admet à isomorphisme près un unique réseau stable, on a bien $\Gamma' = \Gamma_{t+1}(\pi_v) \otimes RI_{\overline{\mathbb{Z}}_l}(\pi_v\{t/2\})$. Supposons donc le résultat acquis jusqu'au

rang $k - 1$ et traitons le cas de k . On reprend les notations précédentes :

$$0 \rightarrow P(\Gamma_{\otimes t}) \rightarrow j_!^{\geq tg} HT_{\Gamma_{\otimes t}}(\pi_v, \Pi_t) \rightarrow {}^p j_{!*}^{\geq tg} HT_{\Gamma_{\otimes t}}(\pi_v, \Pi_t) \rightarrow 0,$$

où $P(\Gamma_{\otimes t})$ est p -pervers à support dans $X_{\mathcal{I}, \bar{s}}^{\geq (t+1)g}$ tel que :

- $j^{\geq (t+1)g, *} P(\Gamma_{\otimes t}) \simeq HT_{\Gamma_{\otimes t+1}}(\pi_v, \Pi_t \overrightarrow{\times} \pi_v)(\frac{1}{2})$;
- on a une surjection stricte

$$j_!^{\geq (t+1)g} j^{\geq (t+1)g, *} P(\Gamma_{\otimes t}) \twoheadrightarrow P(\Gamma_{\otimes t}).$$

Ainsi les réseaux des gradués de la filtration de stratification de $P(\Gamma_{\otimes t})$ sont donnés par ceux de la filtration de stratification de $j_!^{\geq (t+1)g} HT_{\Gamma_{\otimes t+1}}(\pi_v, \Pi_t \overrightarrow{\times} \pi_v)$, d'où le résultat. \square

7.2. du faisceau pervers des cycles proches. — Contrairement au cas de $j_!^{\geq tg} HT_{\mathbb{Q}_l}(\pi_v, \Pi_t)$, il n'y a pas une unique filtration de stratification de $\Psi_{\mathbb{Q}_l, \mathcal{I}, \pi_v}$.

7.2.1. Notation. — Pour Γ un réseau stable de $\pi_v[t]_D \otimes \overleftarrow{[t-1]}_{\pi_v} \otimes L_g(\pi_v)$, $\mathcal{P}_{\Gamma}(t, \pi_v)$ (resp. $\mathcal{P}_{\Gamma}^+(t, \pi_v)$) désignera ${}^p j_!^{\geq tg} * HT_{\Gamma}(\pi_v, \overleftarrow{[t-1]}_{\pi_v}) \otimes L_g(\pi_v)$ (resp. ${}^{p+} j_{!*}^{\geq tg} HT_{\Gamma}(\pi_v, \overleftarrow{[t-1]}_{\pi_v}) \otimes L_g(\pi_v)$).

7.2.2. Lemme. — Il existe une filtration

$$\tilde{F} = \left(0 = \widetilde{F}_{-s_-} \subset \cdots \subset \widetilde{F}_{s_+} = \Psi_{\mathbb{Z}_l, \mathcal{I}} \right)$$

dont les gradués vérifient les propriétés suivantes :

- (i) ils sont sans torsion de la forme $\mathcal{P}_{\Gamma(t, \delta)}(\pi_v, t)(-\frac{t-1-2\delta}{2})$ où
 - π_v est une représentation irréductible cuspidale de $GL_g(F_v)$ avec $1 \leq g \leq d$ et $1 \leq t \leq d/g$;
 - $0 \leq \delta \leq t-1$;
 - $\Gamma(t, \delta)$ est un réseau stable de $\pi_v[t]_D \otimes L_g(\pi_v) \otimes \overleftarrow{[t-1]}_{\pi_v}$.
- (ii) soit $k(\pi_v, t, k)$ l'indice du gradué associé à $\mathcal{P}(\pi_v, t)(-\frac{t-1-2k}{2})$:
 - pour tout π'_v et $1 \leq t' \leq s'$ tel que $t'g' < tg$, $k(\pi_v, t, t-1) < k(\pi'_v, t', k')k(\pi_v, t, 0)$;
 - pour tout π'_v , $1 \leq t' \leq s'$ et $0 < k' < t'-1$ tels que $(t'-k')g' < tg$ (resp. $(k'+1)g' < tg$), on a $k(\pi'_v, t', k') < k(\pi_v, t, 0)$ (resp. $k(\pi'_v, t', k') > k(\pi_v, t, t-1)$).

Démonstration. — On utilise le lemme 6.2.3 avec $U_0 = X_{\mathcal{I}, \bar{\eta}}$ et U successivement égal à $U_h := X_{\mathcal{I}} - X_{\mathcal{I}, \bar{s}}^{\geq h}$ avec la t -structure $p(1)$ sur X obtenue en recollant la t -structure p de $X_{\mathcal{I}, \bar{s}}$ avec la t -structure $p[1]$ sur $X_{\mathcal{I}, \bar{\eta}}$. D'après la proposition 5.4.9 (i), $\Psi_{\mathbb{Z}_l, \mathcal{I}}$ s'insère dans la suite exacte courte

$$0 \rightarrow \Psi_{\mathbb{Z}_l, \mathcal{I}} \rightarrow \bar{j}_! L_{\mathbb{Z}_l} \rightarrow {}^p \bar{j}_{!*} L_{\mathbb{Z}_l} \rightarrow 0$$

et la construction du lemme 6.2.3 fournit une filtration de stratification $\widetilde{F}_{-s_-} \subset \cdots \subset \widetilde{F}_{s_+}$ de $\Psi_{\mathbb{Z}_l, \mathcal{I}}$ vérifiant (i).

En ce qui concerne (ii), il suffit de raisonner sur \mathbb{Q}_l . Notons en particulier que l'image de $j^{g \leq tg, *} \Psi_{\mathbb{Q}_l, \mathcal{I}, \pi_v}$ dans le groupe de Grothendieck est égale à $\sum_{i=1}^t \sum_{k=0}^{i-1} j^{g \leq tg, *} \mathcal{P}_{\mathbb{Q}_l}(i, \pi_v)(-\frac{i-1-2k}{2})$. De l'observation des flèches non nulles de la suite spectrale des faisceaux de cohomologie de la filtration de monodromie-poids, on en déduit que

$$\left[{}^p j_{!*}^{\geq tg} j^{\geq tg, *} \Psi_{\mathbb{Q}_l, \mathcal{I}, \pi_v} \right] = \sum_{i=1}^t \sum_{k=0}^{i-1} \mathcal{P}_{\mathbb{Q}_l}(i, \pi_v)(-\frac{i-1-2k}{2}) + \sum_{k=1}^{t-1} \mathcal{P}_{\mathbb{Q}_l}(t+1, \pi_v)(-\frac{t-2k}{2}).$$

On raisonne alors par récurrence sur h en supposant le résultat acquis sur $X_{\bar{s}}^{1 \leq h}$. Le cas $h = 1$ étant trivial supposons donc le résultat vrai au rang $h-1$ et prouvons le cas de h . Ainsi pour $\bar{j}^{< h} : X_{\bar{\eta}} \hookrightarrow X - X_{\bar{s}}^{\geq h}$ et $\bar{j}^{\geq h} : X - X_{\bar{s}}^{\leq h} \hookrightarrow X$ on a une suite exacte courte

$$0 \rightarrow P^{\geq h} \rightarrow \bar{j}_! L_{\mathbb{Q}_l} \rightarrow {}^p \bar{j}_{!*}^{\geq h} \bar{j}_!^{< h} L_{\mathbb{Q}_l} \rightarrow 0$$

avec

$$0 \rightarrow p_{j!_*}^{\geq h} j^{1 \leq h} \Psi_{\overline{\mathbb{Q}}_l, \mathcal{I}} \rightarrow p_{\overline{j}!_*}^{\geq h} \overline{j}^{< h} L_{\overline{\mathbb{Q}}_l} \rightarrow Q^{\geq h} \rightarrow 0$$

où $P^{\geq h}$ (resp. $Q^{\geq h}$) est, dans le groupe de Grothendieck, égal à

$$\sum_{\substack{t, g, \pi_v \\ tg=h}} \mathcal{P}_{\overline{\mathbb{Q}}_l}(t, \pi_v) \left(\frac{t-1}{2} \right), \quad (\text{resp. } p_{\overline{j}!_*}^{\geq h} L_{\overline{\mathbb{Q}}_l} + \sum_{\substack{t, g, \pi_v \\ tg=h}} \mathcal{P}_{\overline{\mathbb{Q}}_l}(t, \pi_v) \left(\frac{1-t}{2} \right)),$$

ce qui prouve le résultat. □

7.2.3. Proposition. — *La filtration de stratification en amont par les images $\mathcal{F} = (F_{-s_-} \subset \dots \subset F_{s_+})$ de $\Psi_{\overline{\mathbb{Z}}_l, \mathcal{I}}$ est telle que ses gradués $gr_{\overline{\mathbb{Z}}_l, \Psi, k}^{\mathfrak{S}^l \downarrow}$ vérifient les propriétés suivantes :*

- ils sont nuls pour k assez grand ou assez petit ;
- s'il est non nul, il est de la forme

$$p_{j!_*}^{\geq tg} HT_{\Gamma_{\otimes t - \delta \dagger \delta}}(\pi_v, [\overleftarrow{t-1}]_{\pi_v}) \otimes L_g(\pi_v) \left(-\frac{t-1-2\delta}{2} \right)$$

où :

- π_v est une représentation irréductible cuspidale de $GL_g(F_v)$ avec $1 \leq g \leq d$ et $1 \leq t \leq d/g$;
- $0 \leq \delta \leq t-1$;
- $\Gamma_{\otimes t - \delta \dagger \delta}$ est un réseau stable de $\pi_v[t]_D \otimes L_g(\pi_v) \otimes [\overleftarrow{t-1}]_{\pi_v}$ de la forme $\Gamma_{DW} \otimes \Gamma_G(\pi_v, t - \delta \dagger \delta)$ où Γ_{DW} est un réseau stable de $\pi_v[t]_D \otimes L_g(\pi_v)$ et $\Gamma_G(\pi_v, t - \delta \dagger \delta)$ est le réseau stable de $[\overleftarrow{t-1}]_{\pi_v}$ noté $RI_{\overline{\mathbb{Z}}_l, +-}(\pi_v, t - \delta) \overrightarrow{\times} RI_{-}(\pi_v, \delta)$.

En outre pour tout $1 \leq h \leq d$ et pour tout point fermé z de $X_{\overline{\mathbb{Z}}_l, \overline{s}}^{\overline{h}}$, la fibre $z^* h^i \Psi_{\mathcal{I}}$ est sans torsion pour tout i .

Remarque : d'après 6.1.1, la filtration en amont par les noyaux est telle que ses gradués sont les

$$p_{j!_*}^{> tg} HT_{\Gamma'_{\otimes \delta \dagger t - \delta}}(\pi_v, [\overleftarrow{t-1}]_{\pi_v}) \otimes L_g(\pi_v) \left(-\frac{t-1-2\delta}{2} \right),$$

où le réseau $\Gamma'_{\otimes \delta \dagger t - \delta}$ est de la forme $\Gamma'_{DW} \otimes \Gamma'_G(\pi_v, \delta \dagger t - \delta)$ où $\Gamma'_G(\pi_v, \delta \dagger t - \delta)$ est le réseau induit par $RI_{-}(\pi_v, \delta + 1) \overleftarrow{\times} RI_{+}(\pi_v, t - \delta - 1)$ via l'injection $[\overleftarrow{t-1}]_{\pi_v} \hookrightarrow [\overleftarrow{\delta}]_{\pi_v} \overleftarrow{\times} [\overleftarrow{t-\delta-2}]_{\pi_v}$. L'étude de la suite spectrale des faisceaux de cohomologie est alors plus complexe puisque les réseaux donnés par les parties libres de l'aboutissement ne sont pas les bons et sont modifiés par la torsion non nulle dans l'aboutissement, cf. le cas (iii) de la remarque 2.1.3 ; cette étude ne peut se faire qu'à posteriori une fois prouvée la proposition ci-dessus.

Démonstration. — Considérons la sous-filtration

$$F_{\overline{\mathbb{Z}}_l}(1) \subset F_{\overline{\mathbb{Z}}_l}(2) \subset \dots \subset F_{\overline{\mathbb{Z}}_l}(d) = \Psi_{\mathcal{I}, \overline{\mathbb{Z}}_l}$$

telle que $\Psi_{\mathcal{I}, \overline{\mathbb{Z}}_l} / F_{\overline{\mathbb{Z}}_l}(h)$ est à support dans $X_{\overline{s}}^{\geq h}$. Pour $1 \leq g \leq d$ et π_v une représentation irréductible cuspidale de $GL_g(F_v)$, on considère alors pour $1 \leq t \leq s = \lfloor \frac{d}{g} \rfloor$, la sous-filtration

$$F_{\overline{\mathbb{Z}}_l}((t-1)g) \subset F_{\overline{\mathbb{Z}}_l}^{\pm}(\pi_v, t) \subset F_{\overline{\mathbb{Z}}_l}(tg)$$

telle que :

- $F_{\overline{\mathbb{Z}}_l}^{\pm}(\pi_v, t) / F_{\overline{\mathbb{Z}}_l}((t-1)g)$ admette un unique quotient irréductible dont le produit tensoriel avec $\overline{\mathbb{Q}}_l$ est $\mathcal{P}_{\overline{\mathbb{Q}}_l}(t, \pi_v) \left(-\frac{t-1}{2} \right)$;

- dans le processus de construction de la filtration de stratification en amont par les images, on s'arrête dès que l'on peut prendre l'image dans ${}^{p+}\mathcal{M}(X_{\overline{s}}, \overline{\mathbb{Z}}_l)$ pour $F_{\overline{\mathbb{Z}}_l}^+(\pi_v, t)$ (resp ; l'image dans ${}^p\mathcal{M}(X_{\overline{s}}, \overline{\mathbb{Z}}_l)$ pour $F_{\overline{\mathbb{Z}}_l}^-(\pi_v, t)$) de

$$j_{!}^{\geq tg} HT_{\Gamma_{\otimes t}}(\pi_v, [\overleftarrow{t-1}]_{\pi_v}) \left(\frac{t-1}{2} \right) \longrightarrow \Psi_{\mathcal{I}, \overline{\mathbb{Z}}_l} / F_{\overline{\mathbb{Z}}_l}(\pi_v, t-1).$$

Remarque : avec les notations de 6.5.2, on a

$$\left[F_{\overline{\mathbb{Z}}_l}^{\pm}(\pi_v, t) / F_{\overline{\mathbb{Z}}_l}(\pi_v, t-1) \otimes_{\overline{\mathbb{Z}}_l} \overline{\mathbb{Q}}_l \right] \geq \left[F(\pi_v, t) / F(\pi_v, t-1) \right] = \sum_{i=0}^{s-t} \mathcal{P}(\pi_v, t+i) \left(-\frac{t-i-1}{2} \right).$$

On a ainsi une suite exacte courte dans ${}^p\mathcal{M}(X_{\overline{s}}^{\geq tg}, \overline{\mathbb{Z}}_l)$:

$$0 \rightarrow F_{\overline{\mathbb{Z}}_l}^-(\pi_v, t) \longrightarrow F_{\overline{\mathbb{Z}}_l}^+(\pi_v, t) \longrightarrow T \rightarrow 0$$

où T est de torsion à support dans $X_{\overline{s}}^{\geq tg}$. On a en particulier une surjection $F_{\overline{\mathbb{Z}}_l}^-(\pi_v, t) \rightarrow {}^p j_{!*}^{\geq tg} HT_{\Gamma_{\otimes t}}(\pi_v, [\overleftarrow{t-1}]_{\pi_v}) \left(-\frac{t}{2} \right)$ dont le noyau est à support dans $X_{\overline{s}}^{\geq tg}$ de sorte que, d'après le lemme 6.2.2, pour obtenir que T est nul, il suffit de montrer que $F_{\overline{\mathbb{Z}}_l}^+(\pi_v, t)$ vérifie la même propriété.

Soit \mathcal{K} l'ensemble, non vide, des k tel que $F_{\overline{\mathbb{Z}}_l}((t-1)g) \subset \widetilde{F}_k$ et soit $k \in \mathcal{K}$ minimal tel que

$$F_{\overline{\mathbb{Z}}_l}^+(\pi_v, t) / F_{\overline{\mathbb{Z}}_l}((t-1)g) \hookrightarrow \widetilde{F}_k / F_{\overline{\mathbb{Z}}_l}((t-1)g).$$

D'après le lemme précédent k ne peut pas être l'élément minimal de \mathcal{K} de sorte que par minimalité de k et comme $F_{\overline{\mathbb{Z}}_l}^+(\pi_v, t) / F_{\overline{\mathbb{Z}}_l}((t-1)g)$ admet un unique quotient irréductible sans torsion, $\widetilde{F}_k / \widetilde{F}_{k-1}$ qui est de la forme ${}^p j_{!*}^{\geq t'g'} HT_{\Gamma_{\otimes t'}}(\pi'_v, t') \left(-\frac{\delta'}{2} \right)$, doit vérifier $(t', g') = (t, g)$ avec $\pi'_v \simeq \pi_v$. On obtient donc une flèche non nulle $F_{\overline{\mathbb{Z}}_l}^+(\pi_v, t) \rightarrow {}^p j_{!*}^{\geq tg} HT_{\Gamma_{\otimes t}}(\pi_v, [\overleftarrow{t-1}]_{\pi_v}) \left(-\frac{t-1}{2} \right)$ qui sera forcément surjective, pourvu que les réseaux soient les mêmes.

Soit alors z un point géométrique de $X_{\overline{s}}^{\geq tg}$, en raisonnant par récurrence sur t , pour tout π'_v irréductible cuspidale de $GL_{g'}(F_v)$, les fibres en z des $h^i \left(F_{\overline{\mathbb{Z}}_l}(\pi'_v, t') / F_{\overline{\mathbb{Z}}_l}(\pi'_v, t'-1) \right)$ sont sans torsion. Il résulte alors de l'observation 6.5.2 que l'on ait dans le cas d'application du (i) de la remarque 2.1.3, de sorte que le réseau de $z^* \mathcal{P}(\pi_v, t) \left(-\frac{t-1}{2} \right)$ associé par F_{\bullet} correspond à celui de $\Psi_{F_v, tg}^{tg-1}$.

De même pour \widetilde{F}_{\bullet} comme dans la filtration n'apparaît que des ${}^p j_{!*}$, la même observation fournit que $z^* h^0 \widetilde{F}_k$ est sans torsion et donc, d'après le cas (i) de la remarque 2.1.3, que le réseau de $z^* \mathcal{P}(\pi_v, t) \left(-\frac{t-1}{2} \right)$ fournit par \widetilde{F}_{\bullet} correspond aussi à celui de $\Psi_{F_v, tg}^{tg-1}$.

En ce qui concerne la description des réseaux, vu ce qui précède et le paragraphe précédent, il suffit d'initialiser la propriété. Comme la réduction modulo l de π_v est irréductible, le réseau Γ_G se met en facteur. □

Remarque : On peut aussi montrer que les réseaux Γ_{DW} sont des produits tensoriels $\Gamma_D \otimes \Gamma_W$: c'est automatique si la réduction modulo l de π_v est supercuspidale et dans le cas général on peut utiliser la cohomologie globale de la variété de Shimura que l'on découpe par une représentation automorphe Π telle que Π_w est cuspidale, pour voir que le facteur galoisien est nécessairement en facteur.

7.3. des $p+$ faisceaux pervers d'Harris-Taylor. — Pour $g \geq 1$ et $\pi_v \in \text{Cusp}_{\overline{\mathbb{Q}}_l, g}(F_v)$ fixé, on rappelle la suite exacte courte de faisceaux pervers dans ${}^p\mathcal{M}(X_{\mathcal{I}, \overline{\mathbb{Z}}_l})$:

$$0 \rightarrow {}^p j_{!*}^{\geq tg} HT_{\Gamma_{\otimes t}}(\pi_v, \Pi_t) \rightarrow {}^{p+} j_{!*}^{\geq tg} HT_{\Gamma_{\otimes t}}(\pi_v, \Pi_t) \rightarrow {}^{tg} i_{*}^{\geq tg} p h_{\text{tor}}^0 i^{>tg, *} j_{!*}^{\geq tg} HT_{\Gamma_{\otimes t}}(\pi_v, \Pi_t) \rightarrow 0$$

7.3.1. Notations. — *On note*

- $H_{\pi_v, \pm}(t)$ le support de ${}^p h_{\text{tor}}^0 i^{>tg} j_*^{\geq tg} \mathbb{F} HT_{\Gamma_{\otimes t}'}(\pi_v, \Pi_{t'})$ autrement dit z est un point fermé de $H_{\pi_v, \pm}(t)$ si et seulement si $z^* \left({}^p h_{\text{tor}}^0 i^{>tg} j_*^{\geq tg} \mathbb{F} HT_{\Gamma_{\otimes t}'}(\pi_v, \Pi_{t'}) \right)$ est non nul.
- $\text{Cusp}_{\overline{\mathbb{Q}_l}, g, 0}(F_v)$ le sous-ensemble de $\text{Cusp}_{\overline{\mathbb{Q}_l}, g}(F_v)$ constitué des π_v tels que $r_l(\pi_v)$ est supercuspidale.

Remarque : à priori la définition de $H_{\pi_v, \pm}(t)$ dépend du choix du réseau $\Gamma_{\otimes t}$. Avant de vérifier qu'il n'en dépend pas nous le noterons $H_{\pi_v, \pm}(\Gamma_{\otimes t})$.

7.3.2. Lemme. — Pour tout $i \in \mathbb{Z}$ et pour tout point fermé z de $X_{\overline{\mathbb{Z}}, \overline{\mathbb{S}}}$ hors de $H_{\pm, \pi_v}(\Gamma_{\otimes t})$, l'image de $\text{ind } z^* h^i j_{!*}^{\geq tg} \mathbb{F} HT_{\Gamma_{\otimes t}'}(\pi_v, \Pi_t)$ dans le groupe de Grothendieck associé à $D_{v, h}^\times \times GL_h(F_v) \times \mathbb{Z}$ ne dépend pas du réseau $\Gamma_{\otimes t}$ considéré.

Démonstration. — Remarquons tout d'abord que l'indépendance relativement au choix du réseau $\Gamma_G(t)$ est évidente. La réduction modulo l d'un réseau stable $\Gamma_t(\pi_v)$ de $\pi_v[t]_D$ est en tant que représentation de $\mathcal{D}_{v, tg}^\times$ égale à $k\tau_v$ pour τ_v une représentation irréductible. On a alors une suite spectrale

$$E_{2, \Gamma_{\otimes t}}^{p, q} \Rightarrow h^{p+q} j_{!*}^{\geq tg} \mathbb{F} HT_{\Gamma_{\otimes t}}(\pi_v, t)$$

dont les termes initiaux sont nuls pour p ne vérifiant pas $0 \leq p \leq k-1$ et sinon

$$E_{2, \Gamma_{\otimes t}}^{p, q} = h^{p+q} j_{!*}^{\geq tg} \mathcal{F}_{\tau_v}[d-tg] \otimes r_l(\Gamma_G(t)) \otimes \Xi^{\frac{tg-d}{2}},$$

où \mathcal{F}_{τ_v} est le $\overline{\mathbb{F}_l}$ -système local associé à la $\mathcal{D}_{v, tg}^\times$ -représentation irréductible τ_v par les revêtements d'Igusa de seconde espèce comme dans 4.2.2. On note alors que les termes initiaux de cette suite spectrale sont indépendants du choix du réseau $\Gamma_t(\pi_v)$; seules les flèches $d_r^{p, q}$ en dépendent à priori. Il suffit alors de montrer que pour tout $r \geq 2$, $E_{2, \Gamma_{\otimes t}}^{p, q}$ et $E_{2, \Gamma_{\otimes t}}^{p+r, q-r+1}$ ne peuvent pas être tous deux non nuls ce qui imposera que toutes les $d_r^{p, q}$ sont nuls et ce quelque soit le réseau.

Remarque : la filtration décrivant l'aboutissement à partir de cette suite spectrale, dépend à priori du choix de $\Gamma_t(\pi_v)$.

Pour tout $0 \leq p \leq k-1$, $E_{2, \Gamma_{\otimes t}}^{p, q}$ ne dépend que de q : ainsi s'il existe $q_1 \neq q_2$ tels que $z^* E_{2, \Gamma_{\otimes t}}^{0, q_1}$ et $z^* E_{2, \Gamma_{\otimes t}}^{0, q_2}$ sont non nuls alors $z^* E_{\infty, \Gamma_{\otimes t}}^i$ sera non nul pour au moins deux indices i distincts. Or pour le réseau $\Gamma_t(\pi_v)$ il résulte de 4.3.2 et des hypothèses que $z^* E_{\infty, \Gamma_{\otimes t}}^i$ s'annule pour tout i sauf éventuellement pour un unique indice i , d'où le résultat. \square

7.3.3. Lemme. — La dimension de $H_{\pi_v, \pm}(t)$ est indépendante du réseau $\Gamma_{\otimes t}$ considéré.

Démonstration. — Il résulte des triangles distingués

$$\begin{aligned} \mathbb{F}^p j_{!*} &\rightarrow {}^p j_{!*} \mathbb{F} \rightarrow {}^p h^{-1} \mathbb{F} {}^p i_* {}^p h_{\text{tors}}^0 i^* j_*[1] \rightsquigarrow \\ {}^p j_{!*} \mathbb{F} &\rightarrow \mathbb{F}^{p+1} j_{!*} \rightarrow {}^p h^0 \mathbb{F} {}^p i_* {}^p h_{\text{tors}}^0 i^* j_* \rightsquigarrow \end{aligned}$$

que $\mathbb{F}^p j_{!*}^{\geq tg} \mathbb{F} HT_{\Gamma_{\otimes t}}(\pi_v, \Pi_t)$, $\mathbb{F}^{p+1} j_{!*}^{\geq tg} \mathbb{F} HT_{\Gamma_{\otimes t}}(\pi_v, \Pi_t)$ et $j_{!*}^{\geq tg} \mathbb{F} HT_{\Gamma_{\otimes t}}(\pi_v, \Pi_t)$ coïncident en dehors de $H_{\pi_v, \pm}(t)$. Soit alors un $\overline{\mathbb{Z}_l}$ -réseau stable $\Gamma_t'(\pi_v)$ de $\pi_v[t]_D$ et considérons la suite exacte longue des faisceaux de cohomologie associée à la suite exacte courte

$$0 \rightarrow j_{!*}^{\geq tg} \mathbb{F} HT_{\Gamma_{\otimes t}'}(\pi_v, \Pi_t) \rightarrow \mathbb{F}^{p+1} j_{!*}^{\geq tg} \mathbb{F} HT_{\Gamma_{\otimes t}'}(\pi_v, \Pi_t) \rightarrow P(\Gamma_{\otimes t}') \rightarrow 0$$

où on a posé $P(\Gamma_{\otimes t}') := {}^p h^0 \mathbb{F} {}^p i_* {}^p h_{\text{tors}}^0 i^{<tg} j_*^{\geq tg} \mathbb{F} HT_{\Gamma_{\otimes t}'}(\pi_v, \Pi_t)$. Supposons que la dimension q du support de $P(\Gamma_{\otimes t}')$ soit strictement plus grande que celle de $P(\Gamma_{\otimes t})$ et soit z un point générique de dimension q de ce support. Pour tout $i < -q$, on a

$$z^* h^i j_{!*}^{\geq tg} \mathbb{F} HT_{\Gamma_{\otimes t}'}(\pi_v, \Pi_t) \simeq z^* h^i \mathbb{F}^{p+1} j_{!*}^{\geq tg} \mathbb{F} HT_{\Gamma_{\otimes t}'}(\pi_v, \Pi_t)$$

est indépendant du réseau considéré dans le groupe de Grothendieck correspondant. On en déduit donc que pour tout $i \leq -q$, la torsion de $z^* h^i j_{!*}^{\geq tg} \mathbb{F} HT_{\Gamma_{\otimes t}'}(\pi_v, \Pi_t)$ est nulle. Pour $i = -q$ on a

$$0 \rightarrow z^* h^{-q} j_{!*}^{\geq tg} \mathbb{F} HT_{\Gamma_{\otimes t}'}(\pi_v, \Pi_t) \rightarrow z^* h^{-q} \mathbb{F}^{p+1} j_{!*}^{\geq tg} \mathbb{F} HT_{\Gamma_{\otimes t}'}(\pi_v, \Pi_t) \rightarrow z^* h^{-q} P \rightarrow 0$$

de sorte que comme $z^* h^{-q+p+} j_{!*}^{\geq tg} HT_{\Gamma_{\otimes t}}(\pi_v, \Pi_t)$ est sans torsion,

$$\left(z^* h^{-q+1+p+} j_{!*}^{\geq tg} HT_{\Gamma_{\otimes t}}(\pi_v, \Pi_t) \right)_{tor} \neq 0$$

ce qui n'est pas car $i^{<h,*p+} j_{!*}^{\geq tg} HT_{\Gamma_{\otimes t}}(\pi_v, \Pi_t) \in {}^{p+}D^{\geq -1} \subset {}^pD^{\geq 0}$, autrement dit la dimension du support de son h^{-q+1} est inférieure ou égale à $q-1$, d'où la contradiction. \square

7.3.4. Proposition. — *Pour tout $\pi_v \in \text{Cusp}_{\overline{\mathbb{Q}_l},g,0}(F_v)$, et pour tout $1 \leq t \leq s$, le schéma $H_{\pi_v, \pm}(t)$ est vide.*

Démonstration. — D'après le lemme précédent, il suffit de trouver un réseau pour lequel le résultat est vérifié. Pour ce faire, nous allons utiliser les réseaux donnés par le faisceau pervers des cycles proches sur $X_{\mathcal{L}, \overline{s}}$. On considère la filtration de stratification $\mathfrak{F}_{N_{\downarrow}}$ en amont par les noyaux dont les gradués sont, d'après les propositions 7.2.3 et 6.1.1, les $p+$ -complexes d'intersection des systèmes locaux d'Harris-Taylor. On raisonne par l'absurde; soit donc $\pi_v \in \text{Cusp}_{\overline{\mathbb{Q}_l},g,0}(F_v)$ tel qu'il existe $1 \leq t \leq s$ dont le $p+$ -complexe d'intersection du système local d'Harris-Taylor associé ne soit pas isomorphe au p -complexe d'intersection. On considère alors z un point générique du support de ${}^p h_{tors}^0 i_* j_* HT_{\Gamma_{\otimes t}}(\pi_v, [\overline{t-1}]_{\pi_v})$ et soit $0 = F_0 \subset F_1 \subset F_2 \subset F_3 = \Psi_{\overline{\mathbb{Z}_l}}$ la sous-filtration de $\mathfrak{F}_{N_{\downarrow}}$ telle que $F_2/F_1 \otimes_{\overline{\mathbb{Z}_l}} \overline{\mathbb{Q}_l} = \sum_{i=1}^s \mathcal{P}_{\overline{\mathbb{Q}_l}}(i, \pi_v)(\frac{1-i}{2})$. On a alors une filtration de F_2/F_1 dont les gradués sont les ${}^{p+} j_{!*}^{\geq ig}$ dont on étudie la fibre en z de la suite spectrale.

7.3.5. Lemme. — *La fibre en z du $h^{-\dim z}$ de l'aboutissement de cette suite spectrale a une torsion non triviale.*

Démonstration. — D'après l'hypothèse le $z^* h^{-\dim z}$ associé à $i = t$ a de la torsion qui est de la forme $RI_{\overline{\mathbb{Z}_l},+}(\pi_{-1}, t)\{\delta\} \overrightarrow{\times} ?$; pour la faire disparaître, la seule possibilité est que $\dim z$ soit de la forme $t_0 g$ et que la flèche

$$RI_{\overline{\mathbb{Z}_l},+}(\pi_{-1}, t_0 - 1) \overrightarrow{\times} \pi_{-1} \longrightarrow RI_{\overline{\mathbb{Z}_l},+}(\pi_{-1}, t)\{\delta\} \overrightarrow{\times} ? \quad (7.3.6)$$

de la suite spectrale, soit surjective. Or cette flèche est induite par celle de la suite spectrale

$$E_1^{p,q} = h^{p+q} j_{!*}^{\geq (-q+t)g} \mathcal{F}_{\Gamma_{\otimes -q+t}} \otimes \Pi_t \overleftarrow{\times} RI_{\overline{\mathbb{Z}_l},+}(\pi_{-1}, q)(-q/2) \Rightarrow h^{p+q} j_{!*}^{\geq tg} \mathcal{F}_{\Gamma_{\otimes t}},$$

où Π_t est une représentation quelconque de $GL_{tg}(F_v)$ en particulier dont la réduction modulo l a un support supercuspidal disjoint de la droite de Zelevinski de ϱ :

$$\left(\Pi_t \overleftarrow{\times} RI_{\overline{\mathbb{Z}_l},+}(\pi_{-1}, t_0 - t - 1) \right) \overrightarrow{\times} \pi_{-1} \longrightarrow \Pi_t \{\delta\} \overrightarrow{\times} ? \quad (7.3.7)$$

On en déduit en particulier que la congruence de δ modulo $m(\varrho)$. Considérons alors le foncteur de Jacquet $J_{P_{tg,(t_0-t)g}}$ et on remarque que parmi les constituants de

$$J_{P_{tg,(t_0-t)g}} \left(\left(\Pi_t \overleftarrow{\times} RI_{\overline{\mathbb{Z}_l},+}(\pi_{-1}, t_0 - t - 1) \right) \overrightarrow{\times} \pi_{-1} \right)$$

seul les constituants de $\Pi_t \{ \frac{t_0-t-2}{2} \} \otimes \dots$ ont une image non nulle dans le constituant $\Pi_t \{ \frac{t_0-t-2}{2} \} \otimes \dots$ de $J_{P_{tg,(t_0-t)g}}(\Pi_t \{\delta\} \times ?)$. Or on remarque que dans l'inclusion

$$RI_{\overline{\mathbb{Z}_l},+}(\pi_{-1}, t_0 - 1) \overrightarrow{\times} \pi_{-1} \hookrightarrow \left(\Pi_t \overleftarrow{\times} RI_{\overline{\mathbb{Z}_l},+}(\pi_{-1}, t_0 - t - 1) \right) \overrightarrow{\times} \pi_{-1}$$

qui fournit (7.3.6) à partir de (7.3.7), l'image de $J_{P_{tg,(t_0-t)g}}$ du membre de gauche à une image nulle dans le constituant $\Pi_t \{ \frac{t_0-t-2}{2} \} \otimes \dots$, avec $\Pi_t = RI_{\overline{\mathbb{Z}_l},+}(\pi_{-1}, t)$, du $J_{P_{tg,(t_0-t)g}}$ du membre de droite, de sorte que par exactitude de $J_{P_{tg,(t_0-t)g}}$, (7.3.6) ne peut pas être surjective. \square

Quitte à changer de π_v pour un autre qui lui est congruent, les constituants $F_3/F_2 \otimes_{\overline{\mathbb{Z}_l}} \overline{\mathbb{Q}_l}$ sont associés à des π'_v tels que le support supercuspidal de leur réduction modulo l est disjoint de celui de π_v . Ainsi comme pour $z^* h^{-\dim z} F_1$ ne contient que des représentations dont la réduction

modulo l ne contient pas ϱ dans son support cuspidal, on en déduit que $z^*h^{-\dim z}\Psi_{\overline{\mathbb{Z}}_l, \mathcal{I}}$ a une torsion non nulle ce qui n'est pas. \square

Soient :

- ϱ_{-1} une $\overline{\mathbb{F}}_l$ -représentation irréductible supercuspidale de $GL_g(F_v)$;
- π_{-1} une $\overline{\mathbb{Q}}_l$ -représentation irréductible cuspidale de $GL_g(F_v)$ dont la réduction modulo l est isomorphe à ϱ_{-1} ;
- pour tout $u \geq 0$, soit π_u une $\overline{\mathbb{Q}}_l$ -représentation irréductible cuspidale de $GL_{m(\varrho_{-1})l^u g}(F_v)$ dont la réduction modulo l est isomorphe à la représentation irréductible cuspidale ϱ_u de 1.4.5.

On rappelle que pour tout $t \geq 1$ la réduction modulo l de $LJ(\text{St}_t(\pi_{-1}))$ est irréductible. Pour tout $t \geq 1$ et $u \geq 0$, on note

- $\tau_{-1,t,u}$ la réduction modulo l de $LJ(\text{St}_{tm(\varrho_{-1})l^u}(\pi_{-1}))$, qui est donc irréductible ;
- $\tau_{u,t}$ la réduction modulo l de $LJ(\text{St}_t(\pi_u))$.

On a alors

$$\tau_{u,t} = l^u \sum_{i=0}^{m(\varrho_{-1})-1} \tau_{-1,u,t} \nu^i. \quad (7.3.8)$$

Remarque : dans le cas où, avec les notations de 1.4.3, $\epsilon(\varrho_{-1}) = 1$, (7.3.8) s'écrit $\tau_{u,t} = l^{u+1} \tau_{-1,u,t}$.

7.3.9. Notation. — Pour tout $u \geq 0$, on pose $g_u = gm(\varrho_{-1})l^u$ et pour $d \geq g$, on note $s_u = \lfloor \frac{d}{g_u} \rfloor$.

Remarque : pour compléter les notations précédentes on utilisera parfois g_{-1} pour g et s_{-1} pour $s = \lfloor \frac{d}{g} \rfloor$.

7.3.10. Lemme. — Soient $u \geq 0$ et $t_u < t' \leq s_u$; $z^* \left(\mathbb{F}^p j_{!*}^{\geq t' g_u} \mathcal{F}_{\pi_u[t]_D} \otimes \Pi_{t'} \right)$ est, avec les notations de la proposition 2.2.2, dans le groupe de Grothendieck correspondant égal à la fibre en z de la somme

$$m(\varrho_{-1})l^u \sum_{r=t' m(\varrho_{-1})l^u}^s \mathbb{F}^p j_{!*}^{r g} \mathcal{F}_{\pi_{-1}[r]_D} \otimes \left(\Pi_{t'} \overrightarrow{\times} V_{\varrho_{-1}}(r-t', < \underline{\delta}_u) \right) \left(\frac{r-t'}{2} \right). \quad (7.3.11)$$

Remarque : l'énoncé ci-dessus est une égalité dans un groupe de Grothendieck et ne dépend pas du choix des réseaux considérés ; en particulier $V_{\varrho_{-1}}(t'-t, < \underline{\delta}_u)$ n'intervient que pas ses constituants irréductibles. Par ailleurs on a remplacé $\Gamma_{\otimes t+k}(\pi_{-1})$ par π_{-1} .

Démonstration. — Les cas où $tg_u \geq h$ étant triviaux, on raisonne par récurrence en supposant le résultat acquis pour tout $t < t' \leq s_u$ et on traite le cas de t . On part des égalités suivantes dans le groupe de Grothendieck correspondant

$$\begin{aligned} z^* \left(\mathbb{F}(j_{!*}^{\geq t g_u} \mathcal{F}_{\pi_u[t]_D}) \otimes \overline{\Pi}_t \right) \times_{P_{tg_u, d}(F_v)} GL_d(F_v) = \\ \sum_{t'=t}^{s_u} z^* \left(\mathbb{F}(p j_{!*}^{\geq t' g_u} \mathcal{F}_{\pi_u[t']_D}) \otimes (\overline{\Pi}_u \overrightarrow{\times} r_l(\overleftarrow{[t'-t-1]_{\pi_u}})) \left(\frac{t'-t}{2} \right) \right) \times_{P_{t'g_u, d}(F_v)} GL_d(F_v), \end{aligned}$$

et

$$\begin{aligned} z^* \left(\mathbb{F}(j_{!*}^{\geq t(u)g} \mathcal{F}_{\pi_{-1}[t(u)]_D}) \otimes \overline{\Pi}_t \right) \times_{P_{t(u)g, d}(F_v)} GL_d(F_v) = \\ \sum_{t'=t(u)}^s z^* \left(\mathbb{F}(p j_{!*}^{\geq t' g} \mathcal{F}_{\pi_{-1}[t']_D}) \otimes (\overline{\Pi}_t \overrightarrow{\times} r_l(\overleftarrow{[t'-t(u)-1]_{\pi_{-1}}})) \left(\frac{t'-t(u)}{2} \right) \right) \times_{P_{t'g, d}(F_v)} GL_d(F_v) \end{aligned} \quad (7.3.12)$$

où pour tout r on pose $r(u) = rm(\varrho_{-1})l^u$ et $\overline{\Pi}_t$ la réduction modulo l de Π_t . D'après la proposition 5.4.6, on a

$$\mathbb{F}j_!^{\geq t g_u} \mathcal{F}_{\pi_u[t]_D} = j_!^{\geq t g_u} \mathcal{F}_{r_l(\pi_u[t]_D)} = m(\varrho_{-1})l^u \sum_{i=0}^{m(\varrho_{-1})-1} j_!^{\geq t(u)g} \mathcal{F}_{r_l(\pi_{-1} \nu^i[t(u)]_D)}$$

et d'après l'hypothèse de récurrence et en utilisant le corollaire 1.5.6, on a

$$\begin{aligned} \sum_{t'=t+1}^{s_u} z^* \left(\mathbb{F}^p j_{!*}^{\geq t' g_u} \mathcal{F}_{\pi_u[t]_D} \otimes (\Pi_t \overrightarrow{\times} \overleftarrow{[t' - t - 1]_{\pi_u}}) \left(\frac{t' - t}{2} \right) \right) \\ = \sum_{t'=t(u)+1}^s z^* \left({}^p j_{!*}^{\geq t' g} \mathcal{F}_{\pi_{-1}[t']_D} \otimes (\Pi_t \overrightarrow{\times} V_{\varrho_{-1}}(t' - t(u), \geq \underline{\delta}_u)) \left(\frac{t' - t(u)}{2} \right) \right) \end{aligned} \quad (7.3.13)$$

En soustrayant (7.3.13) à (7.3.12), on en déduit le résultat. \square

Remarque : le lemme précédent montre en particulier que $H_{\pi_u, \pm}(t)$ n'est pas vide pour tout $u \geq 0$ et permet de décrire la l -torsion des fibres des p +complexes d'intersection. Pour déterminer l'ordre exact de la torsion, il suffit de connaître la réduction modulo l^n des représentations irréductibles de $D_{v,d}^\times$, ce qui ne devrait pas poser de problèmes aux experts.

Références

- [1] *Théorie des topos et cohomologie étale des schémas. Tome 3.* Lecture Notes in Mathematics, Vol. 305. Springer-Verlag, Berlin, 1973. Séminaire de Géométrie Algébrique du Bois-Marie 1963–1964 (SGA 4), Dirigé par M. Artin, A. Grothendieck et J. L. Verdier. Avec la collaboration de P. Deligne et B. Saint-Donat.
- [2] A. A. Beilinson, J. Bernstein, and P. Deligne. Faisceaux pervers. In *Analysis and topology on singular spaces, I (Luminy, 1981)*, volume 100 of *Astérisque*, pages 5–171. Soc. Math. France, Paris, 1982.
- [3] J. Bellaïche. À propos d'un lemme de Ribet. *Rend. Sem. Mat. Univ. Padova*, 109 :45–62, 2003.
- [4] V.G. Berkovich. Étale cohomology for non-archimedean analytic spaces. *Inst. Hautes Études Sci. Publ. Math.*, 78 :5–161, 1993.
- [5] V.G. Berkovich. Vanishing cycles for formal schemes. II. *Invent. Math.*, 125(2) :367–390., 1996.
- [6] P. Boyer. Mauvaise réduction des variétés de Drinfeld et correspondance de Langlands locale. *Invent. Math.*, 138(3) :573–629, 1999.
- [7] P. Boyer. Réseaux d'induction des représentations elliptiques de Lubin-Tate. <http://people.math.jussieu.fr/~boyer/fichiers/rep-modl.ps>, soumis, 2008.
- [8] P. Boyer. Monodromie du faisceau pervers des cycles évanescents de quelques variétés de Shimura simples. *Invent. Math.*, 177(2) :239–280, 2009.
- [9] P. Boyer. Cohomologie des systèmes locaux de Harris-Taylor et applications. *Compositio*, 146(2) :367–403, 2010.
- [10] J.-F. Dat. Finitude pour les représentations lisses des groupes p -adiques. *J.I.M.J.*, 2007.
- [11] J.-F. Dat. Un cas simple de correspondance de Jacquet-Langlands modulo l . <http://people.math.jussieu.fr/~dat/recherche/publis/jlmodl.pdf>, 2010.
- [12] P. Deligne. Théorèmes de finitude en cohomologie ℓ adique. In *SGA 4 $\frac{1}{2}$* .
- [13] M. Harris, R. Taylor. *The geometry and cohomology of some simple Shimura varieties*, volume 151 of *Annals of Mathematics Studies*. Princeton University Press, Princeton, NJ, 2001.
- [14] L. Illusie. Autour du théorème de monodromie locale. In *Périodes p -adiques*, number 223 in *Astérisque*, 1994.
- [15] T. Ito. Hasse invariants for somme unitary Shimura varieties. *Math. Forsch. Oberwolfach report 28/2005*, pages 1565–1568, 2005.
- [16] D. Juteau. Modular Springer correspondence and decomposition matrices. *Thèse de l'Université Paris 7*, 2007.

- [17] M.-F. Vignéras. *Représentations l -modulaires d'un groupe réductif p -adique avec $l \neq p$* , volume 137 of *Progress in Mathematics*. Birkhäuser Boston Inc., Boston, MA, 1996.
- [18] M.-F. Vignéras. À propos d'une conjecture de Langlands modulaire. In *Finite reductive groups (Luminy, 1994)*, volume 141 of *Progr. Math.*, pages 415–452. Birkhäuser Boston, Boston, MA, 1997.
- [19] M.-F. Vignéras. Induced R -representations of p -adic reductive groups. *Selecta Math. (N.S.)*, 4(4) :549–623, 1998.
- [20] M.-F. Vignéras. Correspondance de Langlands semi-simple pour $GL(n, F)$ modulo $l \neq p$. *Invent. Math.*, 144(1) :177–223, 2001.
- [21] A. V. Zelevinsky. Induced representations of reductive p -adic groups. II. On irreducible representations of $GL(n)$. *Ann. Sci. École Norm. Sup. (4)*, 13(2) :165–210, 1980.

BOYER PASCAL • *E-mail* : boyer@math.jussieu.fr, Institut de mathématiques de Jussieu, UMR 7586, université Paris 6, 175 rue du Chevaleret Paris 13